



T.C.  
BAYINDIRLIK ve İSKÂN BAKANLIĞI  
AFET İŞLERİ GENEL MÜDÜRLÜĞÜ  
DEPREM ARAŞTIRMA DAİRESİ

**DEPREM  
ARAŞTIRMA  
"BÜLTENİ"**

**11**



## Deprem Araştırma Bülteni (DAB)

Bulletin of Earthquake Research  
( Bull. Earthq. Res. )



Ekim [October] / 1975  
Cilt [Volume]: 3

# Sayı [Issue]: 11

Bayındırlık ve İskân Bakanlığı [Ministry of Public Works and Settlement]  
Afet İşleri Genel Müdürlüğü [General Directorate of Disaster Affairs]  
Deprem Dairesi Başkanlığı [Directorate of Earthquake Research]

## İÇİNDEKİLER [INDEX]

Sayfa [Page]

---

### ARAŞTIRMA [RESEARCH]

Deprem ve Parametreleri [Earthquake and Its Parameters]

Ahmet TABBAN, Sinan GENÇOĞLU ..... 7-83

**DEPREM  
ARASTIRMA  
ENSTITUSU  
BÜLTENİ**

**11**

**DEPREM  
ARAŞTIRMA  
ENSTITÜSÜ  
BÜLTENİ**

**11**

## **DEPREM ARAŞTIRMA ENSTITÜSÜ BÜLTENİ**



Üç Ayda Bir Yayınlanır  
Bilim ve Meslek Dergisi



Sahibi  
İmar ve İskan Bakanlığı adına  
Teoman Güzey  
Müsteşar Muavini



Yazılı İşleri Müdürü  
Oktay Ergünay  
Deprem Araştırma Enstitüsü  
Başkanı



**Yönetim Yeri ve Yazışma Adresi**

Deprem Araştırma Enstitüsü  
Başkanlığı, Konur Sokak No. : 4/2  
Yenisehir/ANKARA



**Telefon : 18 66 29 — 17 69 55**



**Basıldığı Yer**  
Baylan Matbaası 17 75 34 — 25 07 85



**İlanlar pazarlığa tabidir.**

**Deprem Araştırma Enstitüsü Bülteni**

---

**YIL : 3**

**SAYI : 11**

**EKİM 1975**

---

**BU SAYIDA**

**DEPREM  
ve  
PARAMETRELERİ .....** **Ahmet TABBAN**  
**Sinan GENCOĞLU**

D E P R E M  
ve  
P A R A M E T R E L E R İ

Ahmet TABBAN  
Jeoloji Bölümü  
Baş Uzmanı

Sinan GENÇOĞLU  
Sismoloji Bölümü  
Baş Uzmanı

**BÖLÜM I. DEPREM OLAYININ ÖZELLİKLERİ**

**I.1. Depremin Tarihcesi :**

Deprem, doğal olayların en korkunç olanlarındanandır. Dünyanın olusumundan beri, sismik yönünden aktif olan bölgelerde depremlerin ardışıklık olarak olduğu ve bunların sonucunda milyonlarca insanın ve barınaklarının yok olduğu bilinmektedir.

Bu büyük doğal afet karşısında insanların davranışları, batılı inanışlarla karışık korku halinde olmuştur.

Depremlere ait ilk tarihi kayıtlar, milattan önce 1800'e kadar uzanır. Aristo, deprem konusuyla uğraşarak sınıflandırmasını yapmış, sonraları M.S. 132 de Çin'de deprem hareketini gösterebilen ilk araç yapılmıştır. 1760'da İngiltere'de John Micheell depremlerin yerkabuğundaki dalga hareketleri ile ilgili olduğunu belirten bazı yaynlarda bulunmuştur. 1840 da Von Hoff bütün dünyayı kapsamı içine alan bir deprem kataloğu yayımlamıştır.

1857 de Büyük Napoli depreminden sonra İrlanda'lı mühendis Robert Mallet depreme ilgili ilk arazi çalışmasını yapmış ve bölgenin hasarla ilgili haritasını hazırlamış ve depremleri kaydedebilmek için yeryüzünde birtakım gözlem evlerinin kurulmasını önermiştir.

Daha sonraları İtalya'da Palmieri, yakın ve uzak depremleri kaydedebilen bir (sismograf) araç yapmıştır.

Bu şekilde sismik yönden ilerlemeler olurken, elastik dalgaların incelenmesi, yansima ve kırılma denklemlerinin çıkarılışı ve deprem dalgaları ile ilgili teorilerin ortaya konulması sismolojinin gelişmesine büyük katkıda bulunmuştur.

1897 de Oldham, deprem kaydedicilerden alınan kayıtlar üzerindeki gözlemlere dayanarak P ve S dalgalarının matematiksel teorilerini denklemlerle ortaya koymustur. Bu gelişmeler yanında 1880 de Japonya'da meydana gelen bir deprem sonrası ilk olarak «Japonya Sismoloji Derneği» kurulmuş ve araç yapımına başlanmıştır. Büyük depremlerin ardından 1. Eylül 1923 de Tokyo çevresinde meydana gelen Büyük Kanto Depreminden sonra Tokyo Üniversitesinde «Deprem Araştırma Enstitüsü» kurulmuştur. Böylelikle, 19 yüzyılın ikinci yarısından sonra depremler bilimsel yönden incelenmeye başlanmıştır.

**I.1. 1 DEPREMI OLUSTURAN ETKENLER**

20. yüzyılın başında çok duyarlı deprem kaydediciler, yerin biçim değişimlerini, eğimini ve dalga hareketlerinin ivmelerini kaydeden, güvenilir, sismik araçların yapılması ile sismolojide yeni bir dönem başlamıştır.

Deprem kaydedicilerden sağlanan kayıtlarla, depremlerde yayılan dalga türlerini, yayılırken ugradıkları değişimleri ve geçip geldikleri yer içi ortamının yapısını ve özelliklerini öğrenmek imkânı sağlanmış olmaktadır.

Yer yüzünde oluşan depremlerin, yanardağların ve tektonik olayların kaynağının, yerici kuvvetleriyle ilgili olduğu bilinmektedir. Fakat temel konu yerici kuvvetlerinin ne olduğunu Son yıllarda yer içindeki sıcaklık dağılımını ve bunun derinlikle nasıl değiştığını anlaması olanakları ortaya çıkmıştır. Elde edilen sonuçlara göre, yerin merkezinden dışarıya doğru sıcaklık azalmakta, yani yerin dış kısımları soğumaktadır. Bu şekildeki sıcaklık dağılımının sonucunda kabukta gerilmeler olmaktadır. Yer içindeki biriken ve kabuk kısmını zorlayan ısı enerjisi, mekanik enerjiye dönüşerek derinlerdeki ergimsiz maddeleri çok yavaş olarak harekete getirmekte ve dünyadan belirli yerlerinden çeşitli şekillerde yeryüzüne çıkmaya zorlamaktadır. Bu derinden gelen maddelerin yeryüzüne çıktııkları sahalar, Okyanuslarında su altında bulunan sıradagliar ve volkanlar şeklinde görülmektedir. Bu sıradagliar, Atlantik Okyanusunun ortasında, Pasifik Okyanusunun doğu kısmında, Hint Okyanusunda, Kızıl denizin ortasında ve bazı alanlarda bulunmaktadır. İki tarafa yayılarak yüzeyle gikan bu maddeler, jeosenkinal olarak tanımlanan Okyanuslarındaki derin çukurluklarda tekrar derinlere dalmaktadır. Bu işlem çok yavaş olarak devam etmektedir. (yilda 1-5 cm arasındadır). Dünyada başlıca depremlerin olduğu yerler, derindeki maddelerin yüzeye çıkış yerleri ile batış yerleridir.

Bununla birlikte yer içindeki enerjinin toplanmasına sebep olan olaylar ise tam olarak anlaşılmış değildir. Bu bakımından, yer kabuğunun ani kırılmalarının nedeni, henüz teorilerle açıklanabilmektedir. Deprem oluşuna ilişkin birçok teoriler ortaya atılmıştır. Bugün için en gejerli olani 1906 yılında Amerika'da San Fransisco depreminden sonra H.F. Reid tarafından önerilen «Elastik Kırılma Teorisidir,»

Bu teoriye göre; belirli bir yerde biriken elastik deformasyon enerjisinin kritik değere gelmesi sonucunda ani bir kırılma yada yırtılma hareketi ile deprem olmaktadır.

Bir bölgede depremden önce, deprem sonrası açılacak fayın her iki tarafında yavaş yavaş elastik deformasyon meydana gelmekte ve kayaçların içinde potansiyel enerji birikmektedir. Gerilme kuvvetinin zamanla artan etkisine dayanamayan kayaç kütlesinin, kritik değere ulaşması sonucu ani olarak kırılmasıyla yeni bir fay oluşmakta ya da eski bir fay sistemi harekete geçmektedir. Bu işlem sırasında uzun zamandan beri toplanmış bulunan potansiyel enerji serbest hale geçmekte ve fay yüzeylerinin birbirlerine sürütünmesi ile elastik deprem dalgaları her yönde yayılarak yer kabuğunda sarsıntılar oluşturmaktadır. Tektonik depremlerin kaynağı ile ilgili olan bu görüş laboratuvar deneyleriyle de doğrulanmıştır.

## 1.2 Deprem Türleri

Depremler oluş nedenlerine göre üç gruba ayrılmaktadır.

1 — **Tektonik Depremler :** Yeryüzünde meydana gelen depremlerin % 90 ni bu sınıfa ilişkin depremler olarak belirlenmektedir. Oluşumu yukarıda açıklanmıştır. Bu nedenle genç, aktif fayların bulunduğu bölgeler deprem yönünden

tehlikeli olmaktadır. Bir deprem sonucunda kabukta bozulan dengenin sağlanması için, esas depremin ardından Replik denilen küçük depremler oluşmaktadır. Türkiye'de oluşan depremlerin hemen hemen hepsi bu gruba dahildir.

**2 — Göktüntü Depremleri** : Yeraltındaki boşlukların (Mağara), kömür ocaklarında galerilerin, tuz ve jipsli arazilerde erime sonucu olan boşluklarda tavan blokunun gökmesi ile oluşan depremlerdir. Bunların yayılma alanları yerel olup, enerjileri azdır.

**3. Volkanik Depremler** : Volkanların püskürümeleri sırasında oluşan depremlerdir. Yerin derinliklerindeki ergimiş maddenin, yeryüzüne çıkışı sırasında fiziksel ve kimyasal olaylar sonucunda oluşan gazların yapmış oldukları patlamalarla bu gibi depremlerin meydana geldiği bilinmektedir. Bular da yanardağlarla ilgili olduklarından yereldir. Japonya ve İtalya'da oluşan depremlerin bir kısmı bu gruba dahildir.

### 1.3 Faylar

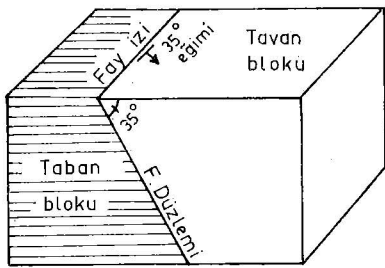
Yer kabuğundaki deformasyon enerjisinin artması sonucunda, depremin meydana gelmesini hazırlayan, kayaçların kırılarak yer değiştirmesini sağlayan dislokasyonlara Fay denilmektedir. Kırılma meydana geldiği düzlem Fay Düzlemi olarak tanımlanmaktadır. Birbirlerinden ayrılan bloklar (kompartmanlar) bu düzlem boyunca kayarak yer değiştirirler. Fay düzleminin üzerinde kalan bloka Tavan Bloku, altında kalan bloka ise Taban Bloku denilmektedir. Şekil 1. de, bu tanımlamalar gösterilmiştir. Taban ve Tavan bloklarının evvelce bitişik noktalarının yer değiştirmelerini gösteren uzaklığa da Atım denilir.

Faylar, oluşmaları sırasında yer değiştiren blokların düzlem üzerindeki hareket doğrultularına göre sınıflara ayrılarak incelenebilmektedir. Arazide en çok izlenilen fay türleri aşağıda belirtilmiştir.

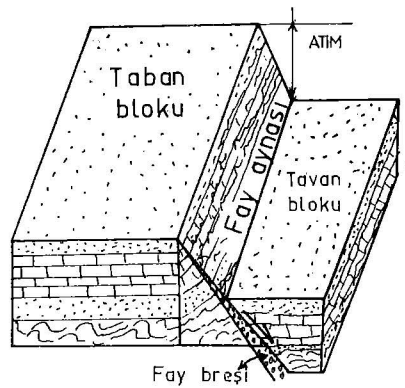
i. **Normal Fay** : Tansiyon kuvvetlerinin etkin olduğu bu fay türünde, aynı düzeyde olan tabakalardan bir kısmı, fay düzlemi üzerinde, fay düzleminin eğimi olduğu tarafa (Tavan bloku, Taban blokuna göre aşağıya doğru) kaymıştır, yani iki blok birbirinden uzaklaşmıştır. Marmara Bölgesindeki depremlerde bu tür fayların oluşturduğu görülmüştür. Şekil 2. de, Normal fayın konumu gösterilmiştir.

ii. **Ters Fay** : Aynı düzeyde bulunan tabakalardan tavan bloku, taban blokuna göre fay düzlemi eğiminin tersi doğrultuda yukarı doğru kayar ve her iki blok birbirine yaklaşarak, biri diğerinin üzerine abanmış bir durum gösterir. Bu tip faylar, yerkabuğundaki yanal basınçların etkisiyle oluşmaktadır. Fay düzleminin eğimi  $45^\circ$  den küçük olursa, Bindirme veya Şariyaj meydana gelmektedir. Ters fayın konumu Şekil 3. de gösterilmiştir.

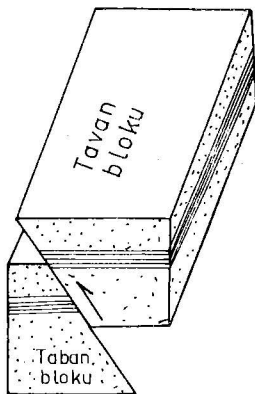
iii. **Yatay Fay (Doğrultu Atılımlı Fay)** : Fay bloklarının birbirlerine göre hareketleri, fay düzlemi boyunca, yatay olan hareketten meydana gelmiştir. Yani, iki blok birbirinden yatay doğrultuda uzaklaşmıştır. Bu durumda, bloklardan birisi üzerinde duran ve öbür bloka bakan bir kimseye göre, karşı blokun sağa ya da sola doğru kaymış olmasına göre fay, Sağ ya da Sol Atılımlı (yönlü) olarak tanımlanır. Yurdumuzdaki Kuzey Anadolu Fayı, sağ yönlü doğrultu atılımlı bir faydır. Şekil 4 ve 5. de fayın konumu gösterilmiştir.



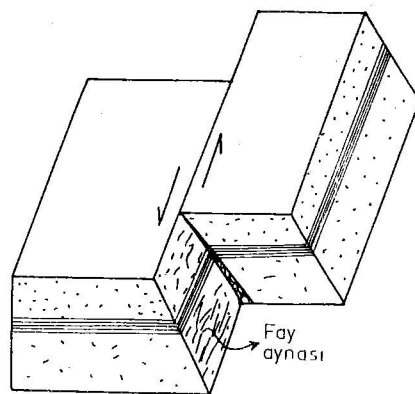
Şekil .1. Fay elemanları.



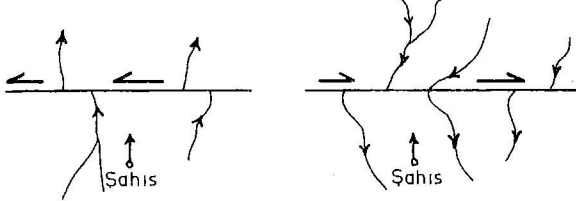
Şekil .2. Normal fay.



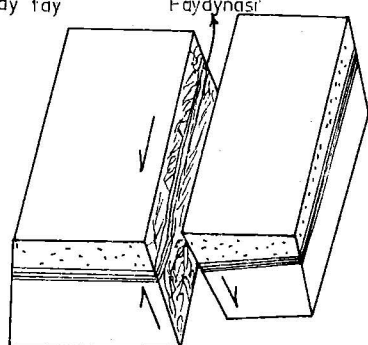
Şekil .3 . Ters fay .



Şekil .4 .Yatay fay



Şekil .5 . Sol ve sağ atımlı fay .



Şekil .6 . Verev fay .

**iv. Verev Fay :** Blokların yatay hareketinden sonra, bir tanesi düşey olarak hareket ederse, Verev Fay denilen şekil oluşmuş olmaktadır. Şekil 6. da bu durum gösterilmiştir.

Büyük depremlerden sonra arazide çoğu zaman bu fay tiplerinden birini görmek olanağı vardır. Bunların dışında, iki normal fay arasındaki blokun aşağı doğru çökmesi ile meydana gelen çukurluklara Graben-Tektonik Çukur - Çöküntü Havzası denilmektedir. Batı Anadolu'daki nehirler, vadiler ve ovalar, birer graben olarak belirmektedir. İki normal fay arasında yüksekte kalan bloklara da Horst denilmektedir. Çökken yandaki kompartman aşağıya doğru birbirinden uzaklaşır. Tansiyonel gerilmelerin etkisi altında meydana gelirler. Ayrıca, fay düzlemleri birbirlerine paralel fayların bir araya gelmesi ile oluşan faylara da basamaklı faylar denilmektedir.

Yer kabuğunda fayın olması âni bir hareket değildir. Arz kabuğunun belirli bir parçası, uğradığı gerilmelerin etkisi ile deformasyona uğrar ve sonunda blok kırılır. Bu kırılan parçalar kayarak birbirinden uzaklaşır. Faylar, mekanik bakımından kesme ve kayma hareketleridir. Kabuktaki değişik basınçların etkisiyle ve elastik deformasyondan sonra oluşurlar.

Fayların arazide tanınması önemli bir nokta olarak belirlenmektedir. Mühendislikte, özellikle büyük yapıların yerlerinin seçimiinde, fayın varlığının ve yerel etkilerinin bilinmesi gereği ortaya çıkmaktadır. Çünkü fayın konumu, seçilen yerin uygunluğunu, yapı maliyetini ve planlamayı etkilemektedir. Fay yerinin belirlenmesi için jeofizik ve jeolojik yöntemlerle arazi çalışmaları yapılması gerekmektedir. Fayın sahada gözlemsel olarak tanınmasına olanak sağlayan belirtiler söylece sıralanabilir.

- i) Arazide tabakaların cins ve yaşı bakımından devamsızlığı görülebilir. Örneğin, kalker formasyonu yanında konglomera ya da kumtaşının bulunması, II. Zaman tabakası yanında III. Zamana ait tabakaların bulunması gibi, düzensiz kontakların varlığı bir fayın bulunabileceğini göstermektedir.
- ii) Fay düzleminde rastlanan ayırtman şekilleri. Bunlar, ayrılan iki kompartmanın fay düzleminde sürütülmESİ sonucunda oluşan cilalı yüz (Fay Aynası), Fay Bresi, Milonit (Mikro bres) gibi oluşumlarla belirlenmektedir.
- iii) Arazide görülen diğer veriler. Genellikle topografyanın durumu, yanı sev ya da basamaklı bir yapı göstermesi ve bir hat boyu gözlenebilen sıcak su kaynakları fayın tanınmasında önemli olanaklar sağlamaktadır.

## BÖLÜM II. DEPEM DALGALARININ YAYILMASI

### II.1. Elastik Dalga Türleri

Deprem dalgalarının yayılması bakımından yer kabaca, hızın derinlikle değiştiği küresel bir ortam olarak varsayılabılır. Yer içinde bir noktada oluşan deprem nedeniyle meydana gelen dalgalar, yer tabakalarını geçerek yer yüzeyine varırlar ve yüzeye yansırlar. Yer içindeki dalga hızı derinlikte arttıktan, deprem ışınının yörüngesi yukarıya doğru ıgbükey şeklindeşdir. Elastik özellikleri aniden değişen ortamların sınır yüzeylerinde yansıtma ve kırılmalara uğrarlar. Ge-

nel olarak gelen bir tür dalgaya karşı iki tip dalga yansır ve kırılır. Diğer bir deyişle, gelen dalga boyuna (enine) ise, yansyan ve kırılan boyuna (enine) dalgalarдан başka, yansyan ve kırılan enine (boyuna) dalgalarında izlenilmektedir.

Elastisite teorisi, homojen, izotropik elastik bir ortamda, elastik katsayımlara bağlı olarak farklı yayılma hızına sahip iki tip dalganın yayılabilceğini göstermektedir. Bunlar, Boyuna (P) ve Enine (S) dalgalarıdır.

**Boyuna Dalgalar** : Partikül hareketi yayılma doğrultusuna paraleldir, (havadaki ses dalgaları gibi). Boyuna dalgaların hızı aşağıdaki şekilde verilmektedir.

$$V_p = \sqrt{\frac{k + 4/3 \mu}{\rho}} = \sqrt{\frac{\lambda + 2 \mu}{\rho}} = \sqrt{\frac{E}{\rho} \left( I - \frac{2 \sigma^2}{1 - \sigma - 2 \sigma^2} \right)}$$

**Enine Dalgaları** : Partikülin hareketi yayılma doğrultusuna dikdir, (titreşen bir teldeki dalgalar gibi). Enine dalgaların yayılma hızı da aşağıdaki gibidir.

$$V_s = \sqrt{\frac{\mu}{\rho}} = \sqrt{\frac{E}{\rho} \frac{I}{2(I + \sigma)}}$$

Burada :

$\sigma$  : Poisson oranı

$k$  : Bulk's modülü

$E$  : Young »

$\mu$  : Rigidite veya Shear modülü

$\lambda$  : Lame sabiti

$\delta$  : Yoğunluk

Boyuna ve Enine dalgalar, malzemelerin bünyesi içinde yayıldıklarından Hacim Dalgaları (Body Waves) olarak tanımlanmaktadır. Başka bir deyişle, elastik bir dalganın, sınırsız, izotrop, homojen bir elastik katı cisimde yayılımı sırasında iki tip Düzlem Dalga, P ve S, oluşmaktadır. Enine ve Boyuna Dalgaların hız oranları aşağıdaki şekilde verilmektedir.

$$\frac{V_p}{V_s} = \sqrt{\frac{k}{\mu} + \frac{4}{3}} = \sqrt{\frac{\lambda}{\mu} + 2} = \sqrt{\frac{1 - \sigma}{1/2 - \sigma}}$$

Buradan anlaşılabileceği üzere, boyuna dalgaların hızı, elastik katsayımların değerlerine bağlı olarak enine dalgaların hızından biraz daha fazladır. Poisson oranının  $\sigma = 0.25$  olması halinde aralarında şu ilişki vardır.

$$\frac{V_p}{V_s} = \sqrt{3} = 1.73$$

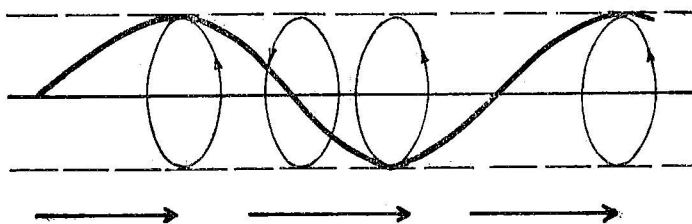
Öbür Poisson oranları içinde hız oranları şu şekilde verilebilir:

$\sigma$	0	0.1	0.2	0.3	0.4	0.5
$V_p/V_s$	1.41	1.50	1.63	1.87	2.45	$\infty$

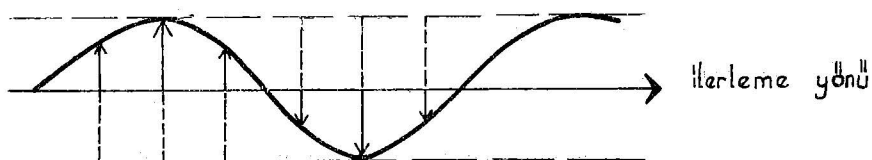
Yer yüzeyi gibi bir sınırın varlığı halinde, yüzey boyunca bazı dalgalar da oluşmaktadır. Oluşan bu dalgalara Yüzey Dalgaları denilmektedir. Hacim dalgalarının tersine, Yüzey dalgalarının yayılması sınır yüzeyleriyle sınırlıdır ve yayılmıştır. Genliklerinin uzaklık ile azalması Hacim dalgalarına oranla daha yavaştır, bunun nedenide bunların üç yerine iki doğrultuda yayılmamadır. Derinliğe bağlı olarak enerji azalışı üsteldir ve dalga uzunluğu ölçüsünde (50 - 100) km bir derinliğe dek inerler, Rayleigh ve Love Dalgaları, Yüzey dalgaları olarak tanımlanmaktadır.

**Rayleigh Dalgaları :** Kati elastik, yarı sonsuz bir ortamin serbest yüzeyindeki dalgalarıdır. Hareket, boyuna ve enine titresimlerin bir tür birleşimi olup, partikülün hareketi bir elips gizmektir. Elipsin büyük ekseni yüzeye ve hareketin yayılma doğrultusuna diktir. Küçük ekseni ise, yayılma doğrultusuna paraleldir. Moleküllerin titresim doğrultusu, Şekilden de görüleceği üzere, yukarıda hareketin ters yönünde, aşağıda ise hareket yönündedir. Poisson oranının  $\sigma = 0.25$  olması halinde Rayleigh dalgalarının hızı şu şekilde verilebilir :

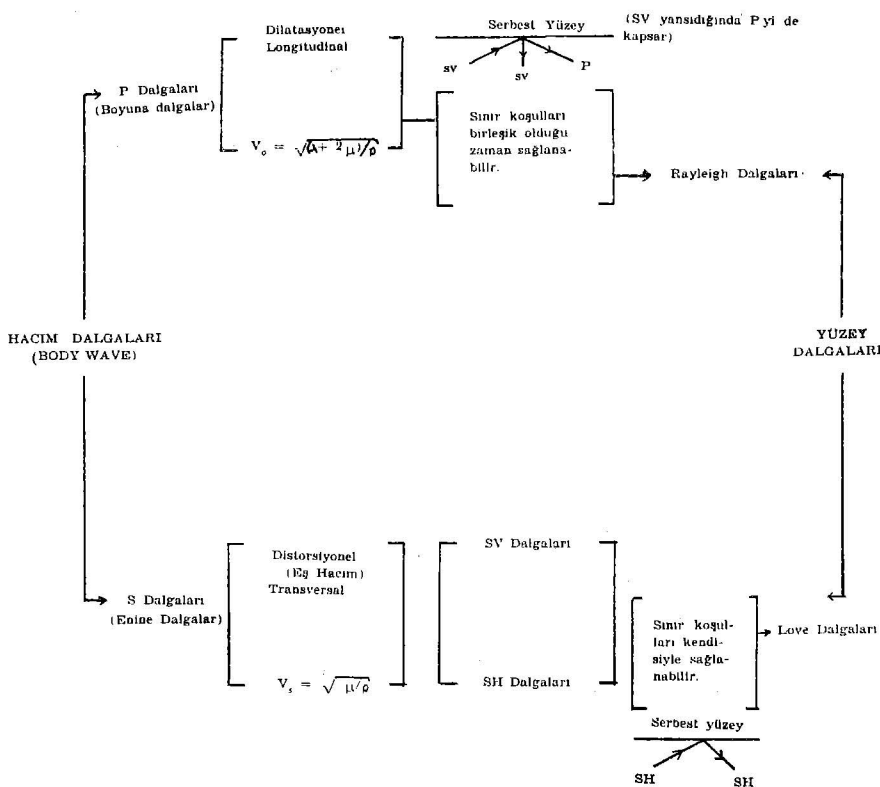
$$V_R = 0.9194 \sqrt{\frac{\mu}{\rho}}$$



**Love Dalgaları :** Kati elastik, yarı sonsuz bir ortamin elastik özelliklerinden farklı elastik özelliklere sahip yüzey tabakasında yayılan enine dalgalarıdır. Rayleigh dalgalarının tersine olarak, Love dalgalarının varlığı tabakalı bir elastik ortamin yüzeyine gerek göstermektedir. Partikül hareketi, yüzey düzleminin içinde ve hareket doğrultusuna diktir. Bu nedenle bir düşey bileşen yoktur. Depremlerde Love dalgalarının izlenilmesi, yer kabuğının tabakalı olduğunun bir kanıtı olarak belirlenmektedir. Dalganın hızı derinlikle artar ve dalga boyuna bağlıdır. Love dalgasının hızı, yaklaşık olarak yer kabuğu içersindeki S dalgalarının hızı kadardır.



Genel bir deyişle elastik dalgalar aşağıdaki şekilde sınıflandırılabilir.



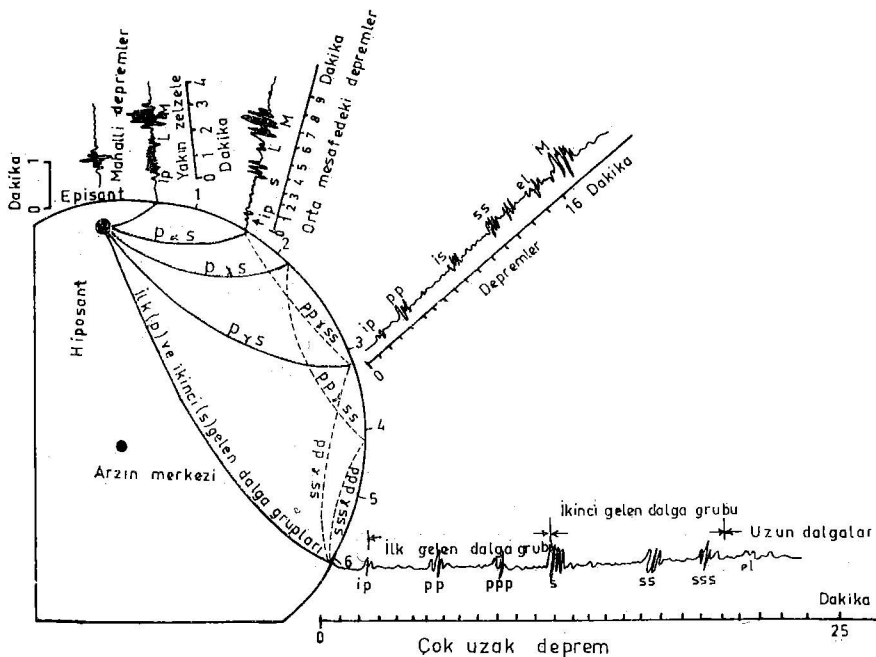
Deprem hareketi sırasında kaydedilen dalga tipleri de, genel olarak, Şekil 7. de verilmüştür.

## II.2. Sismograflar

Deprem sırasında zemin ve zemine bağlı tüm cisimler titregmektedirler. Bir kütlenin bir noktadan asılmasıyla elde edilen sarkağ, deprem sırasında zemine tesbit edilmiş bir sisteme göre izafi hareketler gösterir ve bu hareketler kaydedilir. Bir sarkacın askı noktası, yataç doğrultuda sarkacın periyoduna göre seri bir şekilde titrestirildiğinde, sarkacın, askı noktasının hareketlerini izlemediği ve hemen hemen yerinde kaldığı görülmektedir. Sismografların esası bu temele dayanmaktadır.

Genel olarak sismograflar :

- Sarkağ
- Söndüricü
- Sarkacın sapmalarını kaydeden bir kaydediciden oluşmaktadır.



Şekil : 7 Yayılan deprem dalgalarının şematik görünüşü

Sismoğrafların bazlarında titresimler mekanik yöntemde kaydedilmektedir, bazlarında ise sapmalar optik yöntemle büyütülmektedir. Modern sismoğraf larda, sarkac sapmaları elektrik akımına çevrilerek kayıt bir galvanometre yardımıyla yapılmaktadır. Kayıt ve söndürülük elamanlarının çeşitli tipte olabilmelerine karşılık, hepsi aynı sarkac ilkelerine dayanmaktadır.

Sismoğrafın yer hareketine karşılığı aşağıdaki denklemde verilmektedir. Burada yer hareketi deyimi ile, yer hareketinin ivmesi belirtilmektedir.

$$\frac{d^2\chi}{dt^2} + 2 \varepsilon \frac{d\chi}{dt} + n^2\chi = - \frac{d^2y}{dt^2}$$

Burada :

$\chi$  : Sarkacın yer değiştirmesi

$y$  : Yerin yer değiştirmesini belirlemektedir.

Eşitliğin sağ tarafındaki terimin işaretin keyfidir, bazı yazarlar (+) işaret kullanılsrsa da (-) işaret bir alışkanlık haline gelmiştir. Eğer yerin ve rilen bir doğrultudaki hareketi pozitifse, sarkacın yer değiştirmesi de (+) yönünde olmaktadır.

Sarkacın periyodu çok büyük ise, sismoğraf zemin yer değiştirmelerini kaydeder. Sarkacın periyodu çok küçük ise, sismoğraf zemin hareketinin ivmesini kaydetmektedir. Sarkac hareketinin amortisman katsayısı (sönme kat sayısı) fazla ise sismoğraf hız sismoğrafı olarak çalışmaktadır.

### BÖLÜM III. DEPREM PARAMETRELERİ VE TANIMLARI

#### III.1. Hisposantr - Episantr

Hiposantr ya da odak noktası kırılmanın başladığı yer olup, depremde enerjinin açığa çıktıığı yer kabuğu içindeki nokta olarak tanımlanmaktadır. Episantr ise, yer içindeki bu ocağın noktasının yeryüzeyindeki izdüşümü olarak belirlenmektedir. Gerçekte, gerek enerjinin açığa çıktıığı yerin bir nokta olmayıp çok daha geniş hacimli bir yer ve gerekse episantrın da bir nokta olmayıp bir alan olması dolayısıyla yukarıda kullanılan tanımlamalar ancak pratik bir anlam taşımaktadır. Çünkü büyük bir depremin odak noktasının boyutları yüzlerce kilometreyle belirlenebilmektedir. Bu nedenle, Episantr Bölgesi ya da alanı olarak tanımlanması gerçeğe daha yakın bir tanımla olmaktadır.

Episantr, gözlemsel ya da araçsal episantr olmak üzere ikiye ayrılabilir. **Gözlemsel Episantr** : Depremin ardından yapılan gözlemsel incelemede, maksimum şiddetin çevrelediği alanın merkezi olarak tanımlanır. Ancak şiddetli bir depremde, büyük ya da küçük şiddetlerin dağılımında bir düzensizlik olduğunda, gözlemsel episantrın tayininde güzellikler ortaya çıkabilir.

**Araçsal Episantr** : Deprem hareketinin araçla kayıtlarının incelenmesi sonucunda verilen koordinatların (enlem ve boylam) belirlediği yer olarak tanımlanmaktadır. Böyle bir çalışmanın yapılabilmesi için en az üç sismik istasyonun kayıtlarının incelenmesi gerekmektedir.

#### III.2. Oacak Derinliği - İzoseist

Oacak derinliği hiposantr ve episantr arasındaki düşey uzaklık olarak tanımlanmaktadır. Oacak derinliğinin de gözlemsel ve araçsal olarak ikiye ayrılabiliriz.

**Gözlemsel Oacak Derinliği** : Hesaplamalar homojen bir model esasına dayanmaktadır. Şekil 8 de, hesaplamayla ilgili bir yönteme ilişkin tanımlamalar verilmiştir.

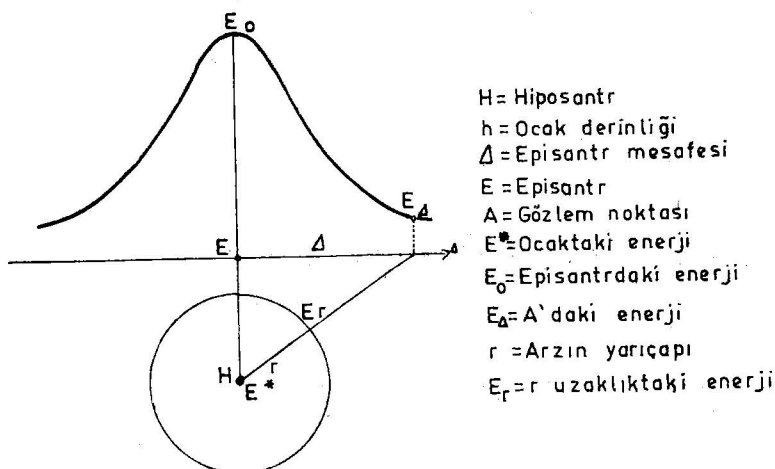
Episantrdaki enerji  $E$  ( $r = h$ ) aşağıdaki şekilde verilmektedir :

$$E_o = \frac{E^* e^{-\alpha h}}{4 \pi h^2} \quad (\text{erg.})$$

Burada  $\alpha$ , absorpsiyon katsayısı,  $E^*$  da odak noktasındaki enerjidir,

Episantrdan  $\Delta$  km. uzaklıkta bir A noktasında ise enerji şu denklemle verilmektedir.

$$\log \left( \frac{E_o}{E_\Delta} \right) = a (I_o - I_\Delta)$$



Sekil : 8 Makrosismik ocak derinliği hesaplanmasında kullanılan tanımlamalar

Burada :

$I_o$  : Episantrdaki şiddet

$I_{\Delta}$  : Episantrdan  $\Delta$  km. uzaklıktaki şiddet

a : Amprik bir kaysayıdır.

Kövestligethy ve Gasman'a göre  $a = 1/3$  olarak alınırsa :

$$\log \left( \frac{E_o}{E_{\Delta}} \right) = \frac{1}{3} (I_o - I_{\Delta}) \quad \text{bulunur.}$$

Bu denklem, daha genel bir anlamda ve absorpsiyon alınmаяarak Gasman'a göre şu şekilde yazılabilmektedir :

$$\frac{1}{3} (I_o - I) = \log [1 + (\Delta/h)^2]$$

Eğer  $1/3 (I_o - I) = N$  ve  $\Delta^2/h^2 = N - 1$  ile gösterilirse gözlemlsel ocak derinliğinin hesabı için denklem aşağıdaki şekli almaktadır.

$$h \cong \frac{\Delta}{\sqrt{N - 1}}$$

Bu denklemden başka, yine gözlemlsel ocak derinliğini veren çeşitli formüller de vardır. Bunlardan bazıları aşağıda verilmiştir.

$$h = \frac{2}{3} \sqrt{R_2^2 - (1.8 R_1)^2} \quad \dots \dots \dots \text{V. İnglada } (0.72 R_2 > h > 0.52 R_1 \text{ halinde kullanılır.)}$$

$$h = \frac{R}{\sqrt[10]{\frac{2/3 (I_o - I)}{-1}}} \quad \dots \dots \dots \text{W. Sponheur}$$

$$\frac{r}{h} = \sqrt{\frac{I_o/3 - 1/2}{10}} - 1 \quad \dots\dots\dots \text{B. Gutenberg}$$

$$r = \frac{1}{2} I_o^{3/2} - 1.7$$

$$I_o - I_j = K \log \sqrt{1 + \left( \frac{\Delta_i}{h} \right)^2} \quad \dots\dots\dots \text{Blake}$$

Burada :

$R_1$  : Maksimum  $I_o$  i kapsayan elips ya da başka bir geometrik şeklin alanına denk olan dairenin çapı, km.

$R_2$  :  $I$  yi kapsayan elips ya da bir geometrik şeklin alanına denk olan dairenin çapı, km.

$I$  :  $I_o$  dan sonraki şiddet

$I_i$  : İzoseisti kullanılan şiddet derecesi

$\Delta_i$  : Kullanılan izoseistin kapladığı alana denk dairenin yarıçapı, km.

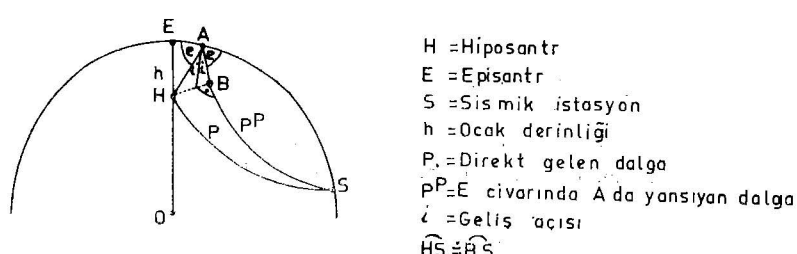
$K$  : Şiddet azalım katsayısi

$h$  : Ocak derinliği, km.

$r$  : Hissedilme alanı yarı çapı, km.

$R$  : Maksimum  $I_o$  i kapsayan elips ya da başka bir geometrik şeklin alanına denk olan dairenin çapı, km.

**Araçsal Ocak Derinliği :** Sismik istasyonda kaydedilen deprem hareketine ilişkin kayıtlarda, gesitli dalgaların geliş zamanları arasındaki farklar alınır ve bunlardan yapılan hesaplamalarla ocak derinliği bulunur.



**Şekil .9 .** Mikrosismik ocak derinliği hesaplamalarında kullanılan tanımlamalar.

Örneğin, Şekil 9., S istasyonunda  $P_P$  ve  $P$  arasındaki zaman farkı  $t_{PP} - t_P$  ve  $H$  ve  $E$  noktaları arasındaki ortalama  $P$  dalgası hızı da  $V$  ile gösterilirse :

$$h = \frac{V}{2 \cos i} (t_{PP} - t_P) \quad \text{olur.}$$

i geliş açısının küçük olması halinde  $\cos i = 1$  olacağından, ocak derinliği ifadesi aşağıdaki şekli alır :

$$h = \frac{V}{2} (tp - p)$$

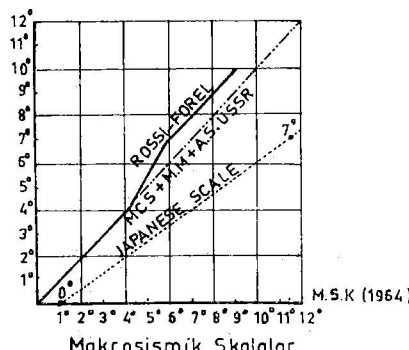
Hesaplamlar benzer bir şekilde, değişik limitasyonlar içersinde, öbür dalga grupları için de yapılabilir.

**İzoseist ve Izoseist Haritası :** Gözlemsel inceleme alanı içersinde aynı şiddet değerine sahip noktalar birbirleriyle birleştirilerek bir eğri elde edilir. Bu eğri Izoseist (Eş şiddet) olarak tanımlanmaktadır. Izoseistlerin şiddet değerleri, episantrdan bağlayarak azalan bir durum ortaya koymaktadır. Bu izoseistleri kapsayan harita da depremin Izoseist Haritası olarak tanımlanmaktadır.

### III.3. Şiddet

Şiddet, herhangibir derinlikte olan bir depremin, yer yüzeyinde depremin hissedildiği bir noktadaki gücünün ölçüsü olarak tanımlanabilir. Depremin şiddet değerinin belirlenmesinde, episantra olan uzaklık ya da yakınlığı, yerel zemin koşullarının ve farklı tipteki yapı özelliklerinin etkisi olmaktadır.

Deprem şiddetini belirlemek için bugüne kadar kullanılan deprem şiddet çizelgeleri, insanların algılарına ve izlenen fiziksel hasarlara dayandıгından, (stübjektif bir değer) taşımaktadır. Halen kullanılmakta olan deprem şiddet çizelgelerine, belirli bir periyod aralığında olmak üzere, zemin ivme değerleri ve titresim hız değerleri de eklenerek niceliksel bir anlamda taşımaları olanlığı sağlanmıştır. Çünkü mühendislik açısından, deprem sırasında yapılara gelen yatay kuvvetlerin bilinmesi önemli bir nokta olarak ortaya konulmaktadır. Tablo 1. de bu değerlerle birlikte, deprem şiddeti ve çeşitli yapı tiplerindeki hasar durumları arasındaki ilişkiler verilmektedir. Şekil 10. da, açıklaması aşağıda verilen MSK (Medvedev-Sponheuer-Karnik) skalası ile öbür şiddet çizelgeleri arasındaki ilişkiler gösterilmiştir. Tablo 1., MSK skalarına göre verilmiştir.



M.C.S. = Mercalli-Concani-Sieberg  
 M.M. = Modified Mercalli (1931-1956)  
 A.S.USSR = Academy of Sciences USSR  
 M.S.K. = Medvedev-Sponheuer-Karnik

Şekil 10 : Şiddet çizelgeleri arasındaki ilişkiler

Tablo : 1 — Şiddet, zemin ivmesi, hız ve yapı tiplerindeki hasar arasındaki ilişkiler.

		Y A P I T İ P L E R İ		
Sıddet	Zemin İvmesi (gal) (0.1 - 0.5 sn. periyod aralığı için)	Yer titresiminin (0.5 ~ 2 sn. periyod hızı, cm/sn aralığı igin)	Ax	Bx
V	12 — 25	1.0 — 2.0	% 5 Hafif hasar	
VI	25 — 50	2.1 — 4.0	% 5 Orta hasar % 50 Hafif hasar	% 5 Hafif hasar
VII	50 — 100	4.1 — 8.0	% 5 yükselti % 50 Ağır hasar	% 5 Orta hasar % 5 Hafif hasar
VIII	100 — 200	8.1 — 16.0	% 5 Fazla yükselti % 50 Yıkıntı	% 5 Ağır hasar % 50 Orta hasar
IX	200 — 400	16.1 — 32.0	% 50 Fazla yükselti % 50 Yıkıntı	% 5 Yıkıntı % 50 Ağır hasar
X	400 — 800	32.1 — 64.0	% 75 Fazla yükselti % 50 Fazla yıkıntı	% 5 Fazla yıkıntı % 50 Yıkıntı

x : Tanımlar detaylı olarak siddet cüvelinde verilmiştir.

Siddet çizgelerinin açıklamasına geçmeden önce, burada kullanılacak terimlerin belirtilmesine çalışılacaktır.

Özel bir şekilde depreme danakî olarak projelendirilmemiş yapılar üç tipe ayrılmaktadır :

**A Tipi** : Kırsal konutlar, kerpiç yapılar, kireç ya da çamur hâraklı moloz taş yapılar

**B Tipi** : Tuğla yapılar, yarım kârgir yapılar, kesme taş yapılar, beton briquet ve hafif prefabrike yapılar

**C Tipi** : Betonarme yapılar, iyi yapılmış ahşap yapılar

Siddet derecelerinin açıklanmasında kullanılan az, çok ve pek çok deymeleri ortalama bir değer olarak sırasıyla, % 5, % 50 ve % 75 oranlarını belirlemektedir.

Yapılardaki hasar ise beş gruba ayrılmıştır :

**Hafif Hasar** : İnce siva çatlaklarının meydana gelmesi ve küçük siva parçalarının dökülmesiyle tanımlanır.

**Orta Hasar** : Duvarlarda küçük çatlakların meydana gelmesi, oldukça büyük siva parçalarının dökülmesi, kiremitlerin kayması, bacalarında çatlakların olması ve bazı baca parçalarının aşağıya düşmesiyle tanımlanır.

**Ağır Hasar** : Duvarlarda büyük çatlakların meydana gelmesi ve bacaların yıkıma styyla tanımlanır.

**Yıkıntı** : Duvarların yarılması, binaların bazı kısımlarının yıkılması ve derzelerle ayrılmış kısımlarının bağlantısını kaybetmesiyle tanımlanır.

**Fazla Yıkıntı** : Yapıların tüm olarak yıkılmasıyla tanımlanır.

Siddet çizgelerinin açıklamasında her siddet derecesi üç bölüme ayrılmıştır.

Bunlardan :

- a) Bölümünde depremin kişi ve çevre
- b) Bölümünde depremin her türdeki yapılar
- c) Bölümünde de depremin arazi üzerindeki etkileri belirtilmiştir.

### **MSK Siddet Cetveli**

#### I — Duyulmayan

(a) : Titreşimler insanlar tarafından hissedilmeyip, yalnız sismoograflarca kaydedilirler.

#### II — Çok Hafif

(a) : Sarsıntılar yapıların en üst katlarında, dinlenmekte bulunan az kişi tarafından hissedilir.

#### III — Hafif

(a) : Deprem ev içerisinde az kişi, dışarıda ise sadece uygun şartlar altındaki kişiler tarafından hissedilir. Sarsıntı, yoldan geçen hafif bir kamyonetin meydana getirdiği sallantı gibidir. Dikkatli kişiler, üst katlarda daha belirli olan asılmış eşyalardaki hafif sallantıyı izleyebilirler.

#### IV — Orta Şiddetli

(a) : Deprem ev içerisinde çok, dışarda ise az kişi tarafından hissedilir. Sarsıntı, yoldan geçen ağır yüklü bir kamyonun oluşturduğu sallantı gibidir. Kapı, pencere ve mutfak eşyaları v.s. tıkıldar, döşeme ve duvarlar çatlama sesleri çıkarırlar. Mobilya v.s. titrer, asılı eşyalar biraz sallanır. Ağızı açık kaplarda olan sıvılar biraz dökülür. Araç içerisindeki kişiler sarsıntıyı hissetmezler.

#### V — Şiddetli

(a) : Deprem, yapı içerisinde herkes, dışında ise çok kişi tarafından hissedilir. Uyumakta olan çok kişi uyanır, az sayıda dışarı kaçan olur. Hayvanlar huysuzlanmaya başlarlar. Yapılar baştan aşağıya titrerler, asılmış eşyalar ve duvarlara asılmış resimler önemli derecede sarsılır. Sarkaklı saatler durur. Az miktarda sabit olmayan eşyalar yerlerini değiştirebilir ya da devrilebilirler. Açık kapı ve penceler siddetle itilip kapanırlar, iyi kitlenmemiş kapalı kapılar açılabilir. İyice dolu, ağızı açık kaplardaki sıvılar dökülür. Sarsıntı, yapı içerisinde ağır bir eşyamın düşmesi gibi hissedilir.

(b) : A tipi yapılarda hafif hasar olabilir.

(c) : Bazen kaynak sularının debisi değişebilir.

#### VI — Çok Şiddetli

(a) : Deprem ev içerisinde ve dışında hemen hemen herkes tarafından hissedilir. Ev içerisindeki bir çok kişi korkar ve dışarı kaçarlar, bazı kişiler deňelerini kaybederler. Evcil hayvanlar ağıllarından dışarı kaçarlar. Bazi hallerde tabak, bardak v.s. gibi cam eşyalar kırılabilir, kitaplar raflardan aşağıya düşerler. Ağır mobilyalar yerlerini değiştirirler.

(b) : A tipi çok ve B tipi az yapılarda hafif hasar ve A tipi az yapıda orta hasar görülür.

(c) : Bazi durumlarda nemli zeminlerde 1 cm. genişliğinde çatlaklar olabilir. Dağlarda rastgele yer kaymaları, pınar sularında ve yeraltı su düzeylerinde değişiklikler görülebilir.

#### VII — Hasar Yapıcı

(a) : Herkes korkar ve dışarı kaçar, pek çok kişi oturdukları yerden kalkmakta güçlük çekerler. Sarsıntı, araç kullanan kişiler tarafından önemli olarak hissedilir.

(b) : C tipi çok binada hafif hasar, B tipi çok binada orta hasar, A tipi çok binada ağır hasar, A tipi az binada yıkıntı görülür.

(c) : Sular çalkalanır ve bulanır. Kaynak suyu debisi ve yeraltı su düzeyi değişebilir. Bazi durumlarda kaynak suları kesilir ya da kuru kaynaklar yeniden akmeye başlar. Bir kısmı kum, çakıl birikintilerinde kaymalar olur. Yollarda heyelan ve çatlamlar olabilir. Yeraltı boruları ek yerlerinden hasara uğrayabilir. Taş duvarlarda çatlak ve yarıklar oluşur.

#### VIII — Yıkıcı

(a) : Korku ve panik meydana gelir. Araç kullanan kişiler rahatsız olur. Ağaç dalları kırılıp, düşer. En ağır mobilyalar bile harcket eder ya da yer değiştirerek devrilir. Asılı lambalar zarar görür.

(b) : C tipi çok yapıda orta hasar, C tipi az yapıda ağır hasar, B tipi çok yapıda ağır hasar, A tipi çok yapıda yıkıntı görülür. Boruların ek yerleri kırılır. Abide ve heykeller hareket eder ya da burkulur. Mezar taşları devrilir. Taş kуvarlar yıkılır.

(c) : Dik sevli yol kenarlarında ve vadi içlerinde küçük yer kaymaları olabilir. Zeminde farklı genişliklerde cm. ölçüsünde çatlaklar oluşabilir. Göl suları bulanır, yeni kaynaklar meydana çıkabilir. Kuru kuyular suların akıntılarını ve sulu kuyular kuruyabilir. Pek çok durumlarda kaynak sularının akıntıları ve yeraltı su düzeyleri değişir.

#### IX — Çok Yıkıcı

(a) : Genel panik. Mobilyalarda önemli hasarlar olur. Hayvanlar rastgele öte beriye kaçışır ve bağırsırlar.

(b) : C tipi çok yapıda ağır hasar, C tipi az yapıda yıkıntı, B tipi çok yapıda yıkıntı, B tipi az yapıda fazla yıkıntı ve A tipi çok yapıda fazla yıkıntı görülür. Heykel ve sütunlar düşer. Bentlerde önemli hasarlar olur. Toprak altındaki borular kırılır. Demiryolu rayları eğrilip, bükülür. Yollar bozulur.

(c) : Düzlük yerlerde çokça su, kum ve çamur taşımları görülür. Zeminde 10 cm. genişliğine dek çatlaklar oluşur. Eğimli yerlerde ve nehir teraslarında bu çatlaklar 10 cm. den daha büyütür. Bunların dışında, çok sayıda hafif çatlaklar görülür. Kaya düşmeleri, bir çok yer kaymaları ve dağ kaymaları, sularda büyük dalgalanmalar meydana gelebilir. Kuru kuyular yeniden sulanır, sulu olanlar kurur.

#### X — Ağır Yıkıcı

(b) : C tipi çok yapıda yıkıntı, C tipi az yapıda fazla yıkıntı, B tipi çok yapıda fazla yıkıntı, A tipi pek çok yapıda fazla yıkıntı görülür. Baraj, bent ve köprülerde önemli hasarlar olur. Tren yolu rayları eğrilir. Yeraltındaki borular kırılır ya da eğrilir. Asfalt ve parke yollar da kassisler oluşur.

(c) : Zeminde birkaç desimetre ölçüstünde çatlaklar oluşabilir. Bazen 1 m. genişliğinde çatlaklarda olabilir. Nehir teraslarında ve dik meyilli yerlerde büyük heyelanlar olur. Büyüük kaya düşmeleri meydana gelir. Yeraltı su seviyesi değişir. Kanal, göl ve nehir suları karalar tizerine tasar. Yeni göller oluşabilir.

#### XI — Çok Ağır Yıkıcı

(b) : İyi yapılmış yapılarda, köprülerde, su bentleri, barajlar ve trenyolu raylarında tehlikeli hasarlar olur. Yol ve caddeler kullanılmaz hale gelir. Yeraltındaki borular kırılır.

(c) : Yer, yatay ve düşey doğrultudaki hareketler nedeniyle geniş yarık ve çatlaklar tarafından önemli biçimde bozulur. Çok sayıda yer kayması ve kaya düşmesi meydana gelir. Kum ve çamur fişkirmaları görülür.

#### XII — Yok Edici (Manzara Değişir)

(b) : Pratik olarak toprağın altında ve üstündeki tüm yapılar baştan başa yıkıntıya uğrar.

(c) : Yer yüzeyi bütünsüz değişir. Geniş ölçüdeki çatlak ve yarıklarda, yatay ve düşey hareketlerin yön miktarları izlenebilir. Kaya düşmeleri ve nehir versanlarındaki göçmeler çok geniş bir bölgeyi kaplarlar. Yeni göller ve çağlayanlar oluşur.

Deprem Şiddet çizelgeleri arasındaki ilişkiler Tablo 2. de verilmiştir.

**Tablo 2. Deprem Şiddet Çizelgeleri**

MSK 1964	USSR Arz Fiziği 1952	Amerikan Modifiye Mercalli MM. 1931	Japon 1950	Rossi Forel 1873	Avrupa Mercalli - Cancani Sieberg, 1917
	Enstitüsü				
1	1	1	0	1	1
2	2	2	1	2	2
3	3	3	2	3	3
4	4	4	2 — 3	4	4
5	5	5	3	5 — 6	5
6	6	6	4	7	6
7	7	7	4 — 5	8	7
8	8	8	5	9	8
9	9	9	5 — 6	10	9
10	10	10	6	10	10
11	11	11	7	10	11
12	12	12	7	10	12

### III.4. Magnitüd

Magnitüd, deprem sırasında açığa çıkan enerjinin bir ölçüsü olarak tanımlanmaktadır. Enerjinin doğrudan doğruya ölçülmesi olanlığı olmadığından, Richter tarafından ileri sürülen bir yöntemde göre, depremlerin araçsal bir ölçüsü olan Magnitüd tanımlanmıştır. Bir depremin magnitüdü, episantrdan 100 km. uzaklıkta, standard bir sismografla (Periyodu  $T_o = 0,8$  sn, büyütmesi  $V = 2800$  (sönümlü  $h = 0,8$  olan Wood — Anderson Torsyon Sismometrisi) kaydedilen zemin hareketinin mikron cinsinden ölçülen maksimum genliğinin 10 tabanına göre Logaritmasıdır. Bugüne dek olan depremler istatistik olarak incelendiğinde kaydedilen en büyük magnitüd değerinin 8.9 olduğu görülmektedir. (31 Ocak 1906 Kolombiya-Ekvator ve 2 Mart 1933 Sanriku-Japonya depremleri).

Magnitüd, araçsal ve gözlemsel magnitüd değerleri olmak üzere iki gruba ayırlabilmektedir. Araçsal magnitüd değeri, yukarıda da belirtildiği üzere, standard bir sismografla kaydedilen deprem hareketinin maksimum amplitüd ve periyod değerleri ve araç kalibrasyon fonksiyonlarının kullanılması ile yapılan hesaplamalar sonucunda elde edilmektedir. Araçsal magnitüd değeri, gerek hacim dalgaları (PH, PV, PPH, SH) ve gerekse yüzey dalgalarından (Rayleigh ve Love dalgaları) hesaplanılmaktadır. Ancak bu işlemlerde, birbirinden farklı ayrı ilişkilerin kullanılması için, 1967 de Zürih'te yapılan toplantıda (International Association of Seismology and Physics of the Earth's Interior) bir standartizasyona gidilerek belirli formüller ortaya konulmuştur.

Araçsal magnitüd değerlerinin hesaplamalarında ocak derinliği 100 - 150 km. ye ulanan depremlerde hacim dalgaları kullanılmaktadır. Genel olarak, hacim dalgalarından hesaplanan magnitüd ( $m$ ) ile, yüzey dalgalarından he-

saplanan magnitüd değeri ise ( $M$ ) ile gösterilmektedir. Her iki magnitüd değeri arasında aşağıda verilen bağlantılar vardır.

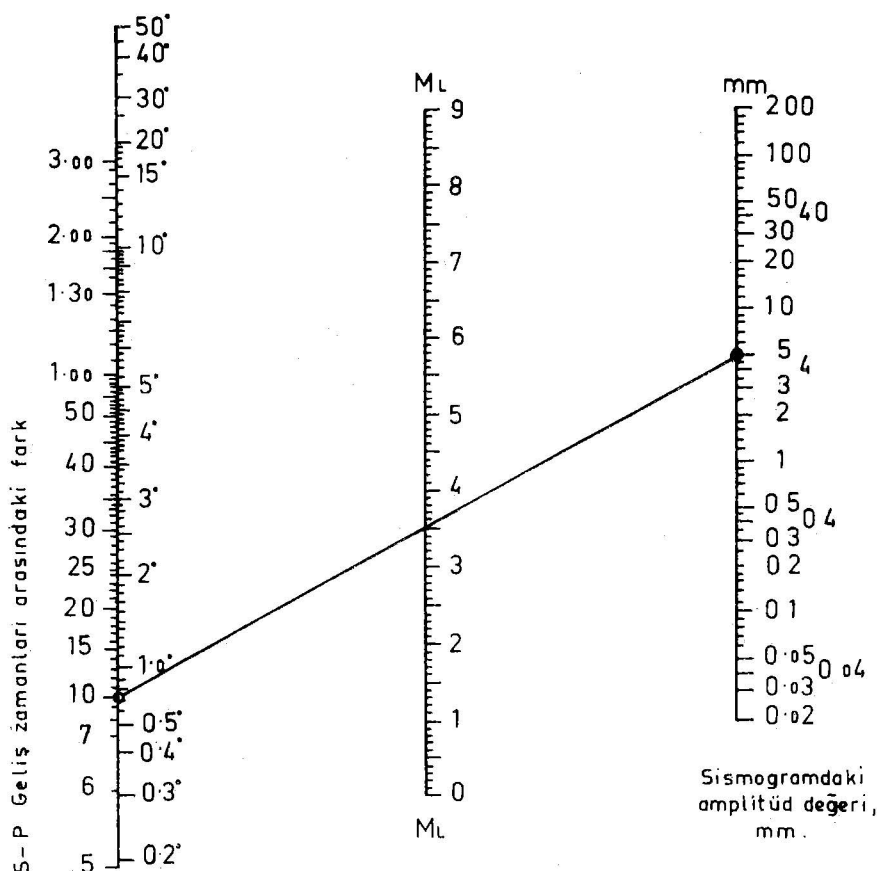
$$m = 0.56 M + 2.9 \dots \text{Bath}$$

$$M - m = 0.53 (M - 6.8) \dots \text{Mogi (Avrupa için)}$$

Gözlemlsel magnitüd değeri ise, gözlemlsel inceleme sonucunda elde edilen episantr şiddetinden hesaplanmaktadır. Ancak, bu tür hesaplama larda, magnitüd - şiddet bağlantısının incelenen bölgeden bölgeye değiştiği de göz önünde tutulmalıdır.

Ayrıca, bu hesaplama larda ocak derinliğinin de bir rol oynadığı unutulmamalıdır. Bu konuya, ileride deprem parametrelerinin aralarındaki ilişkiler incelenirken verilecek olan bağlantı larda da tekrar değinilecektir.

Araçsal magnitüd saptanmasında kullanılan bir monogram Şekil 11. de verilmiştir.



Şekil 11. Deprem magnitüdünün hesaplanmasıında kullanılan bir nomogram

## BÖLÜM IV. DEPREM PARAMETRELERİNİN ARALARINDAKİ BAĞLANTILAR

### IV.1. Magnitüd - Şiddet ve Ocak Derinliği Arasındaki Bağlantılar

Çok sayıda araştırmacılarca bir çok bağlantı ortaya konulmuştur. Bunlardan bazıları aşağıda verilmiştir :

$$M = 0.55 I_o + 0.93 \log h + 0.14 \quad \dots \dots \text{Karnik (Avrupa depremleri için)}$$

$$M = 0.6 I_o + \log h + 0.14 \quad \dots \dots \rightarrow \quad \rightarrow \quad \rightarrow \quad \rightarrow$$

$$M = 0.67 I_o + 2.33 \log h - 2 \quad \dots \dots \text{Shebalin}$$

$$I_o = 1.5 M - 3.5 \log h + 3 \quad \dots \dots \text{Medvedev}$$

$$M = 0.5 I_o + 0.33 \log h + 1.54 \quad \dots \dots \text{Argon Çağpar, İTÜ.}$$

Tablo 3. de, bu üç parametre arasındaki öbür bağlantılar verilmiştir.

Tablo 3. Magnitüd - Şiddet - Ocak Derinliği Arasındaki Bağıntılar

MAGNİTÜD	EPİSANTR ŞİDDETİ		
	$h = 5 \text{ km}$	$h = 15 \text{ km}$	$h = 45 \text{ km}$
$M > 7.5$	---	10	9 — 10
$6.5 < M < 7.5$	10	9 — 10	7 — 8
$5.25 < M < 6.5$	9 — 10	7 — 8	5 — 7
$4.25 < M < 5.25$	7 — 8	5 — 7	4 — 5

### IV.2. Magnitüd - Şiddet Arasındaki Bağlantılar

Bu bağlantıları belirleyen denklemlerden bazıları aşağıda verilmiştir :

$$M = 1.3 + 0.6 I_o \quad \dots \dots \text{Gutenberg - Richter}$$

$$M = 1 + 2/3 I_o \quad \dots \dots \text{Karnik (} h = 16-18 \text{ km. için)}$$

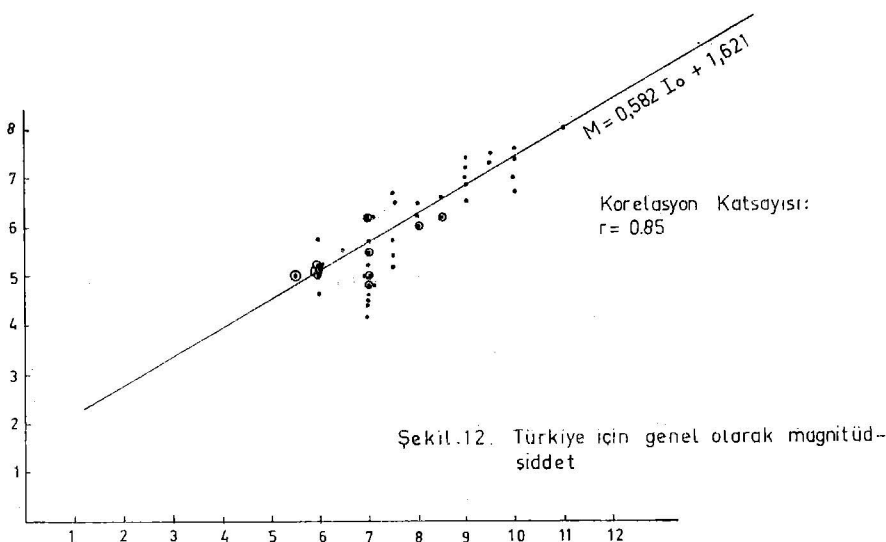
$$I_o = 1.689 M - 2.753 \quad \dots \dots \text{M. İpek}$$

$$M = 1.63 + 0.592 I_o \quad \dots \dots \text{M. İpek}$$

$$M = 0.48 I_o + 2 \quad \dots \dots \text{Karnik (Türkiye için genel)}$$

$$M = 0.582 I_o + 1.621 \quad \dots \dots \text{A. Tabban - S. Gencoğlu (Türkiye için genel)} \\ \text{(Katsayılardaki standard hatalar : } S_b = \mp 0.077, S_a = \mp 0.618)$$

Şekil 12. de, yazarlarca verilen bağlantı gösterilmiştir.



#### IV.3. Episantır uzaklığı - Şiddet - Oacak Derinliği Arasındaki Bağlantılar

Bu üç parametre arasındaki bazı bağlantılar şu şekilde verilebilir.

$$I = I_o + 3.58 - 3.33 \log \Delta \quad \dots \dots \text{M. İpek}$$

$$I = I_o - 6 \log \frac{\Delta}{h} \quad \dots \dots \text{Gutenberg - Richter}$$

$$I = I_o - 4.5 \log \frac{\Delta}{h} \quad \dots \dots \text{Karnik}$$

$$I = 3M - 13.55 - 0.00275 (\Delta = 100) - 6.908 \log \frac{\Delta}{h} \quad \dots \dots \text{Kawasumi}$$

Yukarda verilen Karnik'in formülü, yazarlarca uygulanılarak şiddetin uzaklık ile olan azalimlerini gösterir nomogramlar elde edilmiş ve Şekil 13-14-15 ve 16. da verilmiştir.

#### IV.4. Magnitüd - Enerji Arasındaki Bağlantılar

- a)  $\log E = 11 + 1.6 M \text{ erg} \quad \dots \dots \text{Gutenberg - Richter}$
- b)  $\log E = 1.8 M + 12 \text{ erg} \quad \dots \dots \gg \quad \gg$
- c)  $\log E = 9.4 + 2.14 M - 0.054 M^2 \text{ erg} \quad \dots \dots \gg \quad \gg$
- d)  $\log E = 1.44 M_s + 12.24 \text{ (Yüzey dalgaları için)} \quad \text{Bath}$
- e)  $\log E = 2.48 M_B + 5.78 \text{ (Hacim dalgaları için)} \quad \text{Bath}$
- f)  $\log E = 7.2 + 2.0 M \quad \dots \dots \text{Bath}$

Genellikle (a) ve (c) bağıntıları ile (f) bağıntısı kullanılmaktadır.

M	0	1	2	3	4	5	6	7	8	8.6
(c) den Log E erg.	9.4	11.5	13.5	15.3	17.1	18.8	20.3	21.7	23.1	23.8

M	8	7	6	5	4
E erg (b) den	$2.5 \times 10^{26}$	$4.0 \times 10^{24}$	$6.3 \times 10^{22}$	$1.0 \times 10^{21}$	$1.6 \times 10^{19}$
E erg (d) den	$5.7 \times 10^{23}$	$2.1 \times 10^{22}$	$7.6 \times 10^{20}$	$2.8 \times 10^{19}$	$1.0 \times 10^{18}$

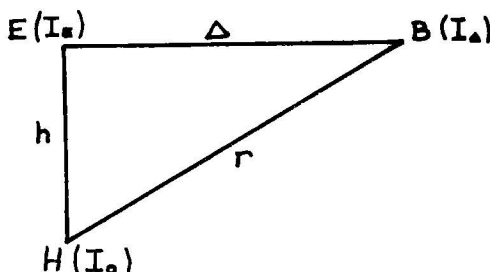
#### IV.5. Magnitüd - İvme - Ocak Derinliği ve Şiddet Arasındaki Bağlantılar

Bu parametreler arasında bazı bağlantılar aşağıda verilmiştir :

$$I_o = 3 \text{ Log } a_o + 1,5 \quad (a_o : \text{Maksimum zemin ivmesi, cm/sn}^2 \dots \text{ Bath})$$

$$\text{Log } Y_o = -2.1 + 0.81 M - 0.027 M^2 \quad \dots \dots \text{ Gutenberg - Richter}$$

$$\text{Log } a = \frac{I_o}{3} - \frac{1}{2} \quad \text{gal} \quad \dots \dots \quad \gg \quad \gg$$

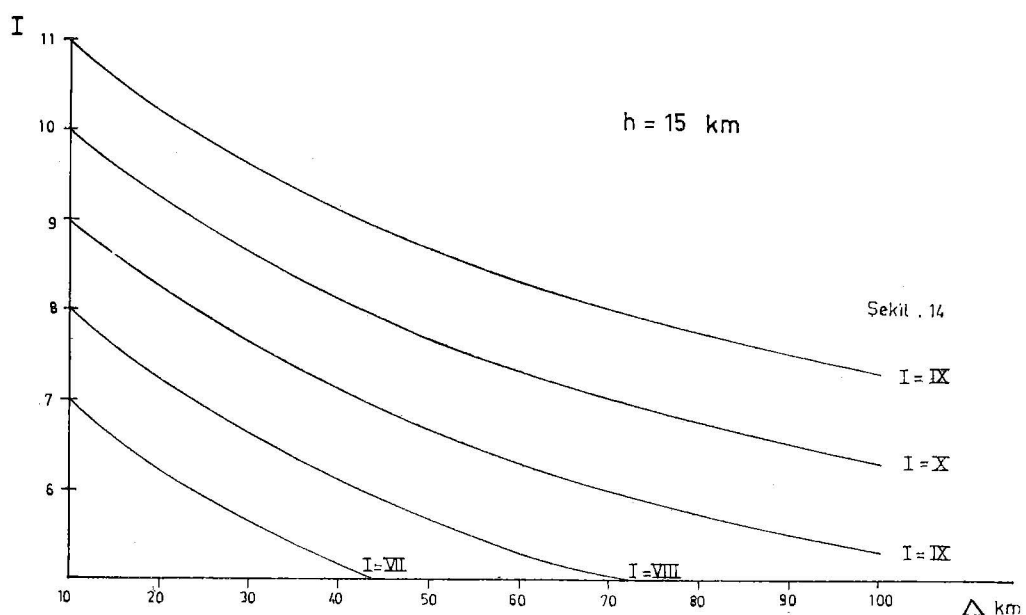
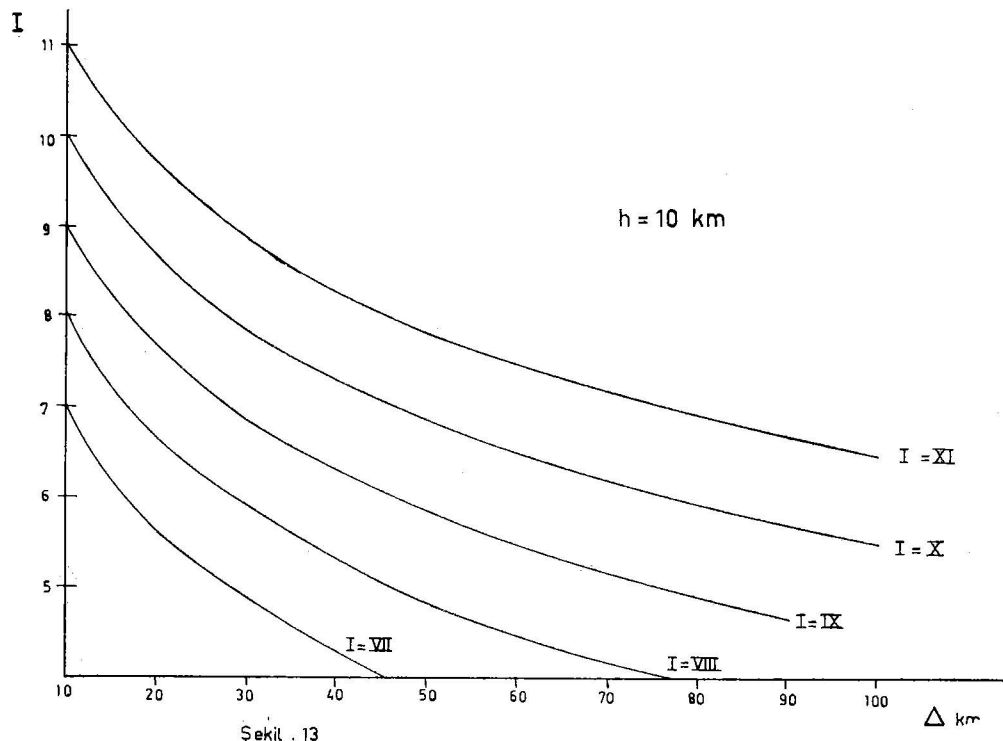


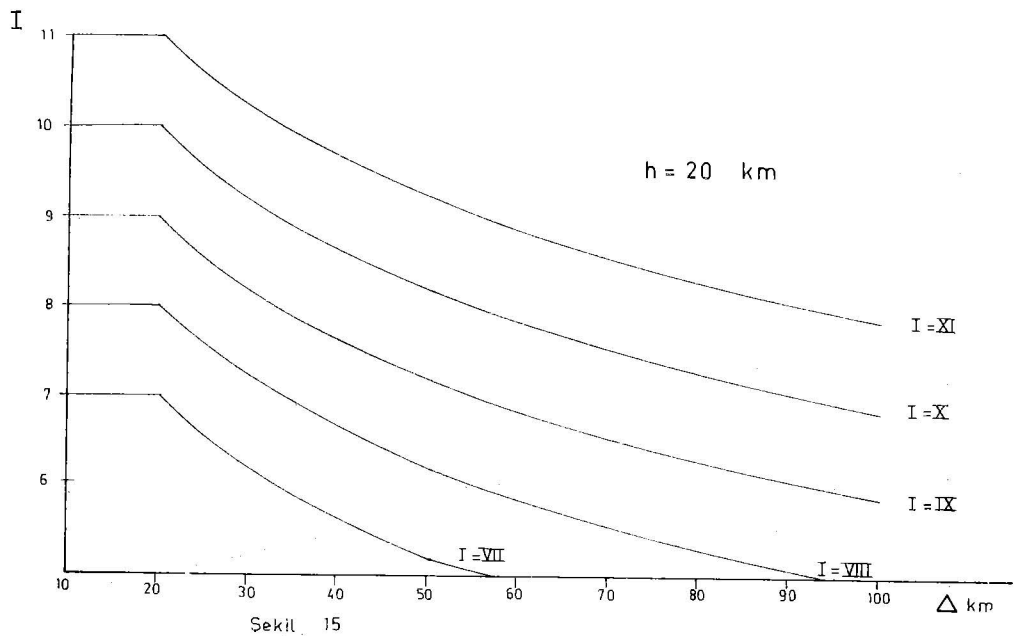
$$I_{\Delta} = \frac{I_o}{r^2} = \frac{I_o}{h^2 + \Delta^2}$$

Episandrda  $h = \Delta$  dir.

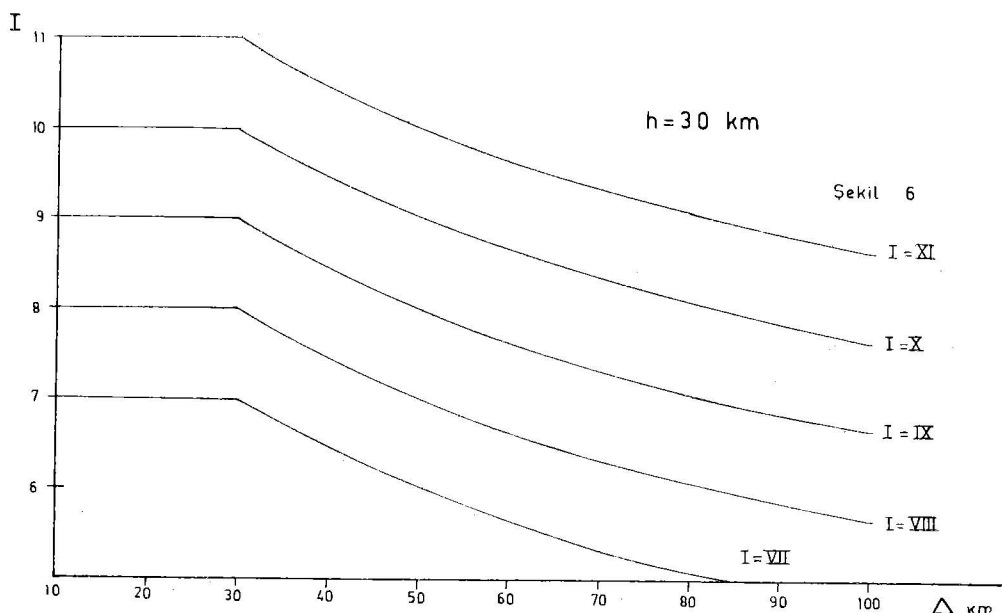
x( $\Delta$ )	o	h/2	h	2 h	3 h	5 h	10 h
$I_{\Delta}$	$I_E$	$4/5 I_E$	$1/2 I_E$	$1/5 I_E$	$1/20 I_E$	$1/25 I_E$	$1/100 I_E$
$I_E$ nin yüzdesi olarak	100	80	50	20	10	4	1

$$a = \frac{1230 e^{0.8 M}}{(R + 25)^2} \quad (\text{cm/sn}^2, \text{Orta sıkılıkta zemin için, sert kil ve kom-}\dots \text{pakt konglomera}) \quad \dots \dots \text{Estava}$$





Sekil : 13 - 14 - 15 - 16      Siddetin mesafe ile azalimlerini gösteren nomogramlar



$$a = \frac{0.8 M}{(R + 25)^2} e \quad (g, \text{ yukarıdaki tip zeminler için yerçekimi ivmesinin yüzdesi olarak}) \dots \text{Estava}$$

$$a = \frac{0.8 M}{2000 e} \quad (\text{cm/sn}^2, \text{ sert zeminler için}) \dots \text{Estava}$$

$$(R + 25)^2$$

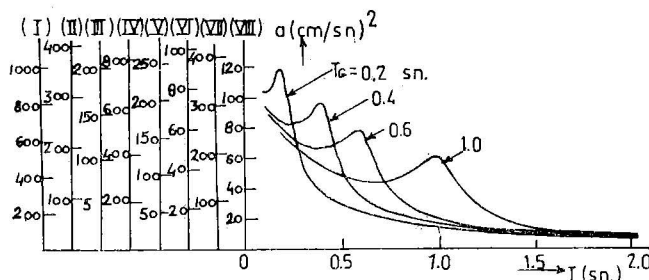
$$a = \frac{0.5 M}{1080 e} \quad (\text{cm/sn}^2, \text{ kaya üzerinde 20 feet ya da daha fazla kalınlıkta bir dolgu olduğunda}) \dots \text{Estava}$$

Burada  $R = \sqrt{\Delta^2 + h^2 + 20^2}$  dir.

K. Kanai tarafından verilen formül de aşağıdaki gibidir.

$$a_{\text{maksimum}} = \frac{5}{\sqrt{T_G}} 0.61 M - (1.66 + \frac{3.6}{x}) \text{ Log } x + (0.167 - \frac{1.83}{x})$$

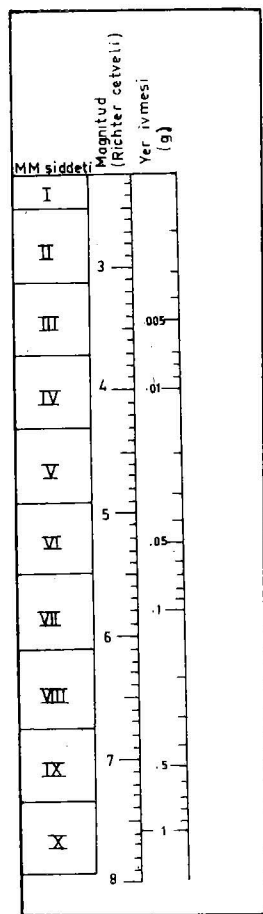
Burada  $T_G$ , mirotremor kayıtlarının değerlendirilmesi sonucunda elde edilen zeminin baskın titresim periyoduudur.  $x$  ise hiposantr uzaklığıdır. km. Bu formüle göre hesaplanmış spektrumlar Şekil 17 de verilmiştir.



Şekil: 17. Yüzeye hesaplanılmış ivme spektrumları.

İndirgenmiş (Mercalli (MM) şiddeti ile Magnitüdü ve yer ivmesi arasında başka bir bağlantı da Şekil 18. de verilmiştir.

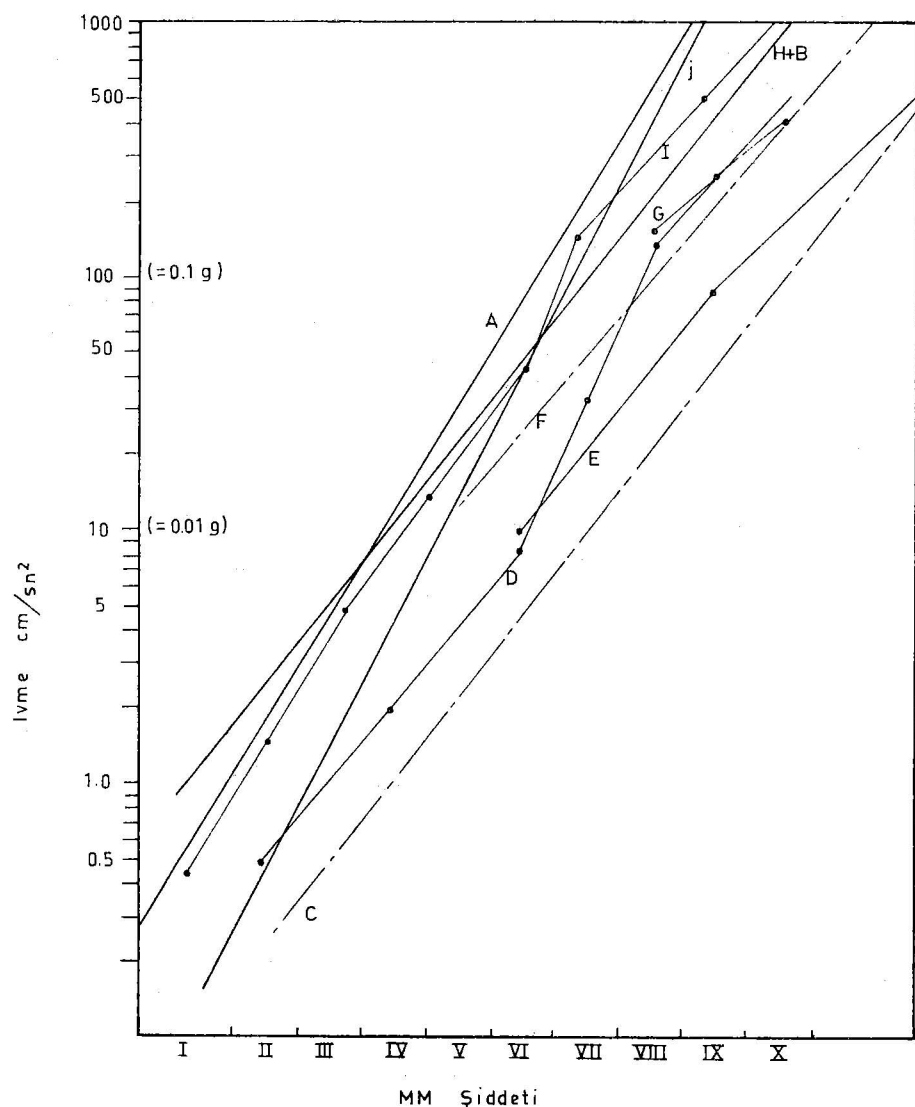
MM şiddeti ile ivme arasındaki bir başka bağlantı da Şekil 19. da gösterilmiştir.



Sekil : 18 MM siddeti ile Magnitüd ve Yer ivmesi arasındaki bağlantılar

MM siddet gizelgesi Wood ve Neuman (1931) den alınmıştır.

Magnitüd ve İvde değerleri A.B.C. Atomik Enerji Komisyonundan (Nükleer Reaktör ve Depremler TID - 7024) alınmıştır.



Şekil 19 MM Şiddeti ile ivme arasındaki ilişkiler.

- |                              |                         |
|------------------------------|-------------------------|
| A = Hershberger (1956)       | F = Medvedev... (1963)  |
| B = Gutenberg-Richter (1942) | G = N.2. Draft by-Low   |
| C = Cancani (1904)           | H = TID -7024 (1963)    |
| D = Istimoto (1932)          | I = Kawasumi (1951)     |
| E = Savarensek Kirnes (1955) | j = Peterschmitt (1951) |

#### **IV.6. Magnitüd - Frekans Bağlantısı**

Bu bağlantı için Gutenberg - Richter tarafından verilmiş aşağıdaki gibi bir istatistik denklem vardır.

$$\text{Log } n(M) = (a - b M)$$

Bu denklemin integre edilmesiyle, belirli bir değerden büyük  $M$  değerleri için kümülatif frekans dağılımı elde edilmektedir.

$$\text{Log } N(M) = a' - \text{Log} (b \ln 10)$$

Burada  $a$  ve  $a'$  parametreleri, her sismik bölge için sismisite değerlerine ve incelenilen periyod aralığına bağlıdır.  $b$  ise, incelenilen zaman aralığına bağlı olmayıp, her bölgenin tektonik özellikleriyle doğrudan doğruya ilgilidir ve sismotektonik parametre olarak tanımlanır.

Bu konuda, yazarlarca Türkiye için yapılmış ayrıntılı bir çalışma sonuçları EK I. de verilmiştir.

#### **IV.7. Fay Uzunluğu ve Deformasyon Alanı İle İlgili Bağlantılar**

Bu konuda yapılmış pek çok çalışma sonucunda belirli bölgeler için ortaya konulmuş çeşitli bağlantılar vardır. Bunlardan birkaç tanesi burada verilmiştir.

Oluşan fay uzunluğunu veren bağlantı :

$$\text{Log } L = 1.32 M - 7.99 \quad \dots \text{ K. İida}$$

Yer hareketlerinin önemli yer değiştirmeye sebep olabileceği alan ise ( $\text{cm}^2$  olarak) Beckhemer tarafından şu denklemle verilmiştir.

$$\text{Log } F = 0.45 + 1.7 \quad (5.5 \leq M \leq 8 \text{ için})$$

$$\text{Log } E = 1.2 \text{ Log } F + 6.8 \quad (\text{Bath'in Log } E = 7.2 + 2.0 M \text{ formülü kullanılarak bağlantı bulunmuştur})$$

Yukarda bölgeler halinde incelenen parametrelerden Magnitüd - Şiddet - Enerji ve İvme - Magnitüd arasındaki bağlantıları gösteren bir nomogram Şekil 20. de verilmiştir.

#### **IV.8. Deprem Hareketinin Hakim (Baskın) Periyodu - Magnitüd ve Episantr Arasındaki Bağlantılar**

Seed, Idris ve Kiefer tarafından verilen bir bağlantı, Şekil 21 de verilmiştir. Adı geçen yazarlar, episantr bölgesini 40 km. olarak kabul etmişlerdir.

#### **IV.9. Zeminlerin baskın Periyodu - Deprem Hareketinin Periyodu ve Tabaka Kalınlığı Arasındaki Bağlantılar**

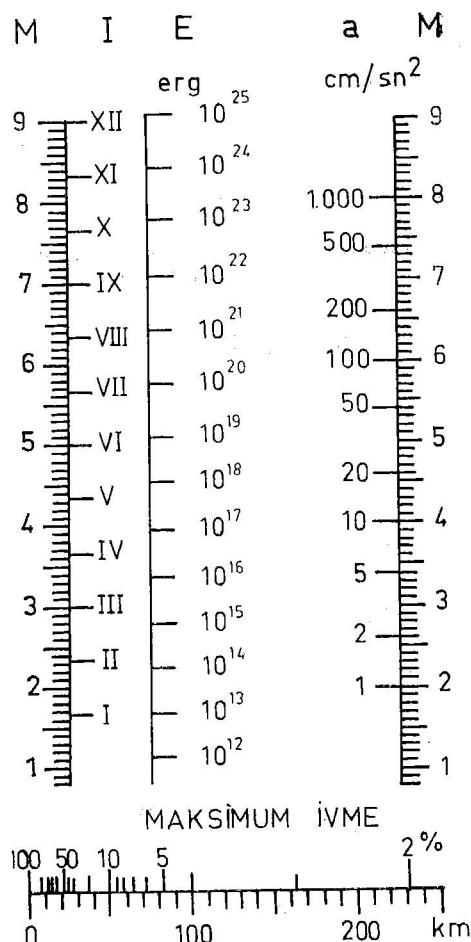
Mikrotremor kayıtlarından elde edilen zeminlerin baskın periyodlarıyla, şiddetli deprem hareketlerinin kayıtlarından bulunan periyodlar birbirleriyle iyi bir uygunluk göstermektedirler. Şekil 22 de, Y. Ohsaki ve O. Sakaguchi tarafından verilmiş bağlantılar gösterilmiştir.

#### IV.10. Şiddetli Deprem Hareketinin Süresi

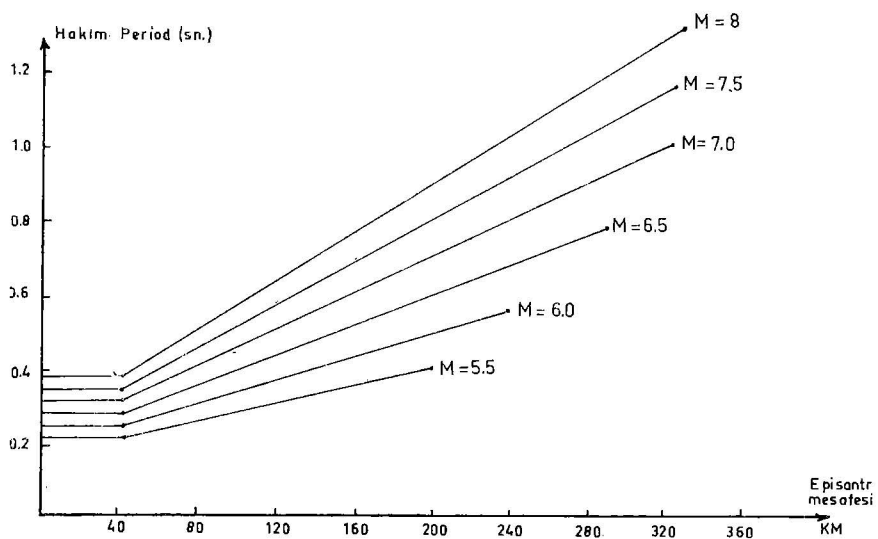
Bu konuda çeşitli çalışmalar sonucu elde edilen formüller vardır. Bunalardan bazıları aşağıda verilmiştir :

$$D = 11 M - 53 \quad (D : \text{Süre, sn}) \quad \dots \text{Housner}$$

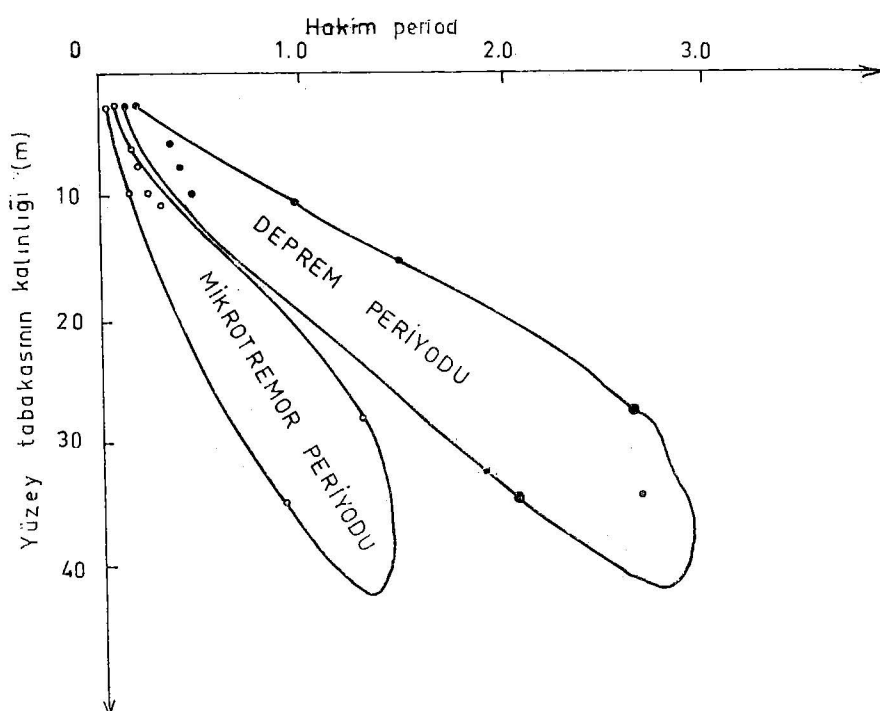
$$s = 0.02 \exp(0.74 M) + 0.3 r \quad (r : \text{Ocak uzaklıği, s : Süre, sn}) \dots \text{Ezta-} \\ \text{Rosenblueth}$$



Şekil : 20 Magnitüd-Siddelet-Enerji ve İvme-Magnitüd arasındaki bağlantılar



**Sekil : 21 Deprem hareketinin hakim periyodu, Magnitüd ve Episantır uzaklıği arasındaki bağlantılar**

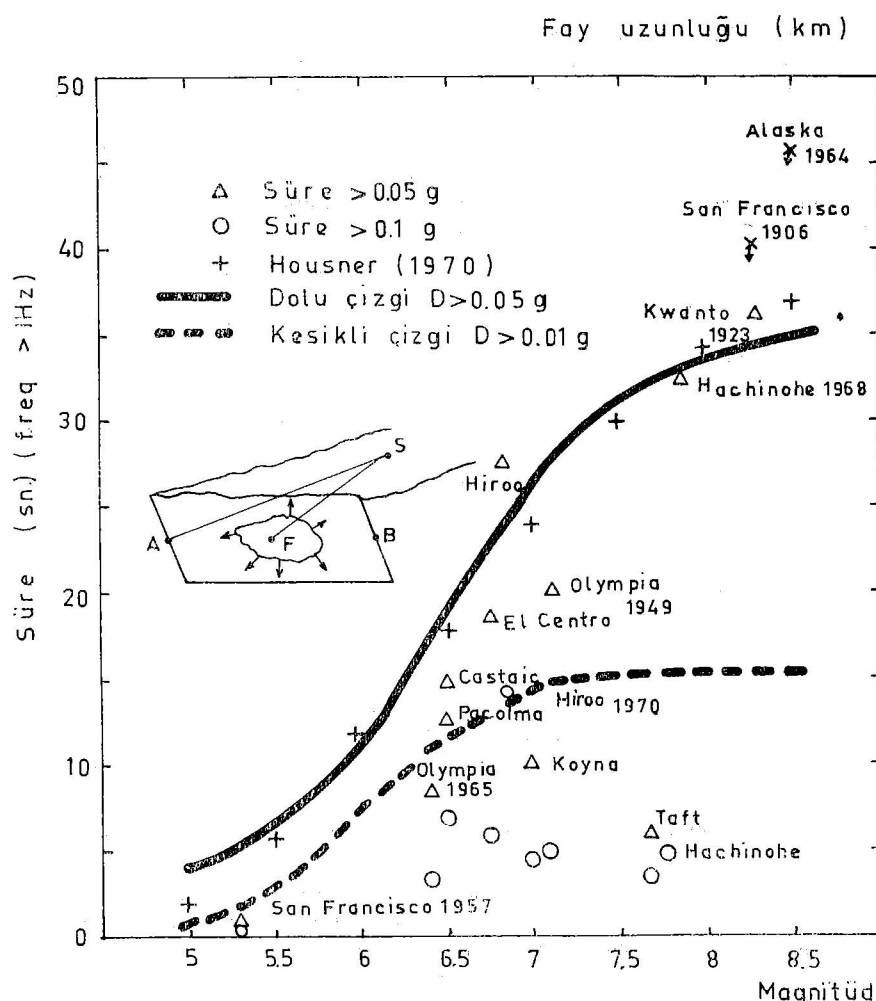


**Sekil : 22 Deprem ve zemin periyodlarıyla tabaka kalınlıkları arasındaki bağlantılar**

Magnitüd ve şiddetli deprem hareketinin süresi arasındaki bağlantılarından bir tanesi Sekil 23. de verilmistir.

$\log t_{30} = 0.50 M - 2.08$  (Deprem hareketinin 30 gali aşan ivmeler için süresi) ..... Y. Kobayashi

Magnitüd	Housner	Kobayashi
8.0	34	83
7.5	30	47
7.0	24	26
6.5	18	15
6.0	12	8

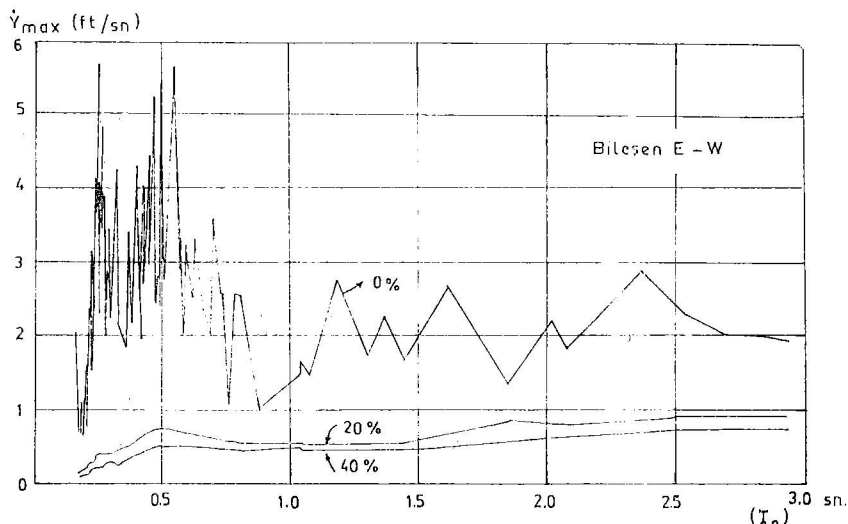


Sekil : 23 Şiddetli deprem hareketinin süresi ile Magnitüd arasındaki bağlantılar

## BÖLÜM V. SİDDETLİ ZEMİN HAREKETLERİNİN ÖZELLİKLERİ

### V.1. Deprem Spektrumları

Birçok hallerde yapının dinamik karşı gelme (mukabele) sınırın hesaplanması mümkün olmayabilir. Bu gibi hallerde yapı dizaynında bu tür hesaplamlar, kaydedilmiş çeşitli deprem zemin hareketi ve yapıların dinamik özelliklerine göre hesaplanmış «mukabele» spektrumları yardımcı ile yapılabilir. Bir deprem zemin hareketinin mukabele spektrumu, tek serbestlik dereceli ve sönümlü titresim sistemlerinin, verilen depremin ivmesiyle etkilenmesi halinde yaptıkları maksimum mukabeleyi, gösteren bir eğridir. Başka bir deyişle, tek serbestlik dereceli ve sönümlü titresim sistemlerinin bir zemin hareketiyle etkilenmesi sonucunda gösterdiği değişimleri belirleyen eğriye «Mukabele Spektrumu» denilmektedir. Burada maksimum mukabele, yapının bir deprem hareketi etkisindeyken, ivme, hız ya da yerdeğiştirmelerinin, hareketin süresi içindeki en büyük değerleridir. Hesaplanan deplasman, hız ya da ivme değerlerinin maksimumları alınarak noktalanan ve bu işlem, sönüm ve titresim periyodu farklı olan sistemler için tekrarlanarak bir eğri seti elde edilir. Bu eğri setlerinde her bir nokta, titresim periyodu ve sönümlü bilinen bir yapının, belli bir depremde yapacağı maksimum deplasman, hız ya da ivmeyi göstermektedir. Bir örnek olmak üzere 24. de, El ve Centro Depreminin hız spektrumu verilmiştir.



Sekil : 24 30 Aralık 1934 El Centro depreminin hız spektrumu

Eğri setlerinin incelenmesi halinde, hareketin bazı periyodlarda oldukça büyük değerlere ulaştığı görülecektir. Bu periyod ya da periyodlar bölgesi, zeminin hakim periyodu olarak tanımlanmaktadır. Uzak ya da yakın depremlerin etkisi, bu zemin hakim periyodunun değişikmasına neden olabilmektedir. Periyodu, eğri üzerinde büyütmenin fazla olduğu bölgeye düşen bir yapının, rezonans nedeniyle daha şiddetli bir hareketin ve büyük bir deprem kuvvetinin etkisi altında kalacağı belli gindir.

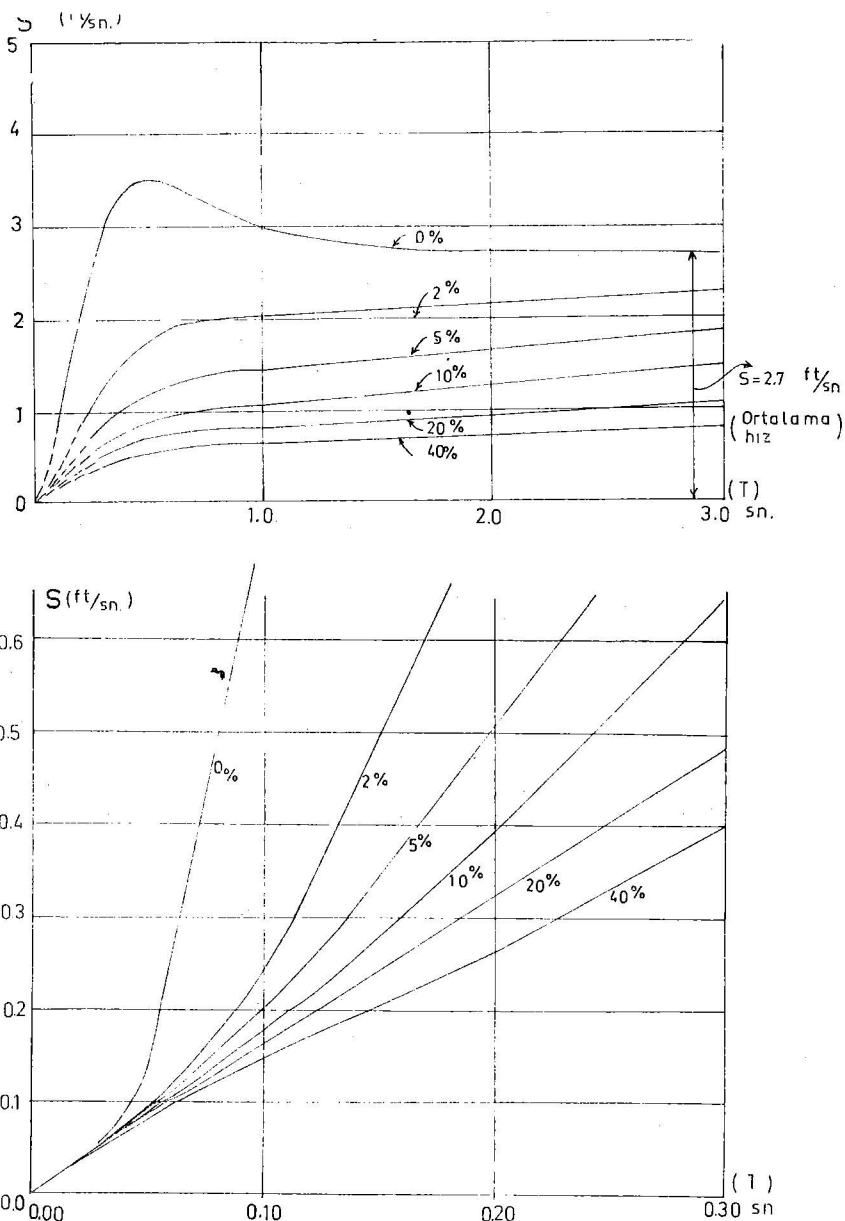
Hız spektrumları belirli özelliklerini ortaya koymaktadır. Bunlar aşağıdaki gibi özetlenebilir.

1. Sıfır sönüme sahip eğrilerde çok dik titresimler görülmektedir. Bu, titresim periyodundaki küçük değişimlere karşı mukabelenin çok duyarlı olduğunu göstermektedir. Orta miktarda sönüümün sisteme dahil edilmesi, küçük periyod değişimlerine karşı mukabeleyi daha az duyar bir duruma getirecektir.
2. Az miktarda bir sönüüm, sistemin maksimum mukabelesinde özellikle kısa periyodu titresimlerde büyük bir azaltma yapmaktadır.
3. Episantra oldukça yakın uzaklıkta kaydedilmiş zemin hareketleri için olan spektrumlarda, büyük magnitüdü depremlerin spektrumuyla, küçük magnitüdü depremlerin spektrumu arasında farklılıklar görülmektedir. Küçük magnitüdü depremler, büyük magnitüdü depremlere göre kısa periyod bölgesinde çok pik vermektedir ve sönüümün etkisi önemli olmamaktadır.
4. Uzun periyodlu dalgalarla oranla kısa periyodlu sismik dalgalar, episantr'dan olan uzaklıkta daha çabuk sönmektedirler. 0.5 sn. den küçük periyodlar için olan spektrum değerlerinin, 1.0 sn. den büyük periyodlar için olan değerlere göre daha belirgin bir şekilde uzaklıkla azaldığı ortaya konmuştur.
5. Episantr'dan orta uzaklıkta olan büyük magnitüdü depremlerin spektrum eğrilerinin aynı biçimde sahip olduğu belirlenmiştir.

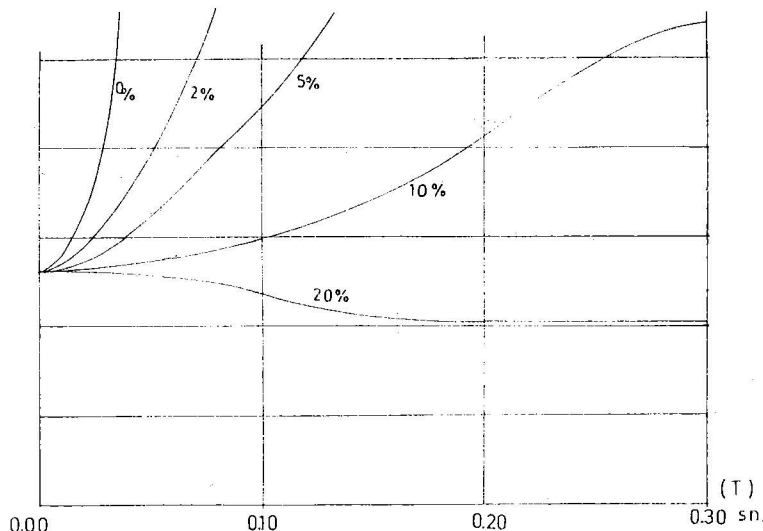
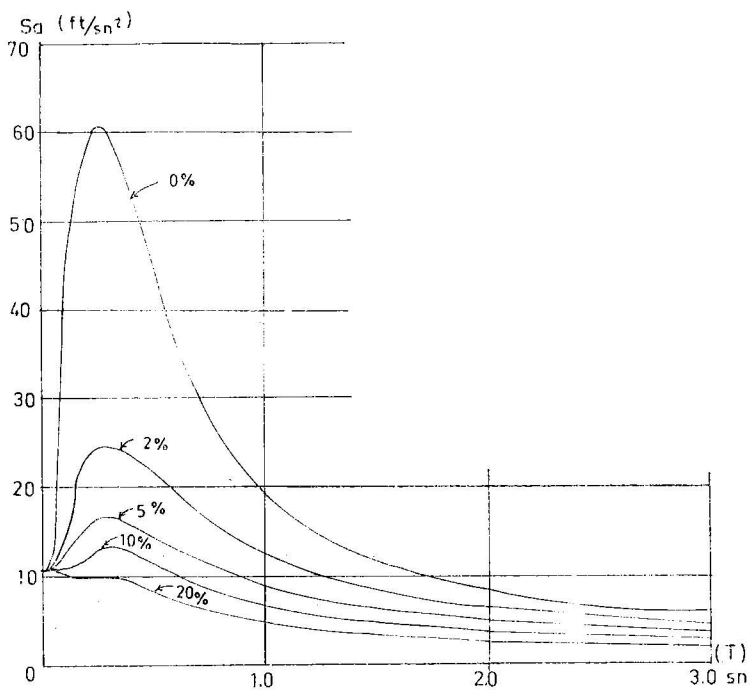
Cok sayıda deprem için spektrumlar Housner ve grubunca hesaplanmıştır. 30 Aralık 1934 El Centro, Kalifornia - 18 Mayıs 1940 El Centro - 13 Nisan 1949 Olimpia, Washington ve 21 Temmuz 1952 Taft, Kalifornia Depremlerine ilişkin spektrumlar hesaplanarak ortalamaları alınmıştır. Bu eğrilerle, episantr'dan orta uzaklıkta büyük magnitüdü depremler için, Ortalama Deplasman, Hız ya da İvme Spektrumları denilmektedir. Şekil 25 ve 26. da sırasıyla, Housner tarafından verilmiş Ortalama İvme ve Hız Spektrumları verilmiştir.

Göründüğü üzere ortalama spektrumlar yuvarlatılmış bir durum göstermektedirler, oysa az sönümlü esas eğri oldukça büyük, gelişigüzel bir değişim göstermektedir. Ortalama spektrum eğrileri, sistem belli bir şiddetteki yer hareketiyle etkilendiğinde, beklenilecek ortalama maksimum mukabeleyi verecektir.

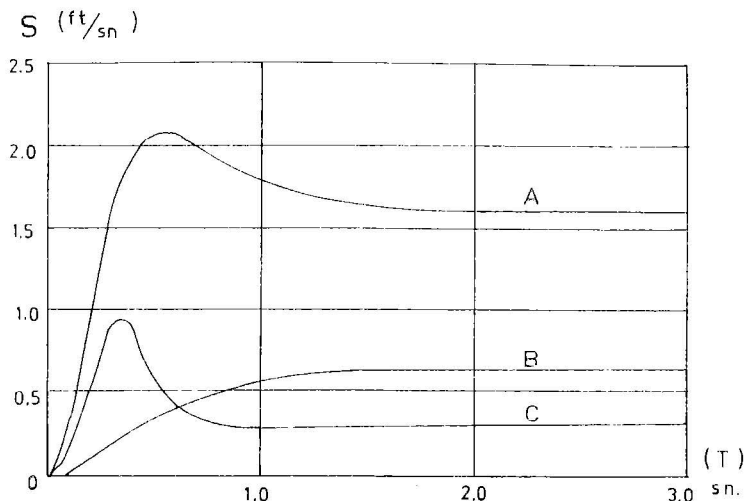
Spektrum eğrilerinin biçimini episantr'dan olan uzaklıkla değiştirmektedir. Yukarıda verilen spektrumlarda tüm noktalar şiddetli depremin episantrına orta uzaklıkta, yani yaklaşık 70 km. içersindedirler. Bu tür depremlerden uzak mesafelerde, spektrumun kısa periyod kısmı oldukça basiktır ve düşük frekanslı dalgalarla göre yüksek frekanslı dalgalar uzaklıkla daha fazla zayıflamaktadır. Öte yandan, şiddetli olmayan bir depremin episantrına oranla yakın noktalarda, yaklaşık 35 km. içersinde, sektrumun kısa periyod kısmı oldukça belirgindir. Başka bir deyişle, yakın depremleide kısa periyodlu hareketler daha baskın olurken, büyük uzaklıklarda uzun periyodların bölgesindeki hareket daha büyük olmaktadır. Şekil 27. de bu durumu belirleyen spektrumlar verilmiştir.



Şekil 25 Üstte : Ortalama hız spektrum eğrileri  
Altta : » » » eğrilerinin  
detaylı olarak ifadesi. (El Centro 1940)



Sekil 26 Üstte : Ortalama ivme spektrum eğrileri  
 Altta : » » » » eğrilerinin  
 detaylı olarak ifadesi. (El Centro 1940)

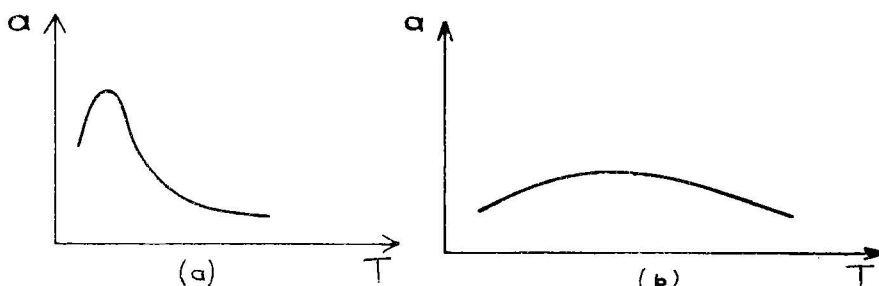


Şekil : 27 Sıfır sönümülü hız spektrum eğrileri

A : 40 km. uzakta şiddetli deprem ( $M=7.7$ ) { 21 Temmuz 1952  
B : 110 " " " " " } Tehachapi Depremi.

C : 13 " " küçük " (  $M=5.3$  ) 22 Mart 1957 San  
Francisco Depremi

Siddetli zemin hareketi ve dolayısıyla spektrumların dinamik özellikleri bir ölçüde de yerel zemin koşullarıyla ilgilidir. Yerel zemin koşulları kaba bir sınıflandırmaya, (a) sağlam kaya ya da çok sert zeminler ve (b) gevşek alüvyon ve yeraltı su düzeyi yüksek yumuşak zeminler olmak üzere ikiye ayırlabilir. Bu cins zeminlerde alınan şiddetli zemin hareketinin spektrumları aşağıdaki biçimde olmaktadır.



Genel olarak yumuşak zeminlerde kaydedilen harenetin baskın periyodu daha uzun olmaktadır. Ayrıca bu tip zeminlerde, harenetin genliklerinin yüksek olduğu periyodlar daha geniş bir bölge içersinde bulunmaktadır. Başka

bir deyişle, zeminin baskın periyod bölgesi genistir. Öte yandan sert sayılan zeminlerde ise, baskın periyod daha belirgin ve baskın periyodların bölgesi çok daha sınırlı olmaktadır. Bu durum sonucu, zeminin hangi tip bir spektruma sahip olduğunu saptanması gerekmektedir. Bu, yapıya gelebilecek yatay kuvvetlerin bulunması için ne tip bir spektrum kullanılması gerekeceğini ortaya koyacaktır.

**Spektrum Siddeti :** Yer hareketine yapının maksimum «mukabelesi» en iyi hız spektrum eğrileriyle belirlenmektedir. Çünkü hız spektrum eğrilerinde yapı periyodunun etkisi hemen hemen yok denilecek kadar azdır. Bu nedenle, bu eğrinin kapsadığı alan, yer hareketinin şiddetinin bir ölçüsü olarak kabul edilmektedir. (SI) spektrum şiddeti, uygun sönümlü oranı hız spektrum eğrisinin kapsadığı alan olarak tanımlanır. Diğer bir deyişle spektrum şiddeti, yerin n sönümlü ve 0.1 - 2.5 sn. periyoduyla titrestirdiği yapılarda şiddet ölçüsüdür.

2.5

$$(SI) \xi = \int_{0.1}^{2.5} S(I, \xi) dT \quad \xi = \text{Sönüüm}$$

Yukardaki denklem, periyodu 0.1 - 2.5 sn. arasında olan titregimlerde yapıya gelebilecek zemin hareketi etkisinin bir ölçüsü olmaktadır. Bu periyod aralığı, deprem bölgelerindeki yapıların periyodlarını kapsamaktadır. Burada şu noktanın belirlenmesi gerekmektedir. Spektrum şiddeti, belli bir yer hareketiyle etkilenen elastik yapılarda oluşan maksimum stresin objektif bir ölçüsüdür. Modifiye Mercalli Siddeti ya da öbür şiddet tanımları ise, yer hareketi sonucunda yapılarda oluşan hasar derecesinin subjectif bir ölçüsüdür.

Tablo 4. de, kaydedilmiş şiddetli deprem hareketlerinin her iki bileşeni için sıfır sönümlü spektrum şiddetleri verilmiştir.

Her iki bileşenin ortalaması ve ayrıca bir karşılaştırma yapabilmek için de yine her iki bileşenin % 20 kritik sönümlü spektrum şiddetlerinin ortalaması verilmiştir. Tablodan görüldüğü üzere, sıfır sönümlü spektrum şiddetlerinin oranı, % 20 kritik sönümlü şiddetlerin oranıyla aynı değildir. Bunun nedeni şu şekilde belirtilmektedir. Sönümlü şiddetler, kaydın en büyük ivme kısmının bir ölçüsüdür ve yer hareketinin süresi bu şiddeti etkilemez. Öte yandan, sıfır sönümlü şiddet, gerek yer hareketinin süresi ve gerekse ivmenin büyüklüğünün bir ölçüsü olarak belirlenmektedir.

Burada verilen ortalama spktrum eğrilerinde sönümlü şiddetler, 1940 El Centro Depreminin ortalamasıyla uygunluk gösterecek bir şekilde ölçeklendirilmişlerdir. Sönümsüz bir yapının davranışlarının incelenmesi istenildikçe, diğer şokların ölçeklendirilmesinde % 20 sönümlü spktrum şiddetleri kullanılmalıdır.

Aşağıdaki ilişki, 0.2 sönümlü şiddetle, sönümsüz şiddet arasındaki yaklaşık amprik bir ilişkiye göstermektedir.

$$SI_{0.2} = 0.444 (SI_o) - 0.0124 (SI_o)^2$$

$$a_g = SI_{0.2}/10$$

T A B L O — 4

## KAYDEDİLMİŞ YER HAREKEİTLERİNİN SPECTRUM SIDDETLERİ

No.	Yer	D	h	Magnitude	Bileşen	Spektrum Siddetleri SI <sub>o</sub> SI <sub>o<sup>2</sup></sub> Ort. Ort.	Max. İyine (gal)	Süre (Sec.)		
1a	El Centro, Kalif.	30	15	7.0	NS	8.94	8.35	2.71	0.33	24
1b	Mayıs 9, 1940				EW	7.77			0.23	
2a	El Centro, Kalif.	25	15	6.5	NS	5.93	5.88	2.09	0.26	16
2b	Aralık 30, 1934				EW	5.93			0.20	
3a	Olimpia, Wash.	25	45	7.1	S80W	6.05	5.82	2.21	0.31	23
3b	Nisan 13, 1949				S10E	5.59			0.18	
4a	Taft, Kalifornia	40	15	7.7	S69E	4.84	4.69	1.91	0.18	17
4b	Temmuz 21, 1952				N21E	4.53			0.17	
5a	Vernon, Kalifor.	28	15	6.3	S82E	4.9	4.62	1.70	0.19	6
5b	Mart 10, 1933				N08E	4.35			0.13	
6a	Santa Barbara, Kal	15	19	5.9	S45E	3.43	3.29	1.80	0.24	5
6b	Haziran 30, 1941				N45W	3.15			0.23	
7a	Ferndale, Kalif.	50	15	6.4	N45E	3.2	2.99	1.41	0.13	5
7b	Ekim 3, 1941				S45E	2.78			0.12	
8a	L.A. Metro İst.	33	15	6.3	N51W	3.21	2.94	0.82	0.065	6
8b	Mart 10, 1933				N39E	2.67			0.04	
9a	Seattle, Wash.	55	45	7.1	N88W	2.81	2.63	1.10	0.075	23
9b	Nisan 13, 1949				E02W	2.46			0.058	
10a	Hollister, Kalif.	10	15	5.3	S01W	2.44	2.36	1.27	0.23	5
10b	Mart 9, 1949				N89W	2.29			0.11	
11a	Helena, Montana	15	25	6.0	EW	2.49	1.82	1.02	0.16	4
11b	Ekim 31, 1935				NS		1.16		0.14	
12a	Ferndale, Kalif.	35	10	5.5	N45E	1.64	1.45	0.64	0.082	5
12b	Eylül 11, 1938				S45E	1.27			0.16	

13a	Vernon, Kalifor.	17	15	5.3	S82E	1.65	1.32	0.69	0.12	4
13b	Ekim 2, 1933				N08E	0.99			0.085	
14a	Ferndale, Kalifor.	75	15	6.6	N45E	1.31	1.10	0.40	0.075	—
14b	Şubat 9, 1941				S45E	0.88			0.04	
15a	L.A. Metro İst.	22	15	5.3	N39E	1.14	0.96	0.45	0.065	4
15b	Ekim, 2, 1933				N51W	0.78			0.060	
16a	Golden Gate Park	8	7	5.3	S80E	1.04	0.84	0.49	0.13	3
16b	(S.F.) Mart 22, 1957				N10E	0.64			0.095	
17a	S.F. Hükümet binası	10	7	5.3	S9E	1.29	1.12	0.58	0.10	—
17B	Mart 22, 1957				S81W	0.95			0.60	
18a	S.F. Alexander bin.	11	7	5.3	N81E	0.50	0.48	0.28	0.05	—
18b	Mart 22, 1957				N9W	0.45			0.05	
19a	So. Pasific binası	11	7	5.3	N45E	1.32	1.22	0.48	0.05	—
19b	(S.F.) Mart 22, 1957				N45W	1.12			0.046	
20a	Oakland, Kalf.	17	7	5.3	N26E	0.46	0.38	0.2	0.05	—
20b	Mart 22, 1957				S64E	0.29			0.04	
21a	Hueneme Limanı, Kal.	2 ±	5 ±	5.	NS	2.55	2.05	1.27	0.17	1
21b	Mart 18, 1957				EW	1.55			0.09	

g : Yerelkimi iyimesi.

D : Episantır uzaklığı, Mil.

Süre olarak, yer hareketinin en şiddetli fazına iliskin süre alınmıştır.

Mağnitüd değerleri, California Teknoloji Enstitüsü Sismoloji Laboratuvarından almıştır.

Burada  $a_g$ , yerçekimi ivmesinin yüzdesi olarak kaydedilen maksimum ivmedir.

Sönümsüz spektrum şiddeti ile enerji arasındaki ilişki de aşağıda verilmiştir.

$$E = 1.9 \times 10^{18} (SI_o)^2 \left( \frac{h^2 + r^2}{h_o^2} \right)^2$$

Burada :

$h$  : Fayın derinliği, mil

$h_o$  : 15 mil

$r$  : Episantr uzaklığı, mil

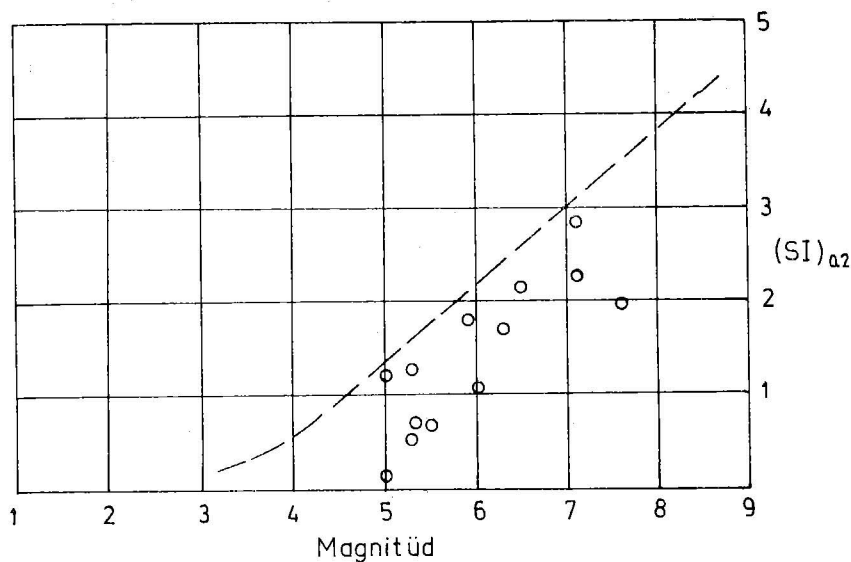
Magnitüdle, süönümsüz spektrum şiddeti arasındaki ilişki ise şu şekilde verilmektedir.

$$0.054 M^2 = 2.1 M + 8.88 + 2 \operatorname{Log} \left( SI_o \frac{h^2 + r^2}{h_o^2} \right) = 0$$

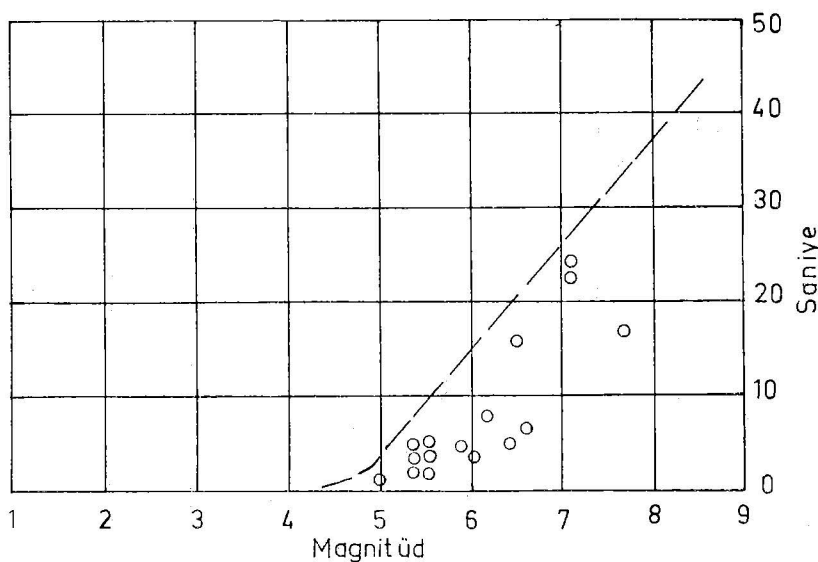
Ancak yukarıda verilen ilişkilerde, ayrıntılı yerel jeoloji ve fay bölgesinin boyutlarının göz önüne alınmaması dolayısıyla, ilişkiler gözlem sonuçlarıyla kararlaştırıldığında epeyce bir dağılım beklenmelidir.

Tablo 4. de verilen doneler kullanılarak, birbirleri arasında elde edilen ilişkiler Şekil 28 a.b.c. ve d. de gösterilmiştir. Şekil 28 a.b. ve c. de kesik çizgili hat üst sınırı göstermektedir. Bu hatta yakın olarak gözüken noktalar, hareketi meydana getiren faya yakın olarak alınan ölçülerdir.

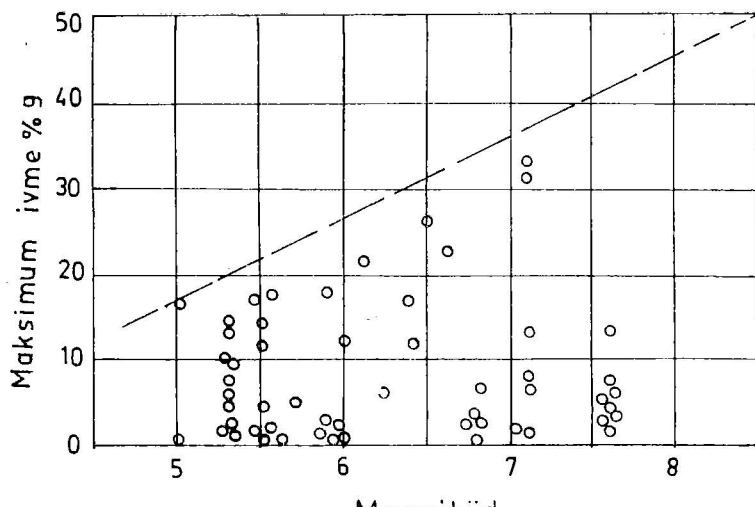
Şekil : 28 Tablo 4. deki donelere göre elde edilmiş ilgikiler



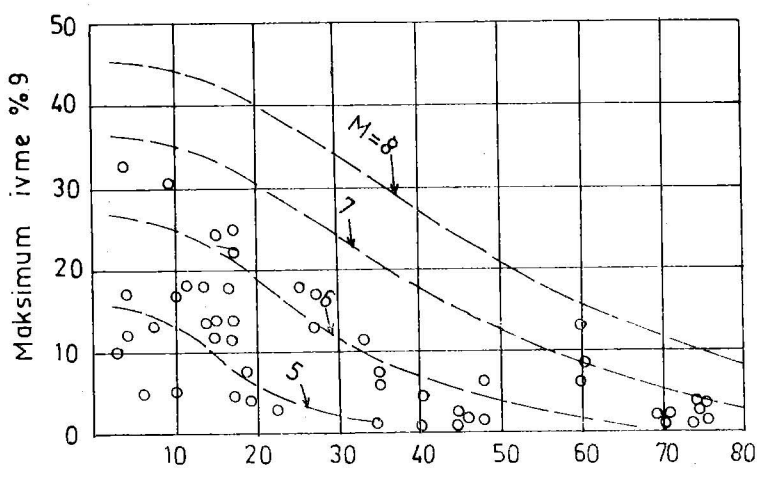
a. Spektrum şiddet - magnitüd



b. Siddetli hareketin süresi



c. Maksimum ivme - Magnitüd



d. Maksimum ivme - mesafe

## E K I.

# TÜRKİYE'DE 1900 - 1970 YILLARI ARASINDA OLUŞMUS DEPREMLERİN İSTATİSTİK ANALİZLERİ

### I. Giriş

Sismotektonik, Sismoloji ve Tektonik'in bağımsız bir dalı olaraq anımlanabilmektedir. Her iki bilim dalını kapsayan Sismotektonik, bu yöntemlerden elde edilen donelerin birlikte kullanılmasıyla sonuca varmaktadır. Sismotektonik yöntemin esas amacı, deprem merkezlerinin jeolojik durumlarını saptamak ve sahadaki sismite parametrelerini hesaplamaktır. Elde edilen parametrelere daha sonra, gelecekte beklenen depremlerin tahmin edilmesi konusundaki hesaplamlarda kullanılırlar.

Deprem olusunun önceden belirlenebilmesi aşağıda verilen konuları kapsamaktadır.

- a) Gelecekte beklenen depremleri oluşturacak tektonik fay hareketlerinin bulunduğu sismojenik zonların tesbiti,
- b) Gelecekte beklenen depremlerin şiddetleri,
- c) Gelecekte beklenen depremlerin periyodisitesi,
- d) Deprem odaklarının derinliği ve sismojenik bölge yakınındaki şiddet dağılımının sınırlanması.

Sismotektonik yönteme ilgili çalışmalarдан varılan sonuçların, depremlerin sık sık olduğu bölgelerde uygulanması, uygulamada yararlı sonuçlar vermektedir.

Yapı mühendisliği açısından, sismik bölgeleme çalışmaları gereklidir. Sismik bölgelerde yapılacak tüm yapı tipleri için, sismik bölgeleme haritaları, dizayn parametresi olarak nitelenebilir. Bu bölgeleme haritaları, gelecekte beklenen depremlerin nelerde olusacağını göstermesi bakımından önemlidir.

Sismoloji, geçmişte olmuş ve kaydedilmiş depremleri inceleyen bir bilim dalıdır. Sismotektonik ise, gelecekte ne olacağının araştırılmasını kapsayan bir bilim dalıdır. İki bilim dalının yöntemleri arasındaki temel ayrim budur.

#### I.1. Türkiye ile ilgili sismite çalışmaları

Türkiye'nin sismisitesiyle ilgili bir çok çalışma yapılmıştır. Bu konuda ilk çalışma sonuçları Gutenberg-Richter tarafından ortaya konulmuştur. Daha sonraları bir çok araştırma yapılmış ve yayınlanmıştır. Bunlardan bazıları şu şekilde belirtilebilir. Lahn, Pınar ve Lahn, Omote ve İpek, Öcal, Pınar, Bath, Karnik, İpek, Ergin, Tabban ve Alsan.

Ayrıca bu çalışmaların dışında Deprem Araştırma Enstitüsü'nce (İmar ve İskân Bakanlığı) «Türkiye Deprem Bölgeleri Haritası» ve «Afet Bölgelerinde Yapılacak Yapılar Hakkında Yönetmelik» çalışmalarına yardımcı olan bir çok inceleme de mevcut bulunmaktadır.

### I.2. Done kaynakları

$36^{\circ}$  —  $42^{\circ}$  N ve  $26^{\circ}$  —  $45^{\circ}$  E enlem ve boyamlarıyla sınırlanmış alanda kaydedilmiş depremlerin toplanılması için, «Kaynaklar» kısmında belirtilen kataloglardan yararlanılmıştır. Ancak bu kataloglarda, 1900-1970 yılları arasında yeterli bir uyum görülemediğinden, bu araştırmada temel kaynak olarak kullanılmak üzere yazarlaca bir katalog hazırlanmıştır.

Şekil 1. de, temel kaynak olarak kullanılan bu katalogdaki deprem epizantrlarının dağılımı verilmiştir. Afterşoklar katalog kapsamına alınmamıştır. 1900 - 1970 yılları arasında olmuş ve magnitüd  $M \geq 4.3$  olan 1249 deprem hesaplamalarda kullanılmıştır.

Araçsal magnitüd değerlerinin bulunmadığı depremler için, magnitüd değeri,  $I_o$  şiddetinden, yazarların aşağıdaki denkleminin kullanılmasıyla hesaplanmıştır.

$$M = 0.5816 (\pm 0.077) I_o + (1.6207 \pm 0.618)$$

Bu şekilde elde edilen magnitüd değerleri, depremlerin magnitüd dağılımının sınıflanadırılmasında kullanılmıştır.

## II. Depremlerin Alan Dağılımları

### III.1. Türkiye'nin tektoniği

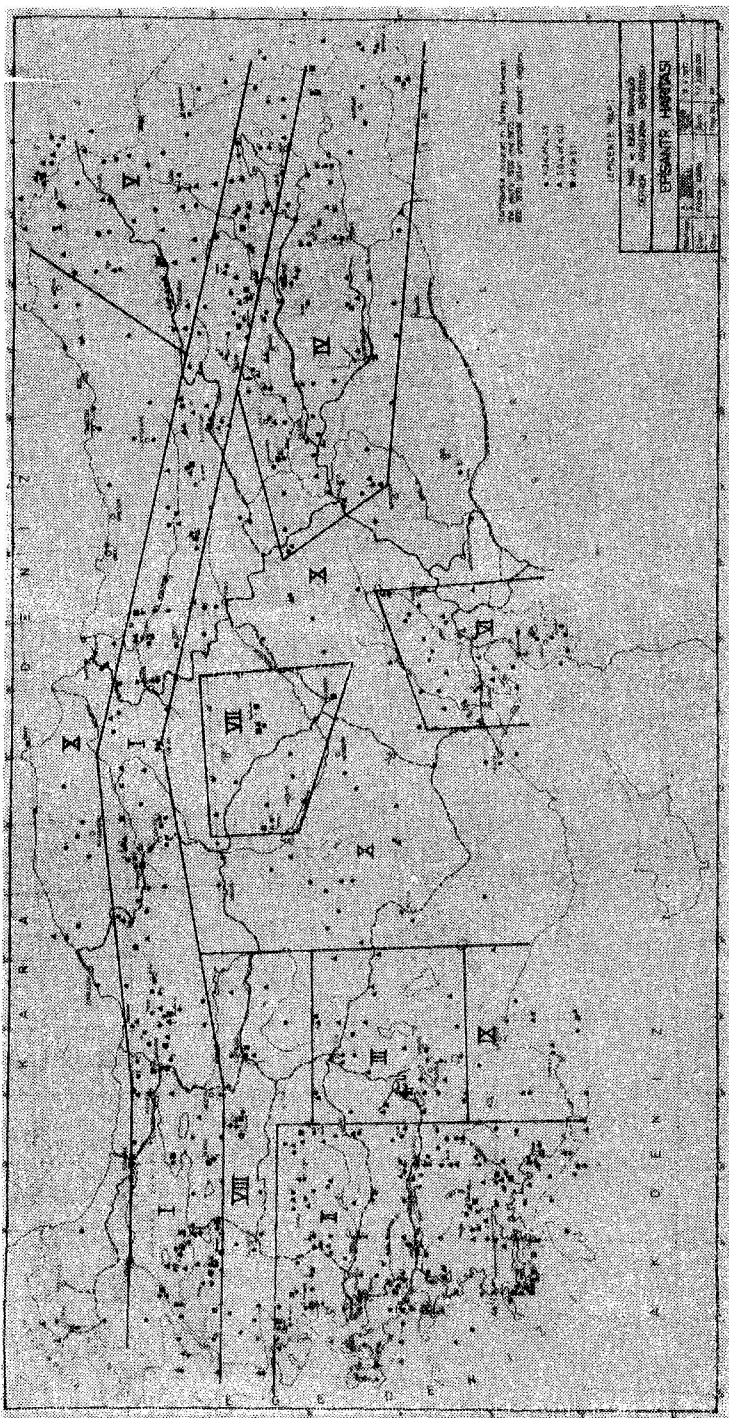
Türkiye, Alp - Himalaya sismik kuşağının üzerinde yer almaktadır. Kuzey Anadolu Fay Fattı, bu tektonik kuşak üzerinde çok etkin bir bölge olarak uzanmaktadır.

Genel olarak Türkiye, Alp kıvrım sistemi üzerindedir. Topografik olarak iki dağ silsilesi batıdan doğuya doğru ülkemizi katetmektedir. Bu lardan bir tanesi Kuzeyde Karadeniz boyunca, öteki de güneyde Akdeniz boyunca görülmektedir. Bu iki esas dağ silsilesi arasında yüksekliği yaklaşık 1.000 m. çevresinde olan Anadolu platosu yer almaktadır. Alp Orijenezinde her iki kıvrımda Kratese devrinde başlamış ve Eosen devrinde son bulmuştur. Orogenik hareketler, kuzeydeki kıvrımda kuzeyden güneye doğru, Güneydeki kıvrımda ise, hareketler güneyden kuzeye doğru oluşmuştur. Anadolu platosu, kristalen sist ve eski plutonik masiflerden ibaret olup bunların üzerrini Eosen, Oligosen ve Neojen devirlerine ilişkin malzemeler örtmüştür. Ülkemizin batı kısmını ise farklı bir yapıya sahiptir.

Orogenik hareketleri epirogenik hareketler izlemiş ve dolayısıyla bu tektonik düzensizlik sonucunda Türkiye'nin morfolojik yapısı oluşmuştur.

Tektonik yapı esas alınırsa Türkiye dört ana deprem bölgесine bölünebilir. Bunlar :

1. Kuzey Anadolu Fay Zonu
2. Batı Anadolu Bölgesi





### 3. Antakya Bölgesi

### 4. Dağınik deprem episantlarını kapsayan bölge

Tektonik durum ve depremlerin dağılımı (1900-1970 seneleri arasında) göz önüne alınarak, Türkiye 10 bölgeye ayrılmıştır. Şekil 1. de episant dağılımlarının yanı sıra bu bölgeler de gösterilmiştir. Tektonik durum ise Şekil 2. de verilmiştir.

### II.2. İncelenilen depremlerin sınıflandırılması

Katalogdan elde edilen veriler, depremlerin yıllık oluşumları ve magnitüdlerine göre 10 bölge için sınıflandırılmışlardır. Bu sınıflama sonuçları Tablo 1. de verilmiştir.

Cesitli çalışma sonuçlarında saptandığı gibi, deprem odaklarının derinliği bölgeden bölgeye değişmektedir. Bu nedenle, bu çalışmada her bir bölge için kabul edilen ve önceki çalışma sonuçlarına dayanan odak derinlikleri de Tablo 1. de verilmiştir. Tablo 1. den görüleceği üzere, Türkiye ve çevresinde  $M \geq 4.3$  olan depremlerin yıllık ortalama sayısı yaklaşık olarak 18 dir.

Tablo 1. İzlenen Depremlerin Toplam Sayısı (1900 — 1970,  $M \geq 4.3$ )

Bölge	N	N %	Ortalama	h, km.
I	381	30.5	5.37	10
II	326	26.1	4.59	30
III	88	7.1	1.24	30
IV	125	10.0	1.76	20
V	103	8.3	1.45	20
VI	59	4.7	0.83	20
VII	29	2.3	0.41	20
VIII	29	2.3	0.41	15
IX	20	1.6	0.28	30
X	89	7.1	1.25	20
<b>Toplam</b>	<b>1249</b>	<b>100.0</b>	<b>18.0</b>	

Burada, N : Depremlerin toplam sayısını, N' de yıllık ortalamayı belirlemektedir, ( $T = 71$  sene)

### III. Depremlerin Zaman Dağılımları

#### III.1. İzlenen sismik aktivitenin yıllık dağılımı

Katalogdaki depremler her bir bölge için, yıllık oluşumlarına göre yeniden sınıflandırılmıştır. Bu sınıflama sonucunda elde edilen yıllık dağılım Tablo 2. de verilmiştir. Yukarda da belirtildiği gibi, aftersoklar bu çalışma kapsamına alınmamıştır.

#### III.2. Deprem oluşumlarının Poisson Dağılımı

Eğer bir deprem oluşumu tamamen bağımsız bir olay olarak düşünülürse, oluşum ihtimalinin Poisson dağılımıyla verilebileceği ortaya konulmuştur.

$$P(r,t) = \frac{(ht)^r e^{-ht}}{r!}$$

Burada  $ht$ ,  $t$  periyodu için izlenen depremlerin ortalama değerini göstermektedir.

Tablo 2. Depremlerin Yıllık Dağılımı  
Bölge

Yıl	I	II	III	IV	V	VI	VII	VIII	IX	X	Toplam
1900	1	1	—	—	—	—	—	—	—	—	2
1901	1	3	1	—	2	—	—	1	—	—	8
1902	2	1	—	2	—	—	—	—	—	1	6
1903	1	1	—	1	1	—	1	—	—	1	6
1904	2	7	—	—	1	—	—	—	—	—	10
1905	2	—	—	4	2	—	—	2	—	—	10
1906	5	—	—	—	6	1	—	—	—	—	12
1907	6	—	—	2	—	—	—	—	—	—	8
1908	1	5	—	2	2	3	—	—	—	3	16
1909	5	1	—	—	—	—	—	—	—	1	7
1910	2	1	—	—	—	—	—	—	—	—	3
1911	1	—	—	—	—	—	—	—	1	1	3
1912	9	—	—	—	—	—	—	—	—	—	9
1913	1	—	—	—	—	1	—	—	—	—	2
1914	2	1	17	—	1	—	1	—	—	1	23
1915	1	—	—	2	—	1	—	—	—	—	4
1916	1	2	—	—	1	—	—	—	—	1	5
1917	2	2	—	—	—	—	1	—	—	1	6
1918	1	1	1	—	—	—	—	—	—	2	5
1919	4	2	—	—	—	—	2	—	—	1	9
1920	—	7	—	—	—	—	—	—	—	2	9
1921	—	2	1	—	—	—	2	—	—	1	6
1922	—	2	—	—	—	—	1	—	—	1	4
1923	2	1	—	—	—	—	1	1	—	1	6
1924	2	1	1	2	9	—	—	—	1	3	20
1925	3	5	15	—	5	1	—	4	—	—	33
1926	2	7	5	1	5	2	—	—	3	1	26
1927	—	1	1	—	1	—	—	—	—	1	4
1928	5	6	—	—	1	1	3	1	—	1	18
1929	4	2	—	5	1	3	—	1	1	3	20
1930	2	—	1	14	1	2	1	—	—	1	22
1931	—	—	4	2	—	—	—	1	1	2	10
1932	2	1	—	—	3	1	1	—	—	—	8
1933	6	3	1	—	1	1	—	—	—	2	14
1934	—	—	1	3	—	—	1	—	—	1	7
1935	12	—	—	1	6	—	—	—	—	1	20
1936	7	3	—	—	2	1	—	—	2	1	16
1937	1	1	—	1	1	—	—	—	1	2	7
1938	4	1	—	1	2	—	9	—	—	—	17
1939	12	3	—	—	1	—	—	5	1	1	23
1940	12	1	—	4	6	—	5	—	—	4	32
1941	7	10	—	2	5	3	2	—	—	3	32

1942	6	10	1	1	—	—	—	—	—	1	19
1943	15	8	—	3	1	1	—	—	—	1	29
1944	15	9	—	3	1	2	—	—	—	2	32
1945	13	1	—	4	—	2	—	1	—	4	25
1946	6	1	1	—	1	—	—	—	—	2	11
1947	5	—	2	2	2	3	—	—	—	1	15
1948	8	3	—	3	—	—	—	—	—	3	17
1949	17	6	—	5	1	2	—	1	—	—	32
1950	8	3	—	2	2	1	—	—	—	—	16
1951	8	—	—	—	1	3	—	—	1	—	13
1952	3	6	—	—	4	1	1	1	—	—	26
1953	17	8	—	3	—	1	—	1	—	2	32
1954	7	9	—	1	—	—	—	—	—	1	18
1955	1	3	—	1	—	—	—	—	—	1	18
1956	3	2	—	—	—	1	—	3	—	1	10
1957	11	4	—	2	1	—	—	—	—	—	18
1958	3	7	1	1	1	1	—	1	1	—	16
1959	3	13	—	2	—	—	—	—	—	—	18
1960	6	15	1	7	1	—	—	—	—	3	33
1961	6	8	—	3	3	2	1	—	—	4	27
1962	4	—	—	3	6	4	1	1	—	—	19
1963	6	4	2	4	1	—	—	—	1	3	21
1964	9	2	1	7	2	1	—	—	2	1	25
1965	3	9	—	2	—	2	—	—	1	—	17
1966	21	10	3	12	4	1	—	—	1	—	52
1967	28	8	2	1	1	2	—	1	—	—	43
1968	5	5	—	3	2	—	—	1	—	9	25
1969	5	32	—	—	1	3	—	1	2	4	48
1970	6	55	25	1	—	—	—	—	—	1	88
Toplam :	381	326	88	125	103	59	29	29	20	89	1249
Ortalama	5.37	4.59	1.24	1.76	1.45	0.83	0.41	0.41	0.28	1.25	17.59

Tablo 2. deki değerler yıllık oluşumlarına göre sınıflandırılırsa, depremle-  
rin yıllık sayılarının gerçek dağılımı hesaplanabilir ve bu hesaplama sonucun-  
da elde edilen veriler de, teorik Possion dağılımıyla karşılaştırılabilirler.

Possion Dağılımı :

$$P_r = \frac{r^{-h} h^r}{r!}, \quad n_r : r \text{ sayıda depremin yıllık oluşumları}$$

Gerçek Dağılım :

$$P_r = \frac{n_r}{\sum n_r}, \quad n_r : r \text{ sayıda depremin yıllık oluşumları}$$

Yıllık sismik aktivitenin gerçek ve teorik dağılımları her bir bölge için  
hesaplanmıştır. Hesaplama sonuçları Tablo 3 - 12. de verilmiştir.

Tablo 3  
Depremlerin zaman Dağılımları

r Deprem Yılı	Bölge I						Bölge II					
	n <sub>r</sub>	Gerçek		Poisson		n <sub>r</sub>	Gerçek		Poisson		n <sub>r</sub>	n <sub>r</sub>
		P <sub>r</sub>	P <sub>r</sub> %	P <sub>r</sub>	P <sub>r</sub> %		P <sub>r</sub>	P <sub>r</sub> %	P <sub>r</sub>	P <sub>r</sub> %		
0	6	0.085	0.548	0.0046	0.027	14	0.197	0.876	0.01	0.054		
1	11	0.155	1.000	0.0247	0.144	16	0.225	1.000	0.0459	0.248		
2	11	0.155	1.000	0.0663	0.387	8	0.113	0.502	0.1054	0.570		
3	6	0.085	0.548	0.1187	0.693	7	0.099	0.440	0.1612	0.872		
4	4	0.056	0.361	0.1594	0.931	2	0.028	0.124	0.1849	1.000		
5	6	0.085	0.548	0.1712	1.000	3	0.042	0.187	0.1698	0.918		
6	8	0.113	0.858	0.1532	0.895	3	0.042	0.187	0.1299	0.702		
7	3	0.042	0.271	0.1175	0.686	4	0.056	0.249	0.0852	0.461		
8	3	0.042	0.271	0.0789	0.461	4	0.056	0.249	0.0489	0.264		
9	2	0.028	0.181	0.0471	0.275	3	0.042	0.187	0.0249	0.135		
10	-	-	-	0.0253	0.148	3	0.042	0.187	0.0114	0.062		
11	1	0.014	0.090	0.0012	0.007	-	-	-	0.0048	0.026		
12	3	0.042	0.271	0.0001	0.001	-	-	-	0.0018	0.010		
13	1	0.014	0.090	-	-	1	0.014	0.062	-	-		
14	-	-	-	-	-	-	-	-	-	-		
15	2	0.028	0.181	-	-	1	0.014	0.062	-	-		
16	-	-	-	-	-	-	-	-	-	-		
17	2	0.028	0.181	-	-	-	-	-	-	-		
18	-	-	-	-	-	-	-	-	-	-		
19	-	-	-	-	-	-	-	-	-	-		
20	-	-	-	-	-	-	-	-	-	-		
21	1	0.014	0.090	-	-	-	-	-	-	-		
22	-	-	-	-	-	-	-	-	-	-		
23	-	-	-	-	-	-	-	-	-	-		
24	-	-	-	-	-	-	-	-	-	-		
25	-	-	-	-	-	-	-	-	-	-		
26	-	-	-	-	-	-	-	-	-	-		
27	-	-	-	-	-	-	-	-	-	-		
28	1	0.014	0.090	-	-	-	-	-	-	-		
Toplam	71	1.000				71	1.000		1.000			

Tablo : 5  
Depremlerin Zaman Dağılımları

Tablo : 6

Deprem Yılı	Nr	Bölge III				Bölge IV				
		Gerçek		Poisson		Nr	Gerçek		Poisson	
		Pr	Pr %	Pr	Pr %		Pr	Pr %	Pr	Pr %
0	49	0.690	1.000	0.2894	0.806	30	0.422	1.000	0.172	0.568
1	13	0.183	0.265	0.3589	1.000	11	0.155	0.367	0.3027	1.000
2	3	0.042	0.061	0.2225	0.620	12	0.169	0.400	0.2664	0.880
3	1	0.014	0.020	0.0920	0.256	8	0.113	0.268	0.1563	0.516
4	1	0.014	0.020	0.0285	0.079	4	0.056	0.133	0.0688	0.227
5	1	0.014	0.020	0.0071	0.020	2	0.028	0.066	0.0242	0.080
6	-	-	-	0.0015	0.004	-	-	-	-	-
7	-	-	-	0.0003	0.001	2	0.028	0.066	0.0018	0.006
8	-	-	-	-	-	-	-	-	0.0004	0.001
9	-	-	-	-	-	-	-	-	-	-
10	-	-	-	-	-	-	-	-	-	-
11	-	-	-	-	-	-	-	-	-	-
12	-	-	-	-	-	1	0.014	0.033	-	-
13	-	-	-	-	-	-	-	-	-	-
14	-	-	-	-	-	1	0.014	0.033	-	-
15	1	0.014	0.020	-	-	-	-	-	-	-
16	-	-	-	-	-	-	-	-	-	-
17	1	0.014	0.020	-	-	-	-	-	-	-
18	-	-	-	-	-	-	-	-	-	-
19	-	-	-	-	-	-	-	-	-	-
20	-	-	-	-	-	-	-	-	-	-
21	-	-	-	-	-	-	-	-	-	-
22	-	-	-	-	-	-	-	-	-	-
23	-	-	-	-	-	-	-	-	-	-
24	-	-	-	-	-	-	-	-	-	-
25	1	0.014	0.020	-	-	-	-	-	-	-
Toplam	71	1.000	-	-	-	71	1.000	-	1.000	-

Tablo: 7  
Depremlerin Zaman Dağılımları

r Deprem Yıl	Bölge V						Bölge VI					
	n <sub>r</sub>	Hakiki Dağılım		Poisson's Dağılım		n <sub>r</sub>	Hakiki Dağılım		Poisson's Dağılım		n <sub>r</sub>	P <sub>r</sub>
		P <sub>r</sub>	P <sub>r</sub> %	P <sub>r</sub>	P <sub>r</sub> %		P <sub>r</sub>	P <sub>r</sub> %	P <sub>r</sub>	P <sub>r</sub> %		
0	27	0.380	1.000	0.2346	0.690	37	0.521	1.000	0.4360	1.000		
1	23	0.324	0.853	0.3402	1.000	17	0.239	0.459	0.3619	0.830		
2	9	0.127	0.334	0.2466	0.725	10	0.141	0.271	0.1502	0.344		
3	2	0.028	0.074	0.1192	0.350	6	0.085	0.163	0.0416	0.095		
4	2	0.028	0.074	0.0432	0.127	1	0.014	0.027	0.0086	0.020		
5	3	0.042	0.110	0.0125	0.037							
6	4	0.056	0.147	0.0030	0.009							
7	-	-	-	0.0006	0.002							
8	-	-	-	0.0001	-							
9	1	0.014	0.037	-	-							
Toplam	71	1.000		1.000		71	1.000		1.000			

Tablo: 8

Depremlerin Zaman Dağılımları

Tablo: 9  
Depremlerin Zaman Dağılımları

Tablo: 10

r Deprem Yıl	Bölge VII						Bölge VIII					
	n <sub>r</sub>	Hakiki Dağılım		Poisson's Dağılım		n <sub>r</sub>	Hakiki Dağılım		Poisson's Dağılım		n <sub>r</sub>	P <sub>r</sub>
		P <sub>r</sub>	P <sub>r</sub> %	P <sub>r</sub>	P <sub>r</sub> %		P <sub>r</sub>	P <sub>r</sub> %	P <sub>r</sub>	P <sub>r</sub> %		
0	57	0.803	1.000	0.6636	1.000	52	0.732	1.000	0.6636	1.000		
1	10	0.141	0.176	0.2721	0.410	15	0.211	0.288	0.2721	0.410		
2	1	0.014	0.017	0.0558	0.084	1	0.014	0.019	0.0558	0.084		
3	1	0.014	0.017	0.0076	0.011	1	0.014	0.019	0.0076	0.011		
4	-	-	-	0.0008	0.001	1	0.014	0.019	0.0008	0.001		
5	1	0.014	0.017	0.0001	-	1	0.014	0.019	0.0001	-		
6	-	-	-	-	-							
7	-	-	-	-	-							
8	-	-	-	-	-							
9	1	0.014	0.017	-	-							
Toplam	71	1.000		1.000		71	1.000		1.000			

Tablo 11

## Depremlerin Zaman Dağılımları

Tablo 12

r Deprem/ Yıl	Bölge IX						Bölge X					
	Nr	Hakiki Dağılım		Poisson's Dağılımı		Nr	Hakiki Dağılım		Poisson's Dağılımı		Nr	Nr
		P <sub>r</sub>	P <sub>r</sub> %	P <sub>r</sub>	P <sub>r</sub> %		P <sub>r</sub>	P <sub>r</sub> %	P <sub>r</sub>	P <sub>r</sub> %		
0	56	0.789	1.000	0.7558	1.000	24	0.338	0.889	0.2865	0.800		
1	11	0.155	0.196	0.2116	0.293	27	0.380	1.000	0.3581	1.000		
2	3	0.042	0.053	0.0297	0.039	8	0.113	0.297	0.2239	0.625		
3	1	0.014	0.018	0.0028	0.004	7	0.099	0.260	0.0933	0.260		
4						4	0.056	0.147	0.0291	0.081		
5						-	-	-	0.0073	0.020		
6						-	-	-	0.0015	0.004		
7						-	-	-	0.0003	0.001		
8						-	-	-	-	-		
9						1	0.014	0.037	-	-		
Toplam	71	1.000		1.000		71	1.000		1.000			

Her bir bölge için olasılık dağılımları da % olarak Şekil 3. de gösterilmiştir. Bu şekillerden su sonuca varılabilir. Gerçek dağılım, maksimum değer çevresinde daima Poisson dağılımının altında uzanmakta ve her iki uc kısımda ise onu kesmektedir. Dolayısıyla frekans dağılımının Poisson dağılımından sapması, ya da her iki dağılım arasındaki farklılık ortalama değer çevresinde pozitif, ve her iki ugarda ise negatif olmaktadır. Böylece, bir deprem oluştuğunda başka depremlerin oluşma olasılığı artmaktadır ya da bazı bilinmeyen deneyler dolayısıyla depremlerin bir grup ya da deprem firtınası şeklinde olma olasılıkları ortaya çıkmaktadır. Başka bir deyişle, büyük ya da küçük depremlerin oluşları, bir grup ya da deprem firtınası şeklinde olma olasılığını taşımaktadır.

Bölge I ve II için bulunan eğrilerdeki deprem oluşlarının yıllık dağılımları, yıllık sismik aktivitenin oldukça büyük ortalama değeri nedeniyle **Gaussian** dağılımı olarak nitelenebilirler.

#### IV. Depremlerin Magnitüd Dağılımları

Depremlerin magnitüd dağılımlarının incelenmesi, Magnitüd - Frekans ilişkisinin elde edilmesiyle yapılmamaktadır. Bunun için Gutenberg - Richter tarafından konulmuş aşağıdaki gibi bir istatistik bağlantı vardır.

$$\log n(M) = a - bM$$

Bu ilişkinin integre edilmesiyle, belirli bir değerden büyük M değerleri için kümülatif frekans dağılımı elde edilebilir.

$$\text{Log } n(M) = a' - b M$$

Burada,  $a' = a - \text{Log}(b \ln 10)$  dur.

Bu bağıntılardaki  $a$  ve  $a'$  her sismik bölge için sismite değerlerine ve incelenilen periyod aralığına bağlıdır. Ortalama yıllık sismik aktivitenin indeksi olarak kabul edilebilirler.  $b$  değeri ise, incelenilen periyod aralığına bağlı değildir. Yakın zamanlara dek bu parametrenin, universal bir değer olarak 0.9 çevresinde olduğu varsayılmışsa da, yapılan son çalışmalarla bunun bir sismik bölgeden başka bir sismik bölgeye farklı olduğu saptanmıştır. K. Mogi ve S. Miyamura,  $b$  değerinin her bölgenin tektonik özellikleriyle doğrudan doğruya ilgili olduğunu ortaya koymuşlardır. Dolayısıyla,  $b$  değerinin sismotektonik parametreyi tanımladığı kabul edilebilir.

Her bir bölge için magnitüd aralığı 0.1 ve 0.5 olmak üzere, iki grupta depremler yeniden sınıflandırılmıştır. Depremlerin bu iki gruba göre magnitüd dağılımları Tablo 13 A ve B. de verilmiştir.

#### IV.1. En küçük kareler yöntemi

Magnitüd — frenaks bağlantısının parametreleri en küçük kareler yöntemiyle hesaplanabilir. Bu parametreleri bulmak için aşağıda verilen denklemler kullanılmaktadır.

$$b = \frac{\sum (x_i - \bar{x})(y_i - \bar{y})}{\sum (x_i - \bar{x})^2}$$

$$a = \bar{y} - b \bar{x}, \quad \bar{x} = \frac{\sum x_i}{N}, \quad \bar{y} = \frac{\sum y_i}{N}$$

Tablo 14 — 23. de, her bir bölge için en küçük kareler yönteminin uygulanması verilmiştir. Magnitüd — frekans bağlantıları ise 4. de her bir bölge için ayrı ayrı gösterilmiştir.

#### IV.2. Olasılık hesabı yöntemi

Bir çok sismolojik problemlere bu yöntemin uygulanılması son zamanlar da geniş ölçüde kullanılmaktadır.  $\theta$  parametresine dayanan bir  $f(x, \theta)$  olasılık dağılım fonksiyonu alınsa, buna karşı olan olasılık fonksiyonu da aşağıdaki şekilde tanımlanabilir :

$$P(x_1, \theta) = f(x_1, \theta) \cdot f(x_2, \theta) \cdots \cdots \cdots f(x_n, \theta)$$

Bu yöntem, magnitüd — frekans bağıntısı problemlerine K. Aki tarafından uygulanmıştır.  $M$  in dağılım olasılığı fonksiyonu şu şekilde verilmektedir :

$$f(M, b') = b' \cdot e^{-b'} (M - M_o), \quad M \geq M_o$$

Burada  $b' = b \cdot \ln 10$  dur.

Tablo 13. Depremlerin Magnitüd Dağılımları

A)  $\Delta M = 0.1$ 

<b>M</b>	<b>Bölge</b>	<b>I</b>	<b>II</b>	<b>III</b>	<b>IV</b>	<b>V</b>	<b>VI</b>	<b>VII</b>	<b>VIII</b>	<b>IX</b>	<b>X</b>
4.3		69	42	11	19	20	14	7	4	2	26
4.4		9	24	9	4	5	1	—	1	—	6
4.5		26	45	11	10	4	4	—	3	—	5
4.6		42	24	8	16	14	8	1	4	—	10
4.7		16	26	7	5	3	2	—	1	1	5
4.8		24	33	9	7	5	3	5	1	2	6
4.9		36	17	3	21	12	3	1	—	3	3
5.0		15	19	4	3	5	3	4	4	3	4
5.1		10	6	5	4	1	—	3	2	1	1
5.2		39	25	5	10	9	8	1	1	—	10
5.3		8	10	3	2	4	2	—	2	2	—
5.4		6	5	3	1	1	2	1	2	—	1
5.5		24	5	—	7	5	6	—	2	—	2
5.6		10	7	1	2	1	—	1	—	1	4
5.7		4	5	—	—	2	1	—	—	—	4
5.8		8	1	3	7	5	—	—	1	—	—
5.9		4	6	2	2	1	—	—	—	1	—
6.0		5	7	2	2	1	1	—	—	—	—
6.1		2	1	—	—	1	—	1	—	1	1
6.2		1	3	—	—	2	—	—	—	—	—
6.3		2	2	—	1	—	—	—	—	—	—
6.4		3	2	—	1	—	—	—	—	—	—
6.5		3	3	—	—	—	—	—	—	—	—
6.6		—	3	—	—	—	—	—	—	—	—
6.7		1	—	—	1	1	—	—	1	—	—
6.8		3	2	1	—	—	—	—	1	—	—
6.9		1	—	1	—	—	1	—	—	—	—
7.0		3	2	—	—	—	—	—	—	—	—
7.1		—	—	—	—	—	—	—	—	—	—
7.2		1	1	—	—	—	—	—	—	—	—
7.3		3	—	—	—	—	—	—	—	—	—
7.4		1	—	—	—	—	—	—	—	—	—
7.5		—	—	—	—	—	—	—	—	—	—
7.6		1	—	—	—	—	—	—	—	—	—
7.7		—	—	—	—	—	—	—	—	—	—
7.8		—	—	—	—	—	—	—	—	—	—
7.9		—	—	—	—	—	—	—	—	—	—
8.0		1	—	—	—	—	—	—	—	—	—

B)  $\Delta M = 0.5$

M — Bölge										
	I	II	III	IV	V	VI	VII	VIII	IX	X
4.3 — 4.7	162	161	46	54	46	29	8	13	3	52
4.8 — 5.2	124	100	26	45	32	17	14	8	9	24
5.3 — 5.7	52	32	7	12	13	11	3	7	5	8
5.8 — 6.2	20	18	7	11	10	2	2	1	2	5
6.3 — 6.7	9	10	—	3	1	—	1	—	1	—
6.8 — 7.2	8	5	2	—	1	—	1	—	—	—
7.3 — 7.7	5	—	—	—	—	—	—	—	—	—
7.8 — 8.2	1	—	—	—	—	—	—	—	—	—
<b>Toplam</b>	<b>381</b>	<b>326</b>	<b>88</b>	<b>125</b>	<b>103</b>	<b>59</b>	<b>29</b>	<b>29</b>	<b>20</b>	<b>89</b>

Tablo : 14. Bölge I

En Küçük Kareler Metoduun Uygulanılması.

$\Delta m = 0.5$	$X_i$	$n$	$Y_i = \log n_i$	$X_i - \bar{X}$	$Y_i - \bar{Y}$	$(X_i - \bar{X})(Y_i - \bar{Y})$	$(X_i - \bar{X})^2$
4.3 - 4.7	4.5	162	2.20952	-1.75	0.97499	-1.7062325	3.0625
4.8 - 5.2	5.0	124	2.09342	-1.25	0.85889	1.0736125	1.5625
5.3 - 5.7	5.5	52	1.71600	-0.75	0.48147	0.3611025	0.5625
5.8 - 6.2	6.0	20	1.30103	-0.25	0.06650	0.0166250	0.0625
6.3 - 6.7	6.5	9	0.95424	0.25	-0.28029	0.0700725	0.0625
6.8 - 7.2	7.0	8	0.90309	0.75	-0.33144	0.2485800	0.5625
7.3 - 7.7	7.5	5	0.69897	1.25	-0.53556	0.6694500	1.5625
7.8 - 8.2	8.0	1	0.000	1.75	-1.23153	2.1604275	3.0625

Tablo : 15 .      Bölge II  
 En Küçük Kareler Metoduun Uygulanması

$\Delta m = 0.5$	$X_i$	$n$	$Y_i = \log n_i$	$X_i - \bar{X}$	$Y_i - \bar{Y}$	$(X_i - \bar{X})(Y_i - \bar{Y})$	$(X_i - \bar{X})^2$
4.3-4.7	4.5	161	2.20683	-1.25	0.76246	-0.9500750	1.5625
4.8-5.2.	5.0	100	2.00000	-0.75	0.55563	0.4167225	0.5625
5.3-5.7	5.5	32	1.50515	-0.25	0.06078	0.0151950	0.0625
5.8- 6.2	6.0	18	1.25527	0.25	-0.18907	0.0472675	0.0625
6.3-6.7	6.5	10	1.00000	0.75	-0.44437	0.3332775	0.5625
6.8 -72	70	5	0.69897	1.25	-0.74540	0.9317500	1.5625

Tablo :16. Bölge III.

En Küçük Kareler Metodunun Uygulanılması

$\Delta m=0.5$	$X_i$	$n$	$Y_i=\log n_i$	$X_i - \bar{X}$	$Y_i - \bar{Y}$	$(X_i - \bar{X}) (Y_i - \bar{Y})$	$(X_i - \bar{X})^2$
4.3-4.7	4.5	46	1.66276	-1.25	0.81794	-1.0224250	1.5625
4.8-5.2	5.0	26	1.41497	-0.75	0.57015	-0.4276125	0.5625
5.3-5.7	5.5	7	0.84510	-0.25	0.00028	-0.0000700	0.0625
5.8-6.2	6.0	7	0.84510	0.25	0.00028	+0.0000700	0.0625
6.3-6.7	6.5	-	-	-	-	-	-
6.8-7.2	7.0	2	0.30103	1.25	-0.54379	-0.6797375	1.5625

Tablo :17 Bölge IV

En Küçük Kareler Metodunun Uygulanılması

$\Delta m=0.5$	$X_i$	$n$	$Y_i=\log n_i$	$X_i - \bar{X}$	$Y_i - \bar{Y}$	$(X_i - \bar{X}) (Y_i - \bar{Y})$	$(X_i - \bar{X})$
4.3-4.7	4.5	54	1.7324	-1.0	0.5357	-0.5357	1.0
4.8-5.2	5.0	45	1.6532	-0.5	0.4565	0.2283	0.25
5.3-5.7	5.5	12	1.0792	-	-	--	-
5.8-6.2	6.0	11	1.0414	0.5	-0.1553	0.0777	0.25
6.3-6.7	6.5	3	0.4771	1.0	-0.7196	0.7196	1.0

Tablo :18 Bölge V

En Küçük Kareler Metodunun Uygulanılması

$\Delta m=0.5$	$X_i$	$n$	$Y_i=\log n_i$	$X_i - \bar{X}$	$Y_i - \bar{Y}$	$(X_i - \bar{X}) (Y_i - \bar{Y})$	$(X_i - \bar{X})$
4.3-4.7	4.5	46	1.6628	-1.25	0.7825	-0.9781	1.5625
4.8-5.2	5.0	32	1.5051	-0.75	0.6248	-0.4686	0.5625
5.3-5.7	5.5	13	1.1139	-0.25	0.2336	-0.0584	0.0625
5.8-6.2	6.0	10	1.00	0.25	0.1197	0.0299	0.0625
6.3-6.7	6.5	1	0. -	0.75	-0.8803	-0.6602	0.5625
6.8-7.2	7.0	1	0. -	1.25	-0.8803	-1.1004	1.5625

Tablo 19 Bölge VI

## En Küçük Kareler Metodunun Uygulanılması

$\Delta m=0.5$	$X_i$	$n$	$Y_i = \log n_i$	$X_i - \bar{X}$	$Y_i - \bar{Y}$	$(X_i - \bar{X})(Y_i - \bar{Y})$	$(X_i - \bar{X})^2$
4.3-4.7	4.5	29	1.4624	-0.75	0.4536	-0.3402	0.5625
4.8-5.2	5.0	17	1.2304	-0.25	0.2216	-0.0554	0.0625
5.3-5.7	5.5	11	1.0414	0.25	0.0326	0.0082	0.0625
5.8-6.2	6.0	2	0.301	0.75	-0.7078	-0.5309	0.5625

Tablo 20 Bölge VII

## En Küçük Kareler Metodunun Uygulanılması

$\Delta m=0.5$	$X$	$r$	$Y_i = \log n_i$	$X_i - \bar{X}$	$Y_i - \bar{Y}$	$(X_i - \bar{X})(Y_i - \bar{Y})$	$(X_i - \bar{X})^2$
4.3-4.7	4.5	8	0.9031	-1.25	0.4325	-0.5406	1.5625
4.8-5.2	5.0	14	1.1461	-0.75	0.6755	0.5066	0.5625
5.3-5.7	5.5	3	0.4771	-0.25	0.0065	0.0016	0.0625
5.8-6.2	6.0	2	0.3010	0.25	-0.1696	0.0424	0.0625
6.3-6.7	6.5	1	0	0.75	-0.4706	0.3530	0.5625
6.8-7.2	7.0	1	0	1.25	-0.4706	0.5883	1.5625

Tablo 21 Bölge VIII

## En Küçük Kareler Metodunun Uygulanılması

$\Delta m=0.5$	$X_i$	$n$	$Y_i = \log n_i$	$X_i - \bar{X}$	$Y_i - \bar{Y}$	$(X_i - \bar{X})(Y_i - \bar{Y})$	$(X_i - \bar{X})^2$
4.3-4.7	4.5	13	1.1139	-0.75	0.3984	-0.2988	0.5625
4.8-5.2	5.0	8	0.9031	-0.25	0.1876	-0.0469	0.0625
5.3-5.7	5.5	7	0.8451	0.25	0.1296	0.0324	0.0625
5.8-6.2	6.0	1	0	0.75	-0.7155	-0.5366	0.5625

Tablo : 22 Bölge IX.

En Küçük Kareler Metodunun Uygulanılması

$\Delta m = 0.5$	$X_i$	$n$	$Y_i = \log n_i$	$X_i - \bar{X}$	$Y_i - \bar{Y}$	$(X_i - \bar{X})(Y_i - \bar{Y})$	$(X_i - \bar{X})^2$
4.3-4.7	4.5	3	0.4771	-1.0	-0.0092	0.0092	1.0
4.8-5.2	5.0	9	0.9542	-0.5	0.4679	-0.2340	0.25
5.3-5.7	5.5	5	0.6990	-	-	-	-
5.8-6.2	6.0	2	0.3010	0.5	-0.1853	-0.0927	0.25
6.3-6.7	6.5	1	0.00	1.0	-0.4863	-0.4863	1.0

Tablo : 23 Bölge X

En Küçük Kareler Metodunun Uygulanması

$\Delta m = 0.5$	$X_i$	$n$	$Y_i = \log n_i$	$X_i - \bar{X}$	$Y_i - \bar{Y}$	$(X_i - \bar{X})(Y_i - \bar{Y})$	$(X_i - \bar{X})^2$
4.3-4.7	4.5	52	1.7160	-0.75	0.5414	-0.4061	0.5625
4.8-5.2	5.0	24	1.3802	-0.25	0.2056	0.0514	0.0625
5.3-5.7	5.5	8	0.9031	0.25	-0.2715	0.0679	0.0625
5.8-6.2	6.0	5	0.699	0.75	-0.4756	0.3567	0.5625

Buna karşıt olan olasılık fonksiyonu ise aşağıdaki gibi verilmektedir.

$$P = (b')^N \cdot \exp \left\{ -b' \left( \sum M_i - NM_o \right) \right\}$$

Bu bağlantidan,  $b'$  nin olasılık hesabı şu şekilde yapılmaktadır :

$$b' = \frac{\log e}{M - M_o}$$

Burada  $M$  ve  $M_o$  sırasıyla, deprem serilerindeki magnitüdün ortalama ve alt limit değerleridir.

Utsu, bu yöntemin en küçük kareler yöntemine oranla daha iyi sonuçlar verdiği göstermiştir. Ayrıca bu yöntem, küçük deprem serilerinde de uygulanılabilir.

Magnitüdün alt limiti  $M_o = 4.25$  alınarak  $b'$  değerleri aşağıdaki gibi hesaplanılabılır.

$$b' = \frac{0.4343}{M - 4.25}, \quad M = \frac{\sum M_n}{\sum n}$$

Tablo : 24 Hesaplanan Mn Değerleri

Bölge	I	II	III	IV	V	VI	VII	VIII	IX	X
m=0.1	n	Mn	n	Mn	n	Mn	n	Mn	n	Mn
4.3	69	296.7	42	180.6	11	47.3	19	81.7	20	86.-
4.4	9	39.6	24	105.6	9	39.6	4	17.6	5	22
4.5	26	117.-	45	202.5	11	49.5	10	45	4	18
4.6	42	193.2	24	110.4	8	36.8	16	73.6	14	64.4
4.7	16	75.2	26	122.2	7	32.9	5	23.5	3	14.6
4.8	24	115.2	33	158.4	9	43.2	7	33.6	5	24
4.9	36	176.4	17	83.3	3	14.7	21	102.9	12	58.8
5.0	15	75.-	19	95.-	4	20.-	3	15.-	5	25.-
5.1	10	51.-	6	30.6	5	25.5	4	20.4	1	5.1
5.2	39	202.8	25	130.-	5	26.-	10	52.-	9	46.8
5.3	8	42.4	10	53.-	3	15.9	2	10.6	4	21.2
5.4	6	32.4	5	27.-	3	16.2	1	5.4	1	10.8
5.5	24	132.-	5	27.5	-	-	7	38.5	5	27.5
5.6	10	56.-	7	39.2	1	5.6	2	11.2	1	5.6
5.7	4	22.8	5	28.5	-	-	-	2	11.4	1
5.8	8	46.5	1	5.8	3	17.4	7	40.6	5	29.-
5.9	4	23.6	6	35.4	.2	11.8	2	11.8	1	5.9
6.0	5	30.-	7	42.-	2	12.-	2	12.-	1	6.-
6.1	2	12.2	1	6.1	-	-	-	1	6.1	-
6.2	1	6.2	3	18.6	-	-	-	2	12.4	-
6.3	2	12.6	2	12.6	-	-	-	1	6.3	-
6.4	3	19.2	2	12.8	-	-	-	1	6.4	-
6.5	3	19.5	3	19.5	-	-	-	-	-	-

Tablo : 24 Hesaplanan Mn Değerleri

Bölge	I	II	III	IV	V	VI	VII	VIII	IX	X
m=0.1	n	Mn	n	Mn	n	Mn	n	Mn	n	Mn
6.6	—	—	3	19.5	—	—	—	—	—	—
6.7	1	6.7	—	—	1	6.7	1	6.7	—	—
6.8	3	20.4	2	13.6	1	6.8	—	—	1	6.8
6.9	1	6.9	—	—	1	6.9	—	—	—	—
7.0	3	21.-	2	14.-	—	—	—	—	—	—
7.1	—	—	—	—	—	—	—	—	—	—
7.2	1	7.2	1	7.2	—	—	—	—	—	—
7.3	3	21.9	—	—	—	—	—	—	—	—
7.4	1	7.4	—	—	—	—	—	—	—	—
7.5	—	—	—	—	—	—	—	—	—	—
7.6	1	7.6	—	—	—	—	—	—	—	—
7.7	—	—	—	—	—	—	—	—	—	—
7.8	—	—	—	—	—	—	—	—	—	—
7.9	—	—	—	—	—	—	—	—	—	—
8.0	1	8.0	—	—	—	—	—	—	—	—
n	381	326	88	125	—	125	103	59	29	89
Mn	1904.5	1606.6	428.1	614.8	—	614.8	508.3	286.7	146.3	142.00
m̄	4.9986	4.928	4.8647	4.9184	—	4.9184	4.9549	4.8593	5.0448	4.8995
									5.17	4.7752

Her bir bölge için hesaplanan  $M_n$  değerleri Tablo 24. de verilmüştür. Elde edilen  $b$  değerlerine karşıt olan  $a$  değeri ise,  $M \geq 4.3$  ığın kümülatif frekans bağlantısından hesaplanabilir.

$$a = \text{Log } N(M \geq 4.3) + \text{Log } (b \cdot \ln 10) + 4.3 b$$

Her bir bölge için gerek en küçük kareler ve gerekse olasılık hesabı yöntemiyle hesaplanan magnitüd - frekans bağıntılar, Tablo 25. de verilmüştür.

#### V. Gelecekte Beklenen Sismik Aktivite

100 yıllık bir zaman aralığında tektonik aktivitenin değişmez olarak sayılabileceği kabul edilebilir. Bu nedenle, deprem olusunun beklenen olasılığının bu zaman aralığı içerisinde incelenilmesi düşünülebilir.

Beklenen sismik aktivitenin çözümlemeleri, olasılık hesabı yönteminden elde edilen verileri kullanarak yapılacaktır.

**Tablo 25. Magnitüd - Frekans Bağıntıları**

Bölge	En Küçük Kareler Metodu	İhtimaller Hesabı Metodu
I	Log $N = 4.984 — 0.600 M$	Log $N = 5.200 — 0.580 M$
II	4.986 — 0.616 M	5.433 — 0.640 M
III	4.053 — 0.558 M	5.191 — 0.706 M
IV	4.629 — 0.624 M	5.066 — 0.650 M
V	5.135 — 0.740 M	4.903 — 0.634 M
VI	4.868 — 0.735 M	5.051 — 0.713 M
VII	3.144 — 0.465 M	3.909 — 0.546 M
VIII	4.285 — 0.680 M	4.541 — 0.672 M
IX	2.257 — 0.322 M	3.366 — 0.472 M
X	4.881 — 0.706 M	5.785 — 0.827 M

#### V.1. Sismisite indeksi

Her bir bölge için verilen bir magnitüdden büyük depremlerin beklenen ortalama yıllık sayısı, izlenen deprem oluşlarının zaman ve magnitüd dağılımlarından çıkarılabilir. Bunu bulmak için,  $M = 0$  ve  $M = 4.3$  den büyük depremlerin sene başına toplam sayısı, her bir bölge için sismisite indeksi olarak kabul edilebilir.

$a$  değeri, magnitüdü  $M \geq 4.3$  olan izlenilmiş depremlerden hesaplanmışdır. Kümülatif magnitüd - frekans bağıntısından, verilen bir magnitüdden daha büyük depremlerin toplam sayısı doğrudan doğruya hesaplanabilir.

$a$  ve  $a'$  ne karşıt ortalama yıllık değerler aşağıdaki bağıntılardan bulunmaktadır.

$$a_1 = a - \text{Log } T \quad T = 71 \text{ sene}$$

$$a'_1 = a' - \text{Log } T \quad \text{Log } T = 1.851$$

Burada  $T$ , incelenilen periyod aralığıdır.

$a$ ,  $b$ ,  $a_1$  ve  $a'_1$  değerleri hesaplanmış ve bulunan değerler Tablo 26. da verilmiştir. Tablo 26. dan yararlanılarak, magnitüdü  $M \leq 0$  ve  $M \leq 4.3$  olan depremlerin ortalama yıllık sayısı aşağıdaki bağlantılardan hesaplanmıştır.

$$N(M \leq 0) = 10^{\frac{a_1}{b}}, \quad N(M \leq 4.3) = 10^{\frac{a'_1}{b}} - 4.3 b$$

Her bir bölge için bulunan sismite indeksi değerleri Tablo 27. de verilmiştir.

Sismisite indeksi çalışmaları, sismoloji istasyonlarının gelecekte kurulacağı yerlerin planlanmasıında yardımcı olabilirler.

#### V.2. Spesifik sismisite

Tablo 27. deki değerlerden faydalananlara, her bir bölgede birim alan ve hacimde  $M \geq 0$  ve  $M \geq 4.3$  olan depremlerin beklenen sayıları hesaplanmıştır. Her bir sismotektonik bölgenin alanı Şekil 1. den bulunmuştur. Sismik hacmin hesaplanmasıında kullanılan ocak derinlikleri Tablo 1. de verilen değerlerdir.

**Tablo 26. Bölgesel Sismik Aktivite Parametreleri (1900-1970)**

#### A) E.K.K. Metodu

Bölge	$\frac{a}{b}$	$a$	$a_1$	$a'$	$a'_1$
I	0.600	4.984	3.133	4.844	2.993
II	0.616	4.986	3.135	4.835	2.984
III	0.558	4.053	2.202	3.945	2.094
IV	0.624	4.629	2.778	4.472	2.621
V	0.740	5.135	3.284	4.904	3.053
VI	0.735	4.868	3.017	4.640	2.789
VII	0.465	3.144	1.293	3.115	1.264
VIII	0.680	4.285	2.434	4.091	2.240
IX	0.322	2.257	0.406	2.387	0.536
X	0.706	4.881	3.030	4.670	2.819

#### B) Olasılık Hesabı Metodu

I	0.580	5.200	3.349	5.075	3.224
II	0.640	5.433	3.852	5.265	3.414
III	0.706	5.191	3.340	4.981	3.130
IV	0.650	5.066	3.215	4.891	3.040
V	0.634	4.903	3.052	4.739	2.888
VI	0.713	5.051	3.200	4.836	2.985
VII	0.546	3.909	2.058	3.810	1.959
VIII	0.672	4.541	2.690	4.352	2.501
IX	0.472	3.366	1.515	3.331	1.480
X	0.827	5.785	3.934	5.504	3.665

**Tablo 27. Sismisite İndeksi**

Bölge	$M \leq 0$		$M \geq 4.3$	
	N	% N	N	N %
I	0.984 x 10 <sup>3</sup>	19.3	2.588	30.7
II	0.964	»	2.164	25.7
III	0.124	»	0.495	5.9
IV	0.418	»	0.866	10.3
V	1.130	»	0.743	8.8
VI	0.615	»	0.425	5.0
VII	0.018	»	0.184	2.2
VIII	0.174	»	0.207	2.5
IX	0.003	»	0.0142	1.7
X	0.659	»	0.607	7.2
<b>Toplam</b>	<b>5.089</b>	<b>»</b>	<b>8.421</b>	<b>100.0</b>

$M \geq 0$  için birim uzunluk 10 km.,  $M \geq 4.3$  için de 100 km. olarak alınmıştır. Her bir bölge için spesifik sismisite değerleri Tablo 28. de verilmiştir. Tablo 28. den belirlendiği üzere, Bölge I ve II maksimum spesifik sisimik aktiviteyi göstermektedir.

### V.3. Deprem riski

Mühendislik açısından, verilen bir zaman aralığında yıkıcı depremlerin olma olasılığının bilinmesi gereği ortaya çıkmaktadır. Deprem mühendisliği konularında önemli bir kavram olarak nitelenen deprem riski, verilen bir süre için, belirli bir bölge için yıkıcı depremlerin oluş olasılığı olarak tanımlanabilir.

Depremlerin zaman dağılımları e-ht şeklinde üstel bir ifadeyle belirtilebilir. Dolayısıyla, belirli bir T periyodunda, magnitüdü verilen bir M değerinden daha büyük bir ya da daha fazla yıkıcı depremlerin oluş ihtimali aşağıdaki formülle hesaplanabilir.

$$— N(M) T$$

$$P(M, T) = 1 - e$$

Buradaki N(M) değeri, her bir bölge için magnitüd - frekans ilişkisinden elde edilebilir.

Deprem risk değeri hesaplamalarında I — IV Bölgeleri için  $M = 7.5$  ve V — X Bölgeleri için de  $M = 7.0$  değerleri kullanılmıştır. Bu magnitüd değerleri için, depremlerin ortalama yıllık kümülatif sayısı aşağıdaki bağıntılarından elde edilir.

$$\frac{a_1}{N(7.0)} = 7.0 \times b \quad , \quad \frac{a_1}{N(7.5)} = 7.5 \times b$$

Her bir bölge için deprem risk değerleri, T = 25, 50, 75, 100 ve 250 periyodları için hesaplanılmış ve bulunan değerler Tablo 29. da verilmiştir.

Ayrıca, her bir bölge için bu büyüklükteki bir depremin ortalama dönüm periyodu da aşağıdaki bağıntılarla hesaplanmış ve yine Tablo 29. da verilmiştir.

$$\theta = 1/N(7.0) \text{ sene} \quad , \quad \theta = 1/N(7.5) \text{ sene}$$

**Tablo 28. Spesifik Sismisite**

Bölge	Alan 100 <sup>2</sup> km <sup>2</sup>	$M \geq 0$		$M \leq 4.3$	
		N/V $10^{-2}$ km <sup>-2</sup>	N/A $10^{-3}$ km <sup>-3</sup>	N/A $10^{-2}$ km <sup>-2</sup>	N/V $10^{-3}$ km <sup>-3</sup>
I	13.2	0.745	0.745	0.196	1.96
II	6.6	1.460	0.487	0.328	1.09
III	4.0	0.310	0.103	0.124	0.41
IV	8.9	0.470	0.235	0.097	0.49
V	5.1	2.220	1.108	0.146	0.73
VI	2.5	2.460	1.230	0.170	0.85
VII	2.9	0.062	0.031	0.063	0.32
VIII	4.2	0.410	0.276	0.049	0.33
IX	1.7	0.018	0.006	0.083	0.28
X	28.9	0.230	0.114	0.021	0.11

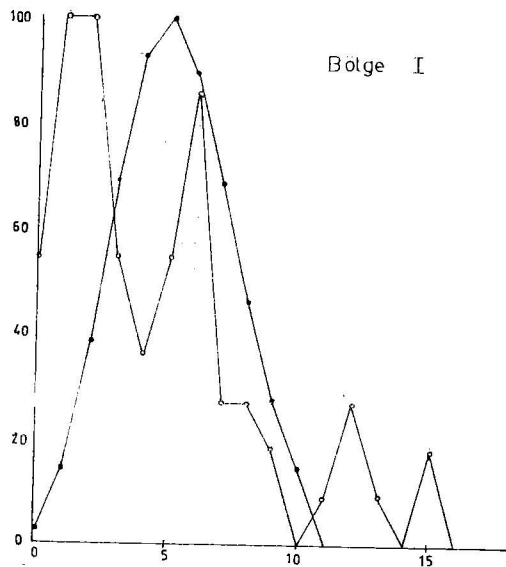
**Tablo 29. Deprem Riski, % olarak**

Bölge	N	P E R I Y O D						Sene
		$M \geq 7.5$	25	50	75	100	250	
I	0.0311	54.2	78.8	90.3	95.5	99.9	32.1	
II	0.0231	44.0	68.3	82.3	90.0	99.7	43.3	
III	0.0081	18.1	33.0	45.7	55.1	86.7	123.5	
IV	0.0087	19.8	35.0	47.8	58.0	88.6	115.0	
M ≥ 7.0								
V	0.0074	16.5	30.9	42.0	52.3	84.3	135.1	
VI	0.0044	10.4	19.8	28.1	35.6	66.7	227.3	
VII	0.0102	22.1	40.0	53.2	63.9	92.2	98.0	
VIII	0.0030	6.8	13.9	19.8	25.9	52.8	333.3	
IX	0.0191	38.1	61.3	76.1	85.2	99.1	52.4	
X	0.0075	17.3	30.9	42.9	52.8	84.6	133.3	

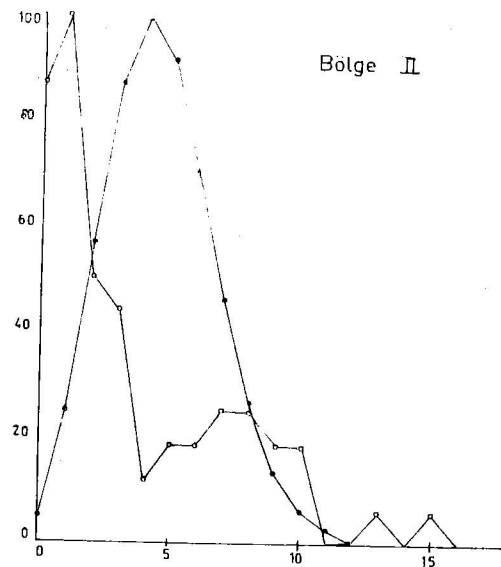
## VI Sonuç

Türkiye'de 1900 - 1970 yılları arasında oluşmuş depremlerin statistikal çözümlemeleri yapılmıştır. 10 sismotektonik bölge için magnitüd - frekans bağıntıları hesaplanılmıştır. Bu bağıntılar temel olarak alınmak yolu ile, bölgesel sismik aktivite parametreleri elde edilmiştir. Bu parametrelerden her bir bölge için, deprem riski incelemesine geçilmiş ve çeşitli periyodlar için deprem risk değerleri bulunmuştur.

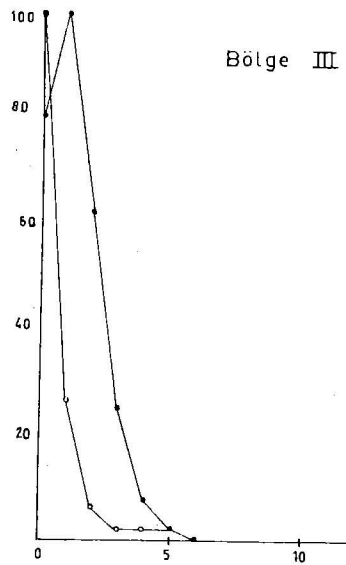
Bu çalışma sonuçlarının, deprem oluşlarıyla ilgili başka çalışmalarla yararlı olacağı umut edilmektedir.



Bölge I



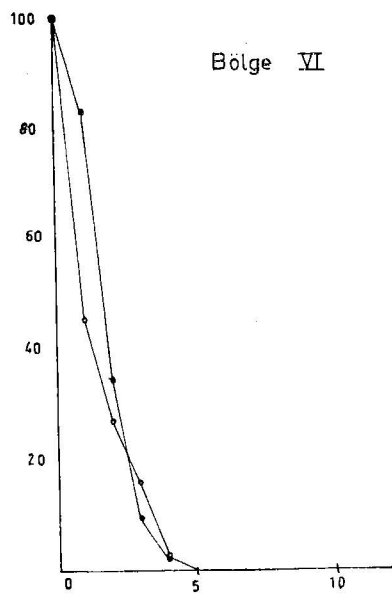
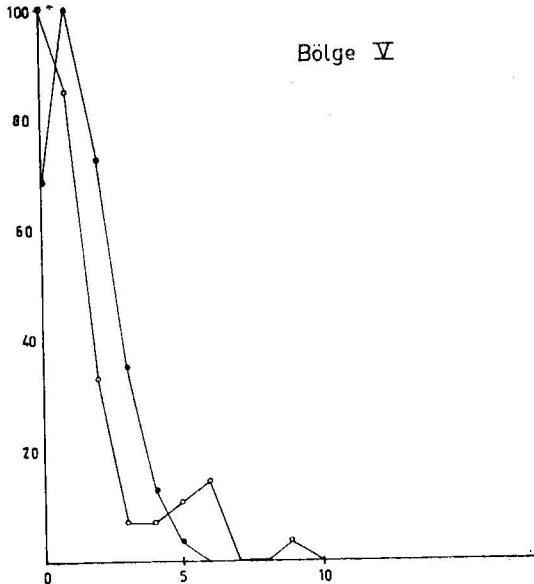
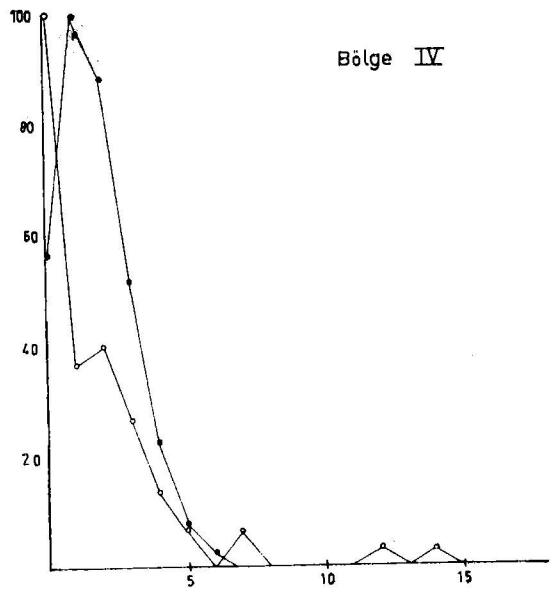
Bölge II

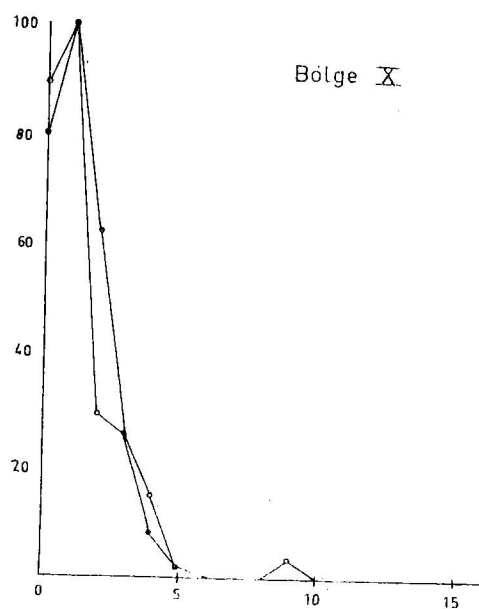
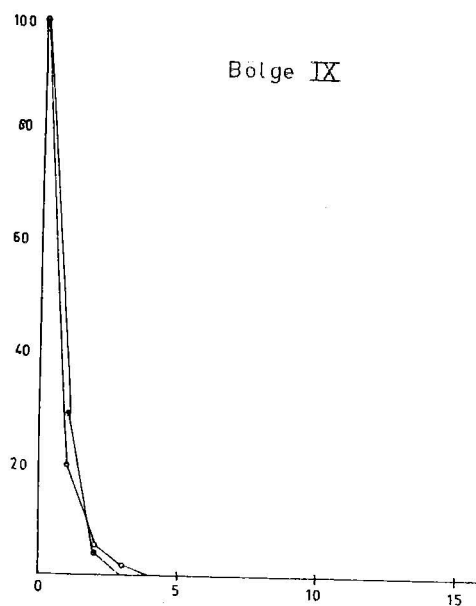
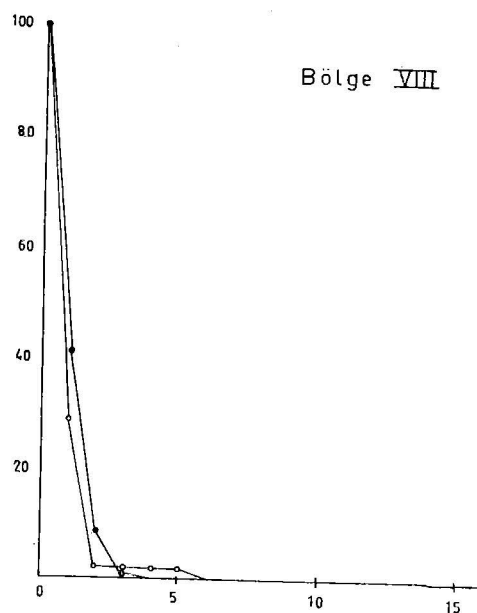
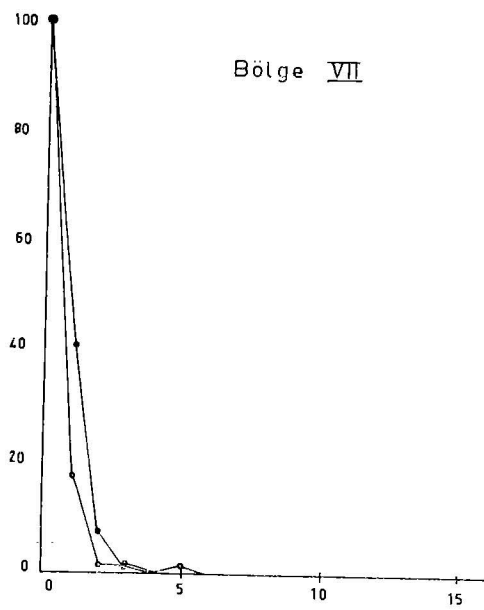


Bölge III

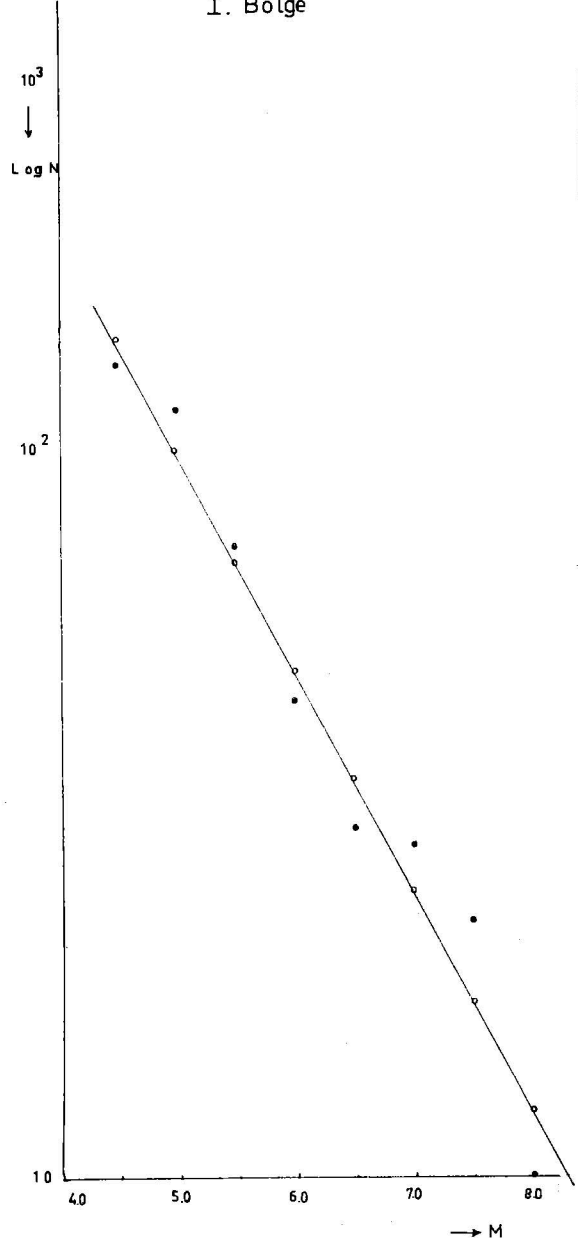
Şekil : 3. Depremlerin zaman Dağılımları

- Gerçek dağılım
- Poisson's dağılım

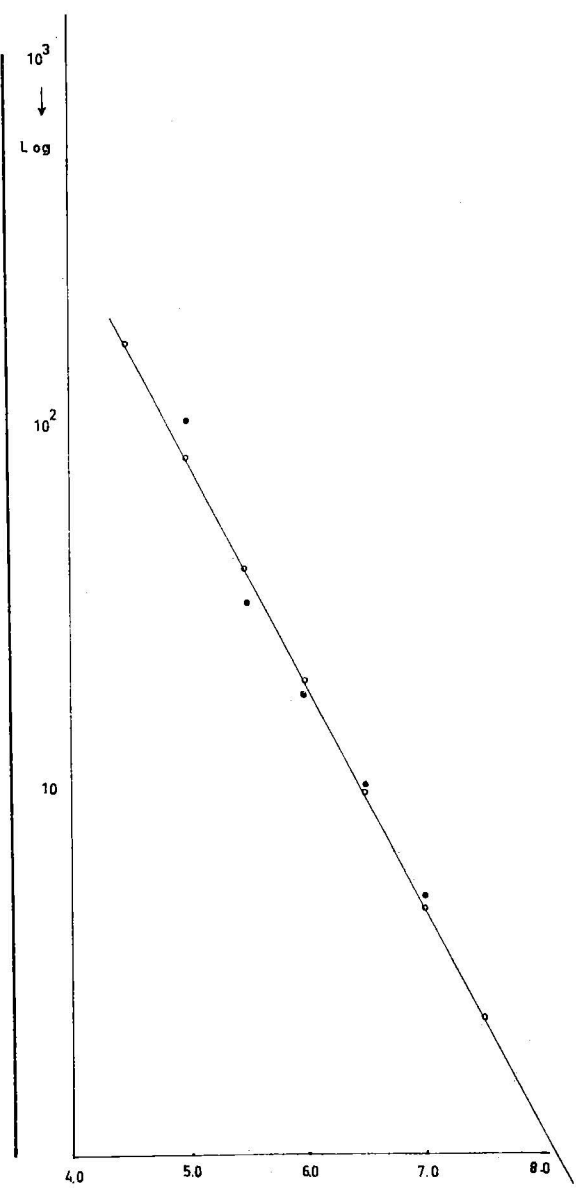




I. Bölge

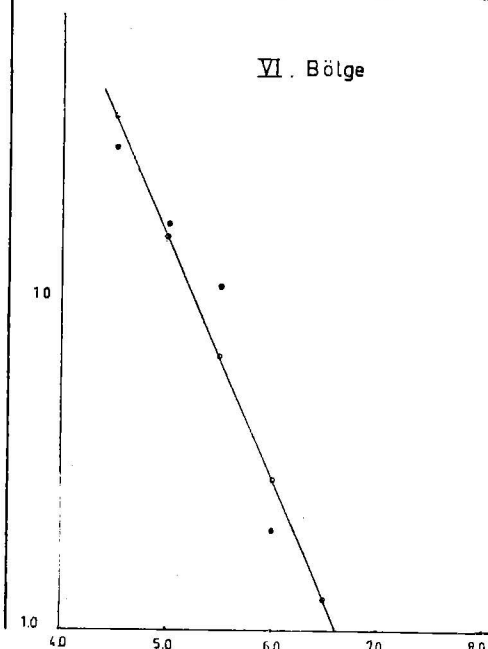
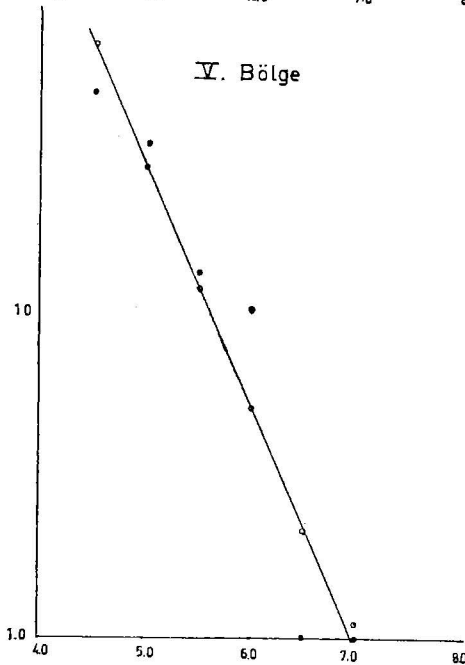
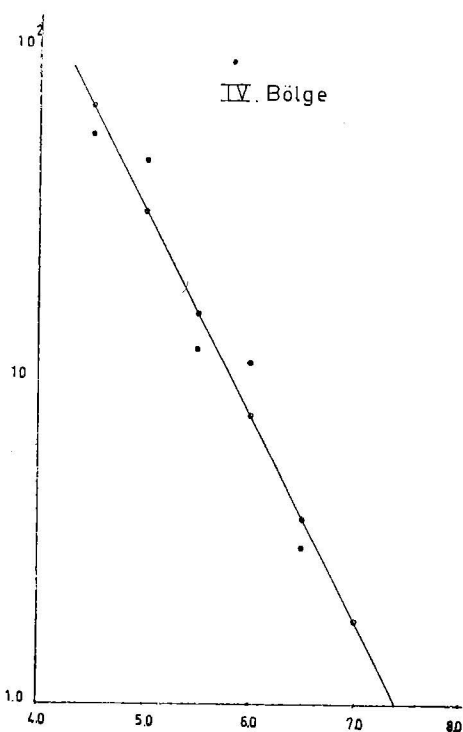
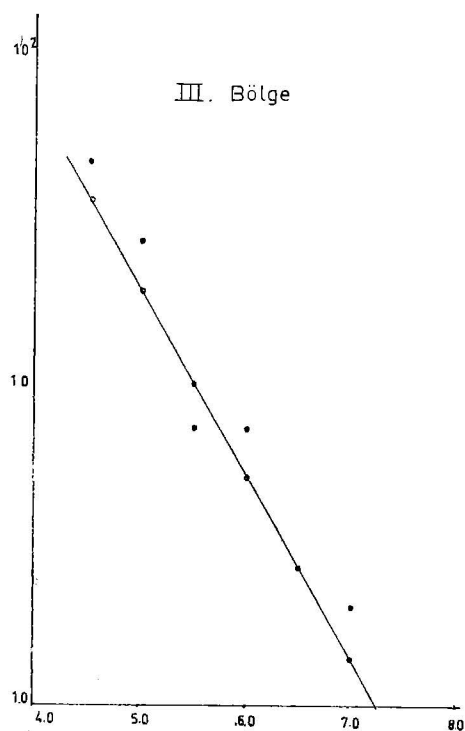


II. Bölge

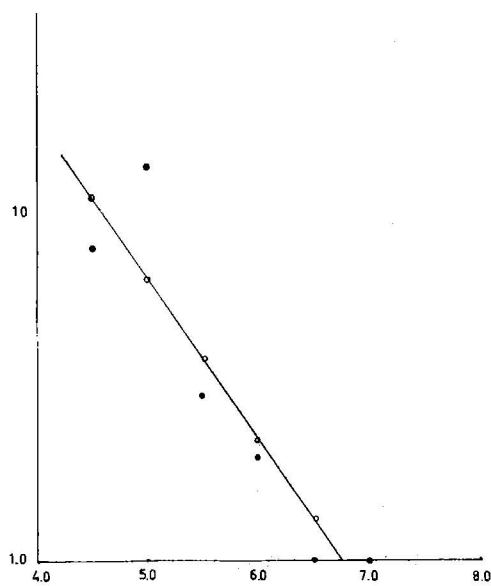


Şekil:4. Mognitüd Frekans bağıntıları

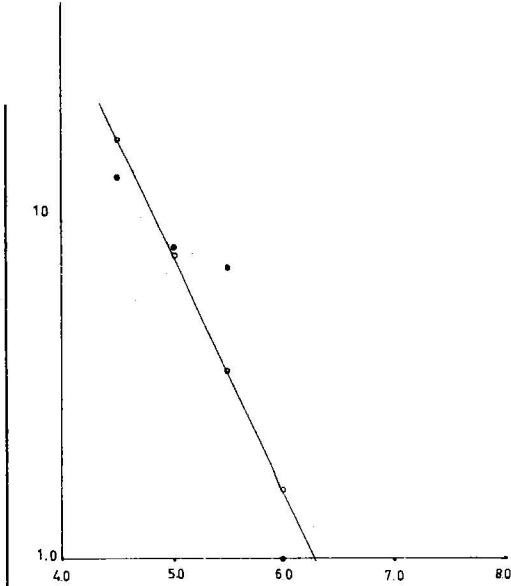
( içi boş daireler, kümülatif frekans bağıntısına tekabül etmektedir,  
inceleme aralığı 1900-1970 )



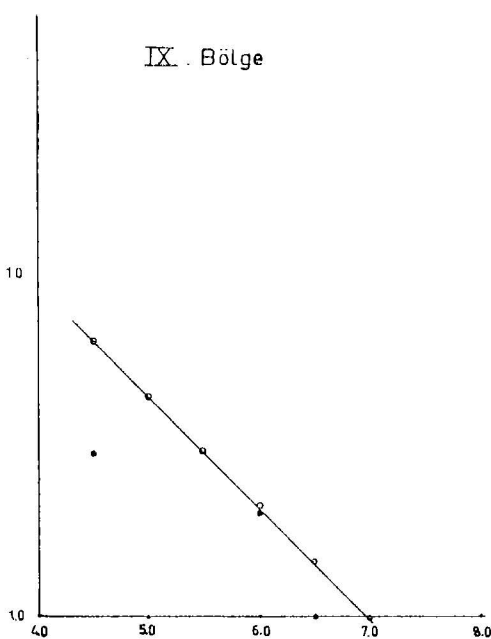
VII. Bölgé



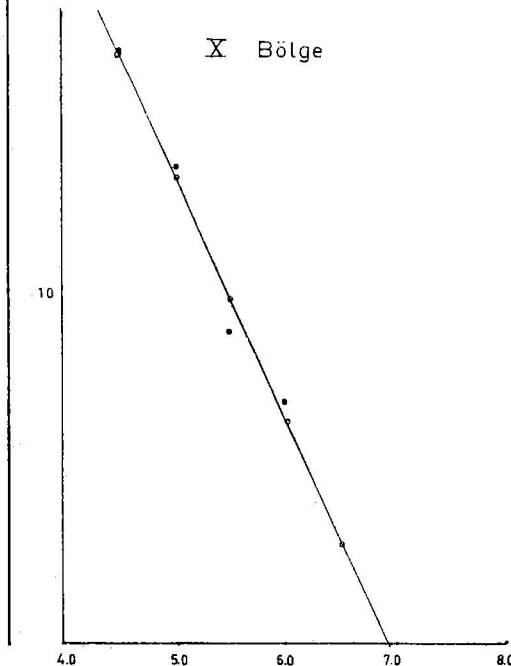
VIII. Bölgé



IX. Bölgé



X. Bölgé



**MAGNİTÜD - MAKŞİMUM İVME - ENERJİ VE DEPREM BÖLGE  
KATSAYISI ARASINDAKİ İLİŞKİLER**

Mag.	E x10 <sup>20</sup> erg	E' x10 <sup>20</sup> erg	V <sub>o</sub> gal	C <sub>o</sub>
4.3	0.0040	0.0075	7.653	0.008
4.4	0.0058	0.0109	8.736	0.009
4.5	0.0086	0.0158	9.961	0.010
4.6	0.0126	0.0229	11.34	0.011
4.7	0.0184	0.0331	12.9	0.013
4.8	0.0268	0.0478	14.66	0.015
4.9	0.0388	0.0691	16.63	0.017
5.0	0.0562	0.1	16.79	0.017
5.1	0.0812	0.1446	21.32	0.022
5.2	0.1143	0.209	24.1	0.024
5.3	0.168	0.302	27.2	0.028
5.4	0.2407	0.4366	30.67	0.031
5.5	0.344	0.631	34.54	0.035
5.6	0.4905	0.9121	38.84	0.039
5.7	0.6975	1.319	43.63	0.044
5.8	0.9897	1.906	48.96	0.050
5.9	1.401	2.754	54.85	0.056
6.0	1.977	3.381	61.38	0.062
6.1	2.784	5.755	68.61	0.070
6.2	3.911	8.318	76.6	0.078
6.3	5.48	12.02	85.39	0.087
6.4	7.66	17.38	95.08	0.097
6.5	10.68	25.12	105.8	0.108
6.6	14.85	36.31	117.5	0.120
6.7	20.61	52.48	130.3	0.133
6.8	28.52	75.86	144.4	0.147
6.9	39.37	109.7	159.8	0.163
7.0	54.20	158.5	176.6	0.180
7.1	74.46	229.1	195.0	0.199
7.2	102.0	331.2	215.0	0.219
7.3	139.5	478.7	236.7	0.241
7.4	190.1	691.9	260.3	0.265
7.5	258.5	1000.0	286.0	0.291
7.6	350.8	1445.0	313.7	0.320
7.7	474.7	2089.0	343.7	0.350
7.8	640.8	3020.0	376.2	0.383
7.9	862.8	4366.0	411.2	0.419
8.0	1159.0	6310.0	448.8	0.457

Burada aşağıdaki bağıntılar kullanılmıştır :

$$\log E = 9.4 + 2.14 M - 0.054 M^2$$

$$\log E' = 11.0 + 1.6 M$$

$$\log V_o = -2.1 + 0.81 M - 0.027 M^2$$

$$C_o = V_o/g$$

## KAYNAKLAR

1. Prof. Dr. W. Hiller (Fahrettin Arda)  
Jeofiziğe Giriş ve Sismoloji, İ.T.Ü. Yayınu, No. 2, 1957
2. A. Zatopek  
«Seismicity and Related Problems», IISEE Lecture Notes 6, 1969, Tokyo
3. Manual of Seismological Observatory Practice, International Seismological Centre Edinburgh, Scotland, 1970
4. K. Kanai  
A Short Note on Seismic Intensity and Seismic Intensity Scale, Bull. of ERI, Vol. 45 (1967), p: 339  
«An Empirical Formula for the Spectrum of Strong Earthquake Motions» Bull. of ERI, Vol. 39 (1961), p: 85
5. M. İpek  
«Sismoloji ve Deprem Mühendisliğine Giriş» İ.T.Ü. Ders notları, 1971
6. General Seismology, Lecture note of IISEE, 1971, Tokyo
7. Housner  
«Intensity of Earthquake Ground Shaking near the Causative Fault»  
-2. WCEE, Vol.1, III, 94
8. Bruce, A. Bolt  
«Duration of Strong Ground Motion», 5. WCEE, Vol. III, 292
9. E. Gubin  
«Lecture notes on Basic Problems in Seismotectonics» IJSEE Lecture notes 3, Tokyo
10. Daniel Linehan  
«Geological and Seismological Factors influencing the assessment of a Seismic threat to Nuclear Reactors». (Seismic Design for Nuclear Power Plants, MIT. Press)
11. Richter  
«Elementary Seismology» Freeman, 1958
12. Richter — Gutenberg  
«Earthquake Magnitude, Intensity, Energy and Acceleration. Second Paper. Bull. of S.S. of America, Vol 46 (1956), p: 105
13. S. Miyamura  
«Seismicity», Lecture notes of IISEE, 1971, Tokyo
14. K. Aki  
«Some Problems in Statistical Seismology» Lecture notes of IISEE, 1971 Tokyo
15. Heiland  
«Geophysical Prospecting» Hafner Publ. 1968
16. Karnik  
«Seismicity of the European Area, I-II» Reidal Publ. 1971
17. Gutenberg — Richter  
«Seismicity of the Earth and associated phenomena» Hafner Publ. 1965

18. J.P. Rothe  
«The Seismicity of the Earth 1953-1965» Unesco Yayıni
19. R.L. Wiegel  
Earthquake Engineering, Prentice-Hall Publ.
20. L. Estava  
«Seismic Risk and Seismic Design Decision» Seismic Design For Nüklear Power Plants, MIT Press, p: 142
21. Prof. Dr. N. Pınar Erdem  
«Jeoloji ve Mühendislik Jeolojisi Ders Notları» İDMM Akademisi, Jeoloji Kürsüsü yayını, 1971 İstanbul
22. Prof. Dr. S. Omote (S. Aynaycan)  
«Sismoloji» İ.T.Ü. Yayıni No: 15 1962 İstanbul
23. Prof. K. E. Bullen (G. Ergin)  
«Teorik Sismolojiye Giriş» İ.T.Ü. Sismoloji Enst. Yayıni No. 12, 1960. İst.
24. Prof. P. Byerly (K. Ergin)  
«Sismoloji» İ.T.Ü. Sismoloji Enst. Yayıni No. 1, 1955, İstanbul
25. Prof. Dr. İ. Kettin  
«Umumi Jeoloji» İ.T.Ü. Maden Fak. Yayıni, 1957, İstanbul
26. Prof. Dr. İ.E. Altınlı  
«Mühendislik Jeolojisi Ders Notları »İ.U. Tatbiki Jeoloji Kürsüsü, 1971
27. S. Omote ve M. Çöloğlu  
«Seismic Activity in Marmara Region, Turkey»  
Bull. of IISSE, Vol. 5 (1968), pp: 17-30
28. Lahn E.  
«Seismological Investigation in Turkey»  
B.S.S.A., 39 (1949), pp: 67-71
29. Pınar, N. ve Lahn, E.  
«Türkiye Depremleri İzahlı Katalogu»  
Ankara, 1952
30. Pınar, N.  
«Liste des seismes survenus en Turquie, dupuis de debut de l'annee 1952»  
IUGG New-letter, No. (1956), p: 416
31. Pınar, N.  
«La carte seismotectonique de la Turquie»  
presented at the Alicante Meeting CSE (1959)
32. Omote S. ve M. İpek  
The seismicity in Turkey»  
İstanbul Technical University, 1959
33. Öcal, N.  
«The seismicity of Turkey»  
read net the Meeting of CSE., Jena, 1962
34. Öcal, N.  
«Die seismizitat der Turkei»  
Pure and Applied Geophysics, Vol. 57 (1964), pp: 103-116
35. Bath, M.  
«Seismicity of Europe»  
A progress report, IUGG Monographic No. 1 (1960)
36. Karnik, V.  
«Seismicity of Europe III ve IV»  
IUGG Monographie No. 23 (1963) ve No. 29 (1965)

37. Karnik, V.  
«Magnitude - frequency relation and seismic activity in different region of the European area»  
Bull. of ISEE, Vol. 1 (1964), pp: 9-32
38. İpek, M., Zeki Uz ve Uğur Güçlü  
«Sismolojik doneclere göre Türkiye'de deprem bölgeleri» Ankara, 1965
39. Ergin, K.  
«A catalog of earthquakes for Turkey and surrounding area»  
İstanbul Technical University, 1967
40. Öcal, N.  
«Catalogues of earthquakes in Turkey»
41. Tabban, A.  
«Seismicity of Turkey»  
Individual Studies by participants at the ISEE. Vol. 6 (1970) pp: 59-71
42. Alsan, E.  
«Magnitude and Time distributions of earthquake in Turkey» Individual studies by participants at the ISEE, Vol. 7 (1972) pp: 1-10
43. Welkner, M.  
«Statistical analysis of earthquake occurrence in Japan, 1926-1956» Bull. of ISEE. Vol. 2 (1965), pp: 1-27
44. Mogi, K.  
«Experimental studies on the occurrence of earthquakes»  
Bull. of ERI. Vol. 40, Parts 1 ve 4, Vol. 41, Part 3, 1962
45. Miyamura, S.  
«Seismicity and Geotectonics»  
Zishin, Series 2, Vol. 15, No. 1, 1962
46. Aki, K.  
«Maximum likelihood estimate of b value in the formulae  $\log N = a - b M$  and its confidence limits»  
Bull. of ERI. Vol. 43 (1965)
47. Utsu, T.  
«A statistical study of the occurrence of aftershocks»  
Geophysical Magazine, J.M.A. Vol. 30, No. 4, 1961
48. Balkan Region. Catalogue of Earthquakes up to 1970.
49. Atlas — Kaatlog, CCCB (1911-1957 Moscow

